

# INTRODUZIONE

La motivazione del presente lavoro di tesi deriva da un esperimento di fisica fondamentale, finanziato dall'INFN, volto a caratterizzare lo stato fisico del vuoto. L'esperimento, denominato PVLAS, attualmente in costruzione presso i Laboratori Nazionali di Legnaro (Padova) si propone di misurare direttamente la birifrangenza magnetica del vuoto prevista dalla teoria dell'Elettrodinamica Quantistica facendo passare un fascio laser linearmente polarizzato attraverso una regione di forte campo magnetico. L'effetto viene rivelato come una piccola ellitticità della luce. L'esperimento permetterebbe inoltre di evidenziare l'esistenza di una particella neutra bosonica leggera che si accoppia a due fotoni (assione), la cui esistenza è stata postulata nell'ambito della Cromodinamica Quantistica e che è stata invocata anche per spiegare la cosiddetta "massa mancante" dell'universo. L'interazione dei fotoni con l'assione potrebbe dar luogo ad un'ellitticità che si aggiungerebbe a quella prevista dalla QED, oltreché ad una rotazione del piano di polarizzazione. La diffusione fotone-fotone, di cui la birifrangenza magnetica è una delle conseguenze, è stata studiata anche attraverso lo scattering Delbruck e la misura del  $g_{\mu-2}$ . In questi esperimenti però l'interazione fotone-fotone viene rivelata solo come una piccola correzione alla quantità misurata e la ricerca principalmente su sorgenti extraterrestri. L'esperimento PVLAS rappresenta invece il tentativo di studiare direttamente gli effetti dell'interazione fotone-fotone attraverso la diffusione di un fascio laser sui fotoni virtuali di un campo magnetico; anche l'assione verrebbe creato all'interno della zona di campo magnetico.

Un elemento centrale dell'apparato di misura è costituito dalla cavità ottica che permette di allungare il cammino ottico della luce ed aumentare così l'effetto sulla polarizzazione. Per assolvere a questo compito i precedenti esperimenti di questo tipo utilizzavano cavità ottiche a molti passaggi. In PVLAS si è scelto di usare una cavità Fabry-Perot. Con essa si ritiene di potere ottenere, rispetto alle cavità a molti passaggi, cammini ottici più lunghi di almeno un'ordine di grandezza, allo stesso tempo minimizzando i problemi legati agli effetti spuri sulla polarizzazione. Questi sono dovuti alla birifrangenza degli strati riflettenti degli specchi dielettrici e alla rotazione del piano di polarizzazione legata alla geometria dei percorsi non planari del fascio. Per poter utilizzare una cavità Fabry-Perot occorre che la frequenza della luce del laser coincida con u

na frequenza di risonanza della cavità. Ciò si ottiene con un opportuno sistema di retroazione che stabilizza la frequenza del laser rispetto a quella cavità.

Con il presente lavoro di tesi è stata realizzata e caratterizzata una cavità Fabry-Perot di finezze  $\approx 2000$ . Si è poi studiato e realizzato un sistema di retroazione in grado di stabilizzare la frequenza del laser entro una densità spettrale di rumore di pochi milliHertz/(Hertz)<sup>1/2</sup>. La cavità così agganciata è stata poi utilizzata per effettuare una misura dell'effetto Faraday in aria, a dimostrazione della possibilità di effettuare con essa misure ellissometriche. Il lavoro svolto è servito a comprendere i principi e gettare le basi per lo sviluppo dell'ellissometro dell'esperimento PVLAS.

Nel primo capitolo della tesi sono sintetizzate le motivazioni fisiche dell'esperimento PVLAS, è presentato il principio della tecnica ellissometrica, con la descrizione dei parametri di merito, e si dà poi una breve descrizione dell'esperimento PVLAS.

Nel secondo capitolo si descrive in modo sommario la strumentazione utilizzata, dando spazio soprattutto ad alcuni elementi ottici le cui caratteristiche risultano cruciali nell'assetto dell'esperimento finale. Tali sono ad esempio il laser, per il basso rumore e l'accordabilità, i polarizzatori, il sistema di rivelazione della radiazione, gli specchi interferenziali. Per il resto ci si è soffermati solo sugli aspetti che sono rilevanti per la comprensione del seguito: la teoria dell'interferometro Fabry-Perot, l'adattamento del fascio laser alla cavità.

Nel terzo capitolo si presentano le misure delle caratteristiche ottiche dell'interferometro Fabry-Perot. Si discute poi il principio della stabilizzazione in frequenza del laser, e si presentano i risultati di uno studio di ottimizzazione del circuito di retroazione.

Chiude il capitolo la misura della densità spettrale del rumore del laser agganciato.

Il quarto capitolo è dedicato alle misure di ellissometria vere e proprie. Il fascio è caratterizzato attraverso le misure di rumore e di polarizzazione. Si presenta infine la misura di un effetto fisico indotto in cavità sulla polarizzazione del fascio.

Il presente lavoro di tesi è stato svolto presso i Laboratori INFN dell'Area di Ricerca di Trieste.

# Capitolo 1

## Birifrangenza del vuoto ed esperimento PVLAS

### 1.1 CORREZIONI NON LINEARI ALLE EQUAZIONI DI MAXWELL

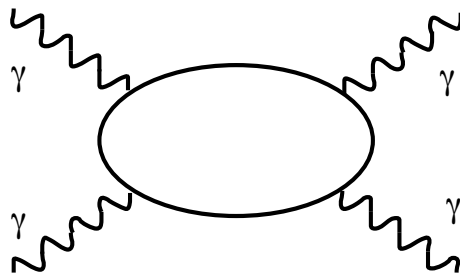


Figura 1.1.1: Diagramma di Feynman all'ordine più basso dell'interazione fotone-fotone

Classicamente il campo elettromagnetico si può descrivere per mezzo delle equazioni di Maxwell, che sono lineari nei campi  $\mathbf{E}$ ,  $\mathbf{H}$ ,  $\mathbf{D}$  e  $\mathbf{B}$ . Nel vuoto sono lineari anche le relazioni che legano  $\mathbf{E}$  e  $\mathbf{B}$  a  $\mathbf{D}$  e  $\mathbf{H}$ . Nell'elettrodinamica classica non sono previste interazioni tra campi elettromagnetici nel vuoto: in particolare, la presenza di un campo magnetico esterno non ha alcun effetto sulla propagazione di un'onda elettromagnetica. Nell'ambito dell'Elettrodinamica Quantistica (QED) è invece prevista l'esistenza di interazioni tra fotoni mediate da coppie di particelle virtuali cariche (Euler 1936). Il grafico di Feynman di figura 1.1.1 è il più semplice che dia luogo ad un elemento di matrice non nullo. Si noti che un grafico con soli tre fotoni esterni ha elemento di matrice nullo per il teorema di Furry (Furry 1937).

Nel caso particolare di un fotone che si propaghi in un campo magnetico esterno il grafico assume la forma di figura 1.1.2. Trascurando i diagrammi di ordine superiore, utilizzando unità Gaussiane non razionalizzate, detta  $m_e$  la massa a riposo dell'elettrone,  $\hbar$  la costante ridotta di Planck e  $c$  la velocità della luce nel vuoto e facendo inoltre le ipotesi (Euler 1936):

**I.** I campi siano lentamente variabili:

$$\begin{aligned} \frac{\hbar}{m_e c} |\nabla \mathbf{E}| \ll E, & \quad \frac{\hbar}{m_e c} |\nabla \mathbf{B}| \ll B \\ \frac{\hbar}{m_e c^2} \left| \frac{\partial \mathbf{E}}{\partial t} \right| \ll E, & \quad \frac{\hbar}{m_e c^2} \left| \frac{\partial \mathbf{B}}{\partial t} \right| \ll B \end{aligned} \quad (1.1.1)$$

**II.** I campi non superino il valore critico:

$$B \ll B_{\text{crit}} \approx 4.5 \cdot 10^{13} \text{ Gauss} \quad (1.1.2)$$

**III.** Le coppie virtuali scambiate siano esclusivamente elettroni-positroni,

è possibile scrivere una lagrangiana efficace  $L_{\text{eff}}$  per i campi macroscopici (Euler 1936)

$$L_{\text{eff}} = \frac{1}{8\pi} (\mathbf{E}^2 - \mathbf{B}^2) + \frac{2\alpha^2}{45} \frac{1}{(4\pi)^2} \frac{(\hbar/m_e c)^3}{m_e c^2} \left[ (\mathbf{E}^2 - \mathbf{B}^2)^2 + 7(\mathbf{E} \cdot \mathbf{B})^2 \right] \quad (1.1.3)$$

dove  $\alpha$  è la costante di struttura fine e  $m_e$  la massa dell'elettrone. Il primo termine corrisponde alla Lagrangiana classica.

Se, invece di coppie elettrone-positrone, si fossero considerate altre coppie cariche leptone-antileptone, il termine correttivo alla Lagrangiana libera sarebbe risultato proporzionale a  $1/m_{\text{lep}}^4$ . Pertanto le correzioni di questo tipo dovute a coppie  $\mu^+ \mu^-$  e  $\tau^+ \tau^-$  sono trascurabili a fronte del contributo dovuto ad  $e^+ e^-$ .

Le equazioni costitutive sono:

$$\mathbf{D} = 4\pi \frac{\partial L_{\text{eff}}}{\partial \mathbf{E}} \quad \mathbf{H} = -4\pi \frac{\partial L_{\text{eff}}}{\partial \mathbf{B}} \quad (1.1.4)$$

dalle quali si ricava:

$$\mathbf{D} = \mathbf{E} + A_e \left[ 4(\mathbf{E}^2 - B^2) \mathbf{E} + 14(\mathbf{E} \cdot \mathbf{B}) \mathbf{B} \right] \quad (1.1.5)$$

$$\mathbf{H} = \mathbf{B} + A_e \left[ 4(\mathbf{E}^2 - B^2) \mathbf{B} - 14(\mathbf{E} \cdot \mathbf{B}) \mathbf{E} \right]$$

con

$$A_e = \frac{\alpha^2 (\hbar / m_e c)^3}{90\pi m_e c^2} \approx 1.38 \cdot 10^{-32} \text{ cm}^3/\text{erg}$$

Sostituendo nelle (1.1.5)  $\mathbf{E}$  con  $\mathbf{E}^{\text{onda}}$  e  $\mathbf{B}$  con  $\mathbf{B}^{\text{onda}} + \mathbf{B}^{\text{esterno}}$ , con  $\mathbf{B}^{\text{onda}} \ll \mathbf{B}^{\text{esterno}}$ , e conservando solo i termini lineari in  $\mathbf{E}^{\text{onda}}$  e  $\mathbf{B}^{\text{onda}}$ , si possono definire una costante dielettrica ed una permeabilità magnetica per il mezzo costituito dal campo magnetico esterno:

$$D_i^{\text{onda}} = \varepsilon_{ij} E_j^{\text{onda}} \quad H_i = \mu_{ij}^{-1} B_j^{\text{onda}}$$

$$\varepsilon_{ij} = \delta_{ij} \left( 1 - 4 A_e B^{\text{est}2} \right) + 14 A_e B^{\text{est}2} b_i b_j$$

$$\mu_{ij}^{-1} = \delta_{ij} \left( 1 - 4 A_e B^{\text{est}2} \right) - 8 A_e B^{\text{est}2} b_i b_j$$

ove  $\hat{\mathbf{b}} = (b_1, b_2, b_3)$  è la direzione del campo esterno.

Per un'onda piana linearmente polarizzata descritta da:

$$\begin{aligned} \mathbf{E}^{\text{onda}} &= \mathbf{e}^{\text{onda}} e^{i(\mathbf{k} \cdot \mathbf{r} - \omega t)} \\ \mathbf{H}^{\text{onda}} &= \mathbf{h}^{\text{onda}} e^{i(\mathbf{k} \cdot \mathbf{r} - \omega t)} \end{aligned} \quad (1.1.6)$$

che si propaghi con direzione ortogonale alla direzione del campo magnetico esterno si trovano i due modi di propagazione (Adler 1971), corrispondenti alle due direzioni di polarizzazione parallela ed ortogonale a  $\mathbf{B}^{\text{est}}$ :

modo II: onda linearmente polarizzata con vettore  $\mathbf{B}^{\text{onda}}$  parallelo a  $\mathbf{B}^{\text{est}}$ :

$$\varepsilon_{\parallel} = 1 - 4 A_e B^{\text{est}2}$$

$$\mu_{\parallel} = \left( 1 - 12 A_e B^{\text{est}2} \right)^{-1} \approx 1 + 12 A_e B^{\text{est}2} \quad (1.1.7)$$

$$n_{\parallel} = \sqrt{\varepsilon_{\parallel} \mu_{\parallel}} \approx 1 + 4 A_e B^{\text{est}2}$$

modo  $\perp$ : onda linearmente polarizzata con vettore  $\mathbf{B}^{\text{onda}}$  ortogonale a  $\mathbf{B}^{\text{est}}$ :

$$\varepsilon_{\perp} = 1 + 10 A_e B^{\text{est}2}$$

$$\mu_{\perp} = \left( 1 - 4 A_e B^{\text{est}2} \right)^{-1} \approx 1 + 4 A_e B^{\text{est}2} \quad (1.1.8)$$

$$n_{\perp} = \sqrt{\varepsilon_{\perp} \mu_{\perp}} \approx 1 + 7 A_e B^{\text{est}2}$$

da cui si ottiene

$$\Delta n_{\text{QED}} = n_{\perp} - n_{\parallel} = 3 A_e B^{\text{est}2} \approx 4 \cdot 10^{-32} B^{\text{est}2} \quad (1.1.9)$$

dove  $B^{\text{est}}$  è espresso in gauss. Il vuoto in presenza di un campo magnetico esterno è dunque un mezzo birifrangente: le due componenti di polarizzazione lineare di un fascio di luce che attraversa una regione di lunghezza  $L$  in direzione ortogonale alla direzione del campo magnetico acquisiscono un piccolo sfasamento  $\Delta\varphi$

$$\Delta\varphi = 2\pi \frac{L}{\lambda} (n_{\parallel} - n_{\perp}) \quad (1.1.10)$$

dove  $\lambda$  è la lunghezza d'onda della luce. Sia  $\theta$  l'angolo che la direzione del campo elettrico del fascio linearmente polarizzato forma con la direzione del campo magnetico. All'uscita della regione di campo la polarizzazione ha acquisito un'ellitticità  $\psi$  data da

$$\psi = \frac{\Delta\varphi}{2} \text{sen } 2\theta \quad (1.1.11)$$

Per  $\theta = 45^\circ$ ,  $\lambda = 1064 \text{ nm}$ ,  $L = 1 \text{ m}$  e  $B^{\text{est}} = 10^5 \text{ gauss}$  si ottiene un valore di ellitticità

$$\psi = \pi \frac{L}{\lambda} \Delta n_{\text{QED}} \approx 1.3 \cdot 10^{-31} \frac{L}{\lambda} B^{\text{est}2} = 1.2 \cdot 10^{-15} \text{ rad} \quad (1.1.12)$$

La misura della birifrangenza magnetica del vuoto costituisce un passo fondamentale per la verifica della teoria dell'elettrodinamica quantistica sino ad oggi sviluppata.

Per quanto riguarda l'effetto dovuto a loop di bosoni virtuali carichi puntiformi di massa  $m_{\text{bos}}$  sulla propagazione di fotoni in un campo magnetico, vale la lagrangiana efficace (Schwinger 1951)

$$L_{\text{bos}} = \frac{1}{8\pi} (\mathbf{E}^2 - \mathbf{B}^2) + \frac{2\alpha^2 (\hbar/m_{\text{bos}}c)^3}{90(4\pi)^2 m_{\text{bos}}c^2} \left[ 7(\mathbf{E}^2 - \mathbf{B}^2)^2 + 4(\mathbf{E} \cdot \mathbf{B})^2 \right]$$

Con procedimento analogo a quello utilizzato per i leptoni si trova:

$$\varepsilon_{ij} = \delta_{ij} \left( 1 - 28 A_{\text{bos}} B^{\text{est}2} \right) + 8 A_{\text{bos}} B^{\text{est}2} b_i b_j$$

$$\mu_{ij}^{-1} = \delta_{ij} \left( 1 - 28 A_{\text{bos}} B^{\text{est}2} \right) + 56 A_{\text{bos}} B^{\text{est}2} b_i b_j$$

$$A_{\text{bos}} = \frac{\alpha^2}{90\pi} \frac{(\hbar/m_{\text{bos}}c)^3}{m_{\text{bos}}c^2}$$

e pertanto nel caso di un'onda elettromagnetica piana che incida ortogonalmente al campo magnetico esterno gli indici di rifrazione sono:

$$n_{\parallel} = 1 + 28 A_{\text{bos}} B^{\text{est}2}$$

$$n_{\perp} = 1 + 4 A_{\text{bos}} B^{\text{est}2}$$

Si nota subito una differenza qualitativa rispetto al caso precedente: ora la componente e maggiormente ritardata è quella con il vettore magnetico parallelo al campo esterno

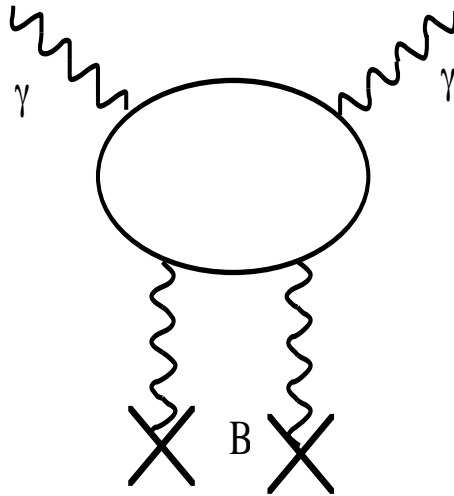


Figura 1.1.2: Diagramma di Feynman all'ordine più basso dell'interazione fotone-campo magnetico.

## 1.2 rivelazione di piccole Ellitticità

### 1.2.1 Tecnica eterodina

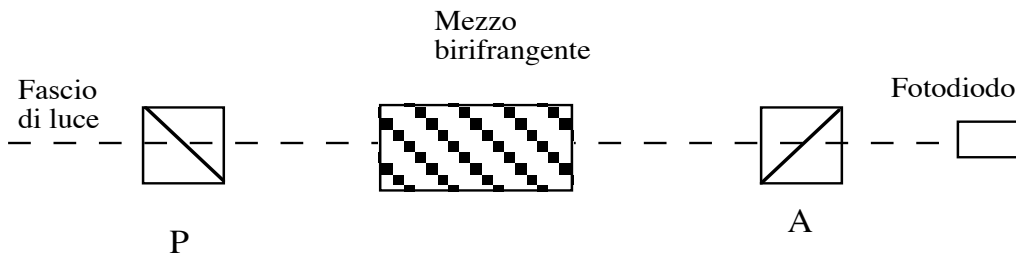


Figura 1.2.1: Schema ottico di principio per la misura di una birifrangenza.

Per misurare l'effetto della birifrangenza magnetica del vuoto occorre misurare una piccola ellitticità. Ciò viene fatto con tecniche di polarimetria. Si utilizza cioè una coppia di polarizzatori incrociati. Seguendo lo schema di principio di figura 1.2.1 indichiamo con P ed A (Analizzatore) i due polarizzatori incrociati. Detta  $I_0$  l'intensità della luce che incide sull'analizzatore, l'intensità  $I$  rivelata dal fotodiodo posto dopo l'analizzatore è

$$I = I_0 \left( \sigma^2 + \psi^2 \right) \quad (1.2.1)$$

dove  $\psi$  è l'ellitticità dovuta al mezzo birfrangente e  $\sigma^2$  è l'estinzione, cioè la luce residua che attraversa i polarizzatori incrociati in assenza della birifrangenza (paragrafo 2.2). Nel caso della birifrangenza del vuoto  $\psi$  è molto piccola e  $\psi^2$  è trascurabile rispetto a  $\sigma^2$ , che per i migliori polarizzatori in commercio ha valori  $\approx 10^{-8}$ . Utilizzando la tecnica eterodina è possibile fare in modo che nel fascio in uscita dall'analizzatore l'ellitticità  $\psi$  che si vuole misurare sia presente non solo come termine quadratico ma anche come termine lineare. In tale tecnica si utilizza un elemento ottico che introduce nella polarizzazione del fascio un'ellitticità nota  $\phi$  (figura 1.2.2). Modulando tale ellitticità nel tempo a frequenza  $f_m$  in modo tale da avere  $\phi(t) = \phi_0 \cos \omega_m t$ , il segnale raccolto dal fotodiodo è:

$$I = I_0 \left\{ \sigma^2 + [\psi + \phi(t)]^2 \right\} \approx I_0 \left[ \sigma^2 + \phi^2 + 2 \phi(t) \psi \right] \quad (1.2.2)$$

Dalla componente di  $I$  a frequenza  $f_m$  si ricava quindi il valore  $\psi$  nota che sia  $\phi_0$ .

La (1.2.2) è scritta nell'ipotesi che tutta l'ellitticità presente nella polarizzazione del fascio sia dovuta all'effetto in studio. In pratica esistono sempre altre fonti di ellitticità spuria. Indicando con  $\eta$  l'ellitticità spuria la (1.2.2) diventa

$$I \approx I_0 \left[ \sigma^2 + \phi^2 + \eta^2 + 2 \phi(t) (\psi + \eta) \right] \quad (1.2.3)$$

Considerando che  $\eta$  è normalmente diversi ordini di grandezza più grande di  $\psi$ , se ne deduce che per misurare ellitticità estremamente piccole è necessario modularle. Infatti, per  $\psi(t) = \psi_0 \cos \omega_m t$ ,

$$I = I_0 \left\{ \sigma^2 + [\eta + \psi(t) + \phi(t)]^2 \right\} \quad (1.2.4)$$

Nella tabella 1.2.1 sono riportate le componenti in frequenza dell'intensità (1.2.4). L'ampiezza  $\psi_0$  può essere ricavata dal rapporto tra la somma delle componenti  $I_+$  e  $I_-$  e la componente  $I_{2m}$ :

$$\frac{I_+ + I_-}{I_{2m}} = \frac{4 I_0 \psi_0 \phi_0}{I_0 \phi_0^2} = \frac{4 \psi_0}{\phi_0} \quad (1.2.5)$$

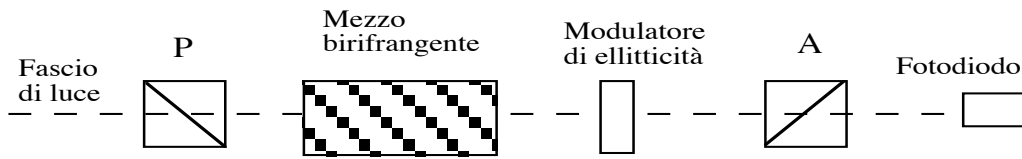


Figura 1.2.2: Schema ottico di principio per la misura di una birifrangenza con la tecnica eterodina.

Frequenza	Componente di Fourier	Ampiezza
0	$I_{DC}$	$I_0(\sigma^2 + \eta^2 + \phi_0^2/2 + \psi_0^2/2)$
$f_M$	$I_M$	$I_0 2 \eta \psi_0$
$2f_M$	$I_{2M}$	$I_0 \psi_0^2/2$
$f_m - f_M$	$I_-$	$I_0 \psi_0 \phi_0$
$f_m$	$I_m$	$I_0 2 \phi_0 \eta$
$f_m + f_M$	$I_+$	$I_0 \psi_0 \phi_0$
$2f_m$	$I_{2m}$	$I_0 \phi_0^2/2$

Tabella 1.2.1: Frequenze e ampiezze delle componenti di Fourier dell'intensità. Si è assunto che sia  $f_m > f_M$ .

### 1.2.2 Rumore del laser e sensibilità dell'apparato di rivelazione

Si vuole ora calcolare, fissata la banda di frequenza della misura  $\Delta f$ , quale sia il più piccolo valore misurabile di ellitticità  $\psi_{min}$ . Esso si ricava ponendo il rapporto segnale-rumore uguale all'unità

$$\frac{i_{min}}{i_{noise}} = 1 \quad (1.2.6)$$

dove  $i_{min}$  è l'ampiezza della componente di Fourier del segnale di corrente del fotodiodo ad una delle frequenze  $f_{\pm} = f_m \pm f_M$  e  $i_{noise}$  è l'ampiezza rms del rumore alla stessa frequenza. Dalla tabella 1.2.1

$$i_{min} = I_0 \phi_0 \psi_{min} q$$

dove  $q$  è l'efficienza quantica del sistema di rivelazione, misurata in Ampere/Watt.

Il rumore in ampiezza del laser ha, per basse frequenze, un andamento decrescente del tipo  $1/f$  (Cantatore 1985-86). Ad alte frequenze domina invece la componente di ru-

more statistico shot  $i_{\text{shot}}$ , che ha distribuzione piatta su tutte le frequenze. Il valore di  $i_{\text{shot}}$  è legato alla componente continua  $i_{\text{DC}}$  della corrente generata dal fotorelevatore ( Yariv 1991):

$$i_{\text{shot}} = \sqrt{2 e i_{\text{DC}} \Delta f} \quad (1.2.7)$$

dove  $e$  è la carica dell'elettrone e  $\Delta f$  la larghezza della banda di misura. Per ottenere la migliore sensibilità la frequenza di modulazione  $f_m$  deve essere alta abbastanza da far sì che il rumore dominante sia quello shot. Dalla tabella 1.2.1 si ha, per  $\phi_0^2 \gg \sigma^2$ ,  $\eta^2$  e  $\psi_0^2$ ,

$$i_{\text{DC}} \approx I_0 \frac{\phi_0^2}{2} q \quad (1.2.8)$$

Nel caso in cui il rumore sia dominato dal rumore shot si ha allora

$$1 = \frac{i_{\text{min}}}{i_{\text{shot}}} = \frac{I_0 \phi_0 \psi_{\text{min}} q}{\sqrt{e I_0 \phi_0^2 q \Delta f}} = \psi_{\text{min}} \sqrt{\frac{I_0 q}{e \Delta f}} \quad (1.2.9)$$

Si usa definire la sensibilità  $S_{\text{shot}}$  dell'apparato come

$$S_{\text{shot}} \equiv \frac{\psi_{\text{min}}}{\sqrt{\Delta f}} = \sqrt{\frac{e}{I_0 q}} \quad (1.2.10)$$

La sensibilità è espressa in radianti·(Hertz)<sup>-1/2</sup>, ed è una costante caratteristica dell'apparato di misura. Come si vede, all'aumentare del tempo di misura  $T$ , il valore di  $\psi_{\text{min}}$  diminuisce lentamente come  $1/\sqrt{T}$ . Fissato cioè il valore della sensibilità, per migliorare  $\psi_{\text{min}}$  di un fattore dieci occorre moltiplicare per cento il tempo di integrazione. Si potrebbe pensare di migliorare la sensibilità dell'apparato di misura aumentando l'intensità del fascio. Ciò si traduce, d'altra parte, in un aumento del valore della frequenza oltre il quale il rumore è dominato dal rumore shot (Iacopini 1981), e dunque in un aumento del valore di  $f_m$ .

Nel caso in cui, invece, lo spettro del rumore sia dominato dal rumore  $1/f$ , il valore della sensibilità  $S$  si può ricavare dall'equazione

$$\frac{I_0 \phi_0 \psi_{\text{min}} q}{i_{\text{noise}}(f_m \pm f_M)} = 1 \quad (1.2.11)$$

da cui

$$S = \frac{i_{\text{noise}}(f_m \pm f_M)}{I_0 \phi_0 q \sqrt{\Delta f}} \quad (1.2.12)$$

È stato osservato (Cantatore 1985-86) che l'andamento del rumore nelle vicinanze di ciascun picco di segnale a frequenza  $f_0$  è del tipo  $1/|f-f_0|$ . Supponendo che il rumore  $1/f$  scali con l'altezza del picco

$$i_{\text{noise}}(f_m \pm f_M) = i_{\text{noise}}(f_M) \frac{i_m}{i_{\text{DC}}} = i_{\text{noise}}(f_M) \frac{4 \eta}{\phi_0} \quad (1.2.13)$$

e la (1.2.12) diventa

$$S = i_{\text{noise}}(f_M) \frac{4 \eta}{I_0 \phi_0^2 q \sqrt{\Delta f}} \quad (1.2.14)$$

Imponendo che il rumore dato dalla (1.2.13) sia più piccolo dello shot si ricava una condizione per  $\eta$ :

$$\eta < \frac{\phi_0^2}{4} \frac{\sqrt{e I_0 q \Delta f}}{i_{\text{noise}}(f_M)} \quad (1.2.15)$$

## 1.3 ESPERIMENTO PVLAS

### 1.3.1 Precedenti esperimenti

Seguendo una proposta formulata da Zavattini e Iacopini (Iacopini 1979) sono stati realizzati diversi esperimenti in cui, con tecniche di ellissometria, si è cercato di misurare direttamente la birifrangenza prevista dalla teoria della QED. Poichè l'ellitticità  $\psi$  è proporzionale al quadrato del campo magnetico, il suo segno non dipende dal verso di percorrenza del fascio di luce. Questo consente di allungare il cammino ottico del fascio mediante linee ottiche di ritardo e quindi di amplificare l'effetto (vedere appendice A).

Il più recente tentativo di effettuare una misura diretta della birifrangenza del vuoto è stato l'esperimento LAS (Cameron 1993). In esso due magneti superconduttori forniscono un campo magnetico di 4 Tesla su una lunghezza di 8.8 metri e la sorgente di luce era un laser ad argon ( $\lambda=514$  nm). Il campo magnetico veniva modulato impulsando la corrente dei magneti per dare una componente oscillante di ampiezza  $(B^{\text{est}})^2=7.1$  T<sup>2</sup> alla frequenza massima di circa 80 mHz. La linea ottica di ritardo era costituita da una cavità multipass che amplificava il cammino ottico di un fattore 34. Per questo ap

parato l'ellitticità acquisita dal fascio di luce all'uscita dalla regione di birifrangenza e  
ra (Cameron 1993)

$$\psi \approx 5 \cdot 10^{-14} \text{ rad}$$

La migliore sensibilità ottenuta con questo apparato è stata di  $7.6 \cdot 10^{-9} \text{ rad}/\sqrt{\text{Hz}}$ , che si è potuta mantenere per un tempo di integrazione totale  $T=3.1 \cdot 10^4 \text{ s}$ . Il livello di rumore rms misurato in tali condizioni è stato dunque  $4.3 \cdot 10^{-11} \text{ rad}$ , circa tre ordini di grandezza al di sopra del segnale da misurare. Si è quindi evidenziata la necessità di migliorare l'apparato sia per quanto riguarda la sensibilità che il livello del segnale da misurare. L'esperimento PVLAS è stato pensato per raggiungere entrambi gli scopi.

### 1.3.2 Esperimento PVLAS

Attualmente è in costruzione presso i laboratori dell'INFN di Legnaro (Padova) un nuovo apparato per la misura della birifrangenza magnetica del vuoto (figura 1.3.1). Il principio che sta alla base di questa nuova misura è identico a quello adottato nell'esperimento LAS. In questo nuovo esperimento, chiamato PVLAS (Polarizzazione del Vuoto e LASer), sono state introdotte due modifiche rispetto a LAS. Esse riguardano la modulazione del campo magnetico e la cavità ottica.

Da quanto si è detto nel paragrafo 1.2 è evidente il vantaggio che si otterrebbe modulando l'effetto a frequenza più alta. Essendo impossibile impulsare la corrente di un grosso magnete superconduttore a frequenze superiori a quelle usate in LAS, è stata studiata la possibilità di porre un magnete in rotazione attorno al suo asse in modo che il vettore  $\mathbf{B}^{\text{est}}$  ruoti nel piano di polarizzazione della luce. Gli studi e le prove effettuate hanno dimostrato la possibilità di ottenere frequenze di rotazione fino a 1 Hz. Poiché l'effetto della birifrangenza magnetica non dipende dal segno di  $\mathbf{B}^{\text{est}}$  (equazione (1.1.9)) il segnale dovuto all'ellitticità potrà avere frequenze fino a 2 Hz. Questa configurazione offre due vantaggi rispetto a quella adottata nell'esperimento LAS: l'ampiezza della modulazione di  $\mathbf{B}^{\text{est}}$  è pari all'intensità massima del campo e non ad una sua frazione; la frequenza a cui si misura l'effetto è circa 25 volte più grande e quindi, se il rumore ha andamento  $1/f$ , il rapporto segnale rumore potrebbe aumentare dello stesso fattore.

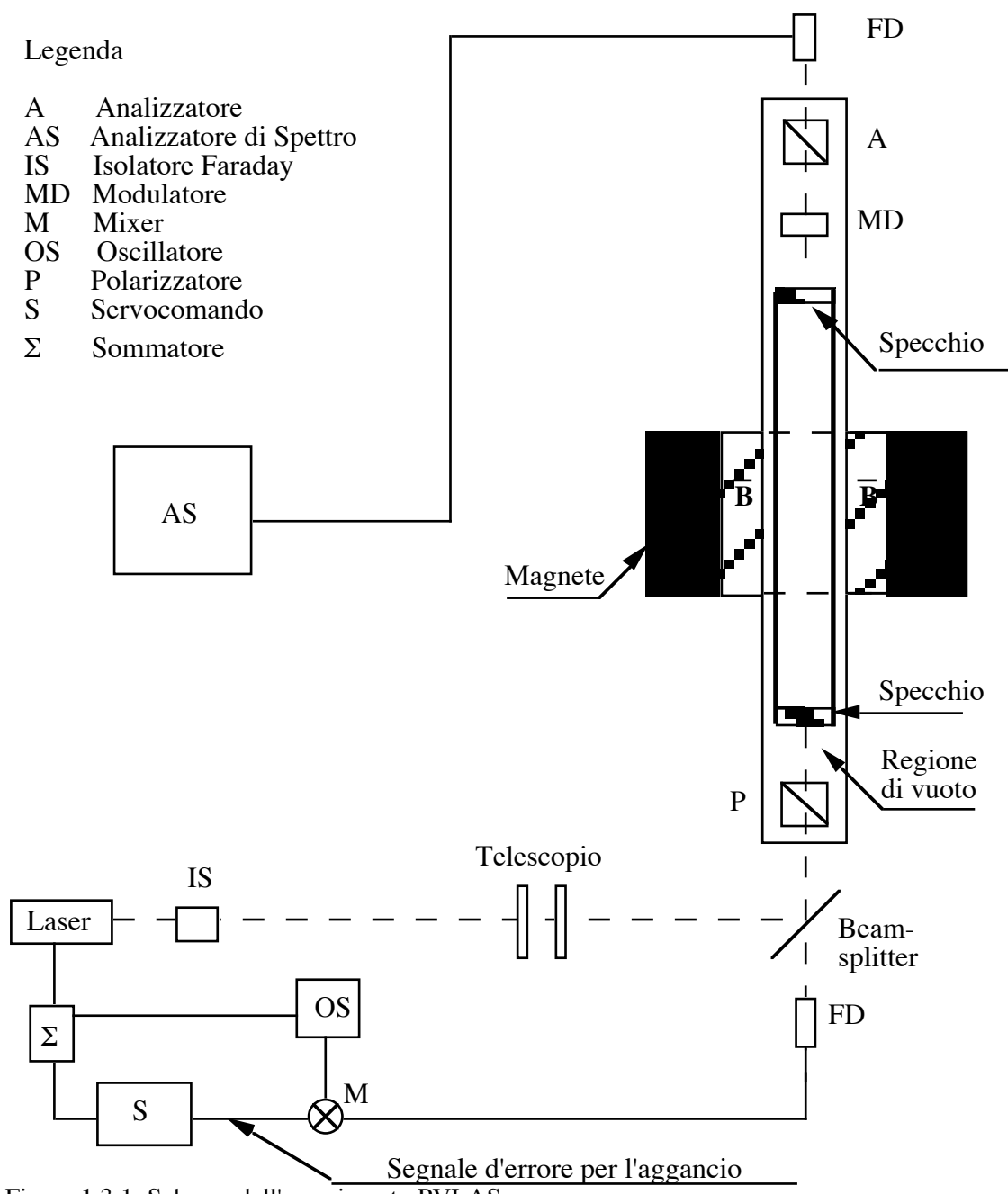


Figura 1.3.1: Schema dell'esperimento PVLAS.

La cavità ottica adottata nell'esperimento PVLAS sarà un risonatore ottico Fabry-Pérot (paragrafo 2.4). Esso consente di moltiplicare il cammino ottico per un fattore (approssimazione A)

$$\frac{1 + R}{1 - R} \approx \frac{2}{\pi} F$$

dove  $R$  è la riflettività degli specchi della cavità e  $F$  la finesse (paragrafo 2.4). Nell'esperimento PVLAS il campo magnetico è generato da un magnete superconduttore con  $B=10$  T e lunghezza  $L \approx 1$  m, il fascio di luce è fornito da un laser Nd-YAG ( $\lambda=1064$  nm). Senza considerare il vantaggio che deriva dalla più alta frequenza di modulazione e dall'effetto, ipotizzando una sensibilità dell'apparato pari a quella ottenuta per l'esperimento LAS ( $S=7.6 \cdot 10^{-9}$  rad/ $\sqrt{\text{Hz}}$ ) e lo stesso tempo di integrazione  $T=3.1 \cdot 10^4$  s e utilizzando il valore di  $\psi$  dato dall'equazione (1.1.12), si ricava una condizione sulla finesse della cavità

$$\frac{2F}{\pi} \cdot \psi \geq \frac{S}{\sqrt{T}} \quad (1.3.4)$$

da cui si ricava  $F \geq 50000$ . Una cavità con  $F=30000$  lunga un metro è già stata realizzata (Ruoso Pino 1993-94).

In figura 1.3.2 sono mostrate due viste dell'apparato completo che si sta realizzando nei laboratori dell'INFN di Legnaro (PD). Si possono distinguere: il magnete superconduttore inserito nel criostato; la tavola rotante su cui poggia il criostato, dotata di un foro centrale utile di diametro 2 cm che consente il passaggio della luce laser; la cavità Fabry-Perot di lunghezza 5 m, contenuta entro un tubo di quarzo mantenuto sotto vuoto. Perché l'ellitticità dovuta all'effetto Cotton-Mouton sul gas residuo sia molto più piccola di quella che si vuole misurare, è necessario che all'interno della cavità la pressione sia minore di  $10^{-8}$  torr (Micossi 1991-92).

Figura 1.3.2: Due viste dell'apparato in costruzione dell'esperimento PVLAS.

# CAPITOLO 2

## STRUMENTAZIONE E CAVITÀ FABRY-PEROT

### 2.1 LASER

Potenza	50 mW
Lunghezza d'onda $\lambda$	1064 nm
Diametro minimo del fascio $2w_L$	0.5 mm
Rumore in ampiezza (5 Hz - 10 MHz)	<0.1% rms
Deriva di potenza	< $\pm 5\%$ /8 ore
Stabilità in frequenza Larghezza di riga Jitter Deriva di frequenza	< 5 kHz/ms < 75 kHz/s < 50 MHz/ora
Modo spaziale	TEM <sub>00</sub>
Resistenza di ingresso attuatore termico	10 k $\Omega$
Resistenza di ingresso attuatore piezoelettrico	1 k $\Omega$

Tabella 2.1.1: Caratteristiche del laser Lightwave Electronics modello 124-1064-F.

La sorgente luminosa usata in laboratorio è un laser Nd:YAG di tipo NPRO (Non Planar Ring Oscillator). In tabella 2.1.1 sono riportate alcune caratteristiche del modello usato (Lightwave Electronics, modello 124-1064-F). In questo tipo di laser la cavità risonante è costituita da un monocristallo di Nd:YAG all'interno del quale la luce descrive un cammino ottico ad anello non planare per riflessione totale interna su tre superfici del cristallo stesso (veder figura 2.1.1). Il pompaggio è effettuato da un diodo laser. Il laser ha basso rumore in ampiezza ed elevata stabilità in frequenza, caratteristiche che derivano dal pompaggio a diodo e dalla cavità monolitica. Infatti il pompaggio

a diodo evita il problema del rumore associato alle lampade a scarica, mentre l'uso della cavità monolitica non planare, unito alla presenza in cavità di un piccolo campo magnetico, consente di ottenere l'eccitazione di un singolo modo e un completo isolamento dal campo elettrico della luce di ritorno (Nilsson 1989).

La frequenza della luce emessa dal laser può essere variata mediante due sistemi di controllo. Il primo è un termistore (heater) posto a contatto con la base della cavità (figura 2.1.1). La variazione della frequenza è ottenuta variando la temperatura, e dunque le dimensioni, del cristallo laser. Questo sistema di controllo ha banda passante  $f_c \approx 1$  Hz. Il fattore di conversione tensione-frequenza misurato è  $K_f = 3.1$  GHz/V, in buon accordo con il dato fornito dalla casa costruttrice, mentre la massima correzione della frequenza della luce è di 30 GHz. La regolazione della frequenza può essere effettuata sia manualmente, con un potenziometro, o con un segnale in tensione  $\pm 5$  V.

Figura 2.1.1: Schema ottico del laser NPRO.

Figura 2.1.2: Schema della cavità del laser NPRO con il trasduttore piezoelettrico PZT.

Il secondo sistema di controllo della frequenza è costituito da un piezoelettrico (PZT) incollato sulla faccia superiore della cavità (figura 2.1.2). Anch'esso ha la funzione di variare, per pressione meccanica, le dimensioni della cavità risonante e, con esse, la frequenza della luce. La banda passante è  $f_p=100$  kHz, mentre il fattore di conversione tensione-frequenza misurato è  $K_p=5$  MHz/V, in buon accordo con il dato fornito dalla casa costruttrice. Per tale sistema di controllo la massima correzione di frequenza della luce è di  $\pm 250$  MHz.

## 2.2 POLARIZZATORI

I polarizzatori usati nelle misure sono di tipo Glan. Essi sono costituiti da due prismi in cristallo di calcite opportunamente orientati e sagomati, separati da una intercapedine d'aria. Il fascio di luce incontra la superficie esterna dell'elemento ottico con incidenza normale.

La calcite è un cristallo otticamente anisotropo, caratterizzato dalla direzione di un *asse ottico* che definisce una direzione privilegiata all'interno del cristallo stesso. La velocità di propagazione della luce nel cristallo dipende dalla direzione di propagazione e dalla direzione di polarizzazione. Si distinguono due casi, a seconda che la polarizzazione sia parallela o perpendicolare all'asse ottico. Nel primo caso, detto *ordinario*, non c'è dipendenza della velocità di propagazione dalla direzione di propagazione: i fronti d'onda di una sorgente monocromatica posta all'interno del cristallo sono sferici. Nel secondo caso, detto caso *straordinario*, i fronti d'onda sono ellissoidi di rotazione attorno all'asse ottico. Nella calcite gli ellissoidi risultano schiacciati nella direzione dell'asse ottico, dove coincidono con i corrispondenti fronti d'onda del raggio ordinario. L'indice di rifrazione del raggio straordinario è quindi più piccolo di quello ordinario.

I polarizzatori usati in laboratorio hanno asse ottico parallelo alla faccia di ingresso (figura 2.2.1). In corrispondenza della superficie di separazione tra il primo prisma e l'intercapedine d'aria il raggio ordinario, che ha indice di rifrazione più alto di quello straordinario, viene eliminato per riflessione interna totale. Il raggio straordinario, invece, viene trasmesso e la sua direzione originale viene ripristinata dal secondo prisma.

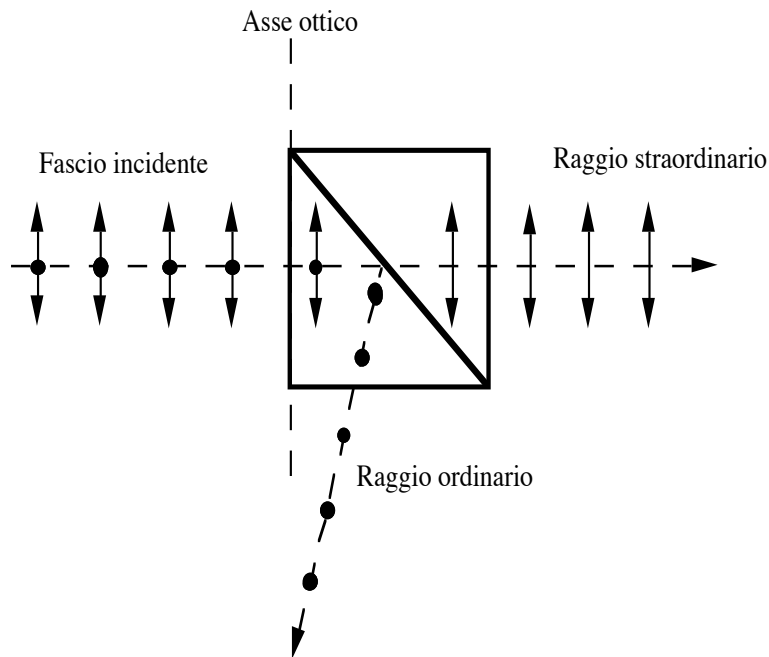


Figura 2.2.1

: Schema di funzionamento di un polarizzatore di tipo Glan. Le frecce  $\updownarrow$  indicano la polarizzazione parallela all'asse ottico, il punto  $\bullet$  indica la polarizzazione ortogonale al piano che contiene l'asse ottico e la direzione di propagazione della luce.

Si consideri un fascio di luce linearmente polarizzata di intensità  $I_0$  che incide ortogonalmente sulla faccia di ingresso del polarizzatore. Sia  $\vartheta$  l'angolo tra il vettore di polarizzazione e la normale all'asse ottico del polarizzatore. L'intensità della luce trasmessa dal polarizzatore, in condizioni ideali, è

$$I(\vartheta) = I_0 (\cos \vartheta)^2 \quad (2.2.1)$$

Dunque per un polarizzatore ideale l'intensità di luce trasmessa per  $\vartheta=0$  è nulla. Un polarizzatore reale, invece, trasmette una piccola frazione  $\sigma^2$  dell'intensità luminosa anche per  $\vartheta=0$ . L'intensità trasmessa può scriversi come

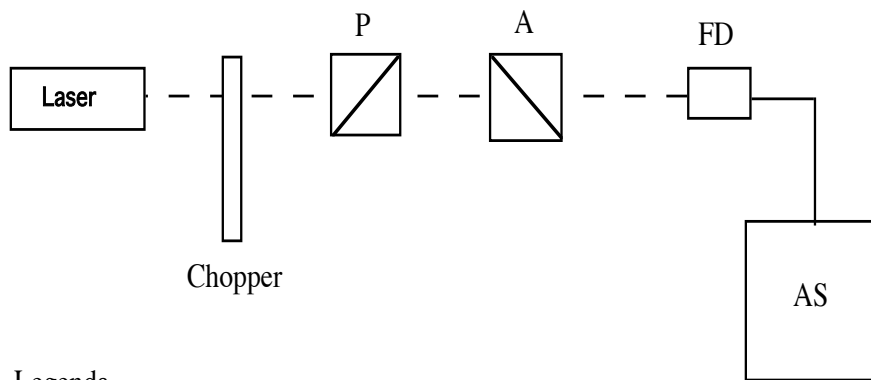
$$I(\vartheta) = I_0 (\sigma^2 + \cos^2 \vartheta) \quad (2.2.2)$$

Il coefficiente  $\sigma^2$  caratterizza la bontà del polarizzatore ed è definito *estinzione*. In laboratorio è stata eseguita una misura dell'estinzione utilizzando lo schema ottico di figura 2.2.2. Il fascio di luce è stato pulsato per mezzo di un chopper e la misura dell'intensità trasmessa è stata effettuata con un analizzatore di spettro. Ciò si rende necessaria

rio in quanto, in condizioni statiche, l'intensità della luce trasmessa dal polarizzatore all'estinzione è generalmente molto minore di quella spuria raccolta dal fotodiode. In principio, per misurare  $\sigma^2$  occorrerebbe effettuare due misure di intensità e farne il rapporto. Questo metodo è affetto da grossi errori. In pratica, una volta raggiunta l'estinzione, si ruota l'analizzatore A di un angolo  $\vartheta_{est}$  tale da raddoppiare il segnale. Si può allora scrivere

$$2 I_0 \sigma^2 = I_0 (\vartheta_{est}^2 + \sigma^2) \quad (2.2.3)$$

e quindi  $\vartheta_{est}^2 = \sigma^2$ . L'estinzione misurata è  $\sigma^2 = 10^{-7}$ .



Legenda

- P Primo polarizzatore
- A Secondo polarizzatore (Analizzatore)
- AS Analizzatore di Spettro
- FD Fotodiode

Figura 2.2.2: Schema ottico per la misura dell'estinzione  $\sigma^2$ . L'analizzatore era montato su un rotatore che ne permetteva il posizionamento angolare con una sensibilità di  $3 \cdot 10^{-5}$  rad ( $1.7 \cdot 10^{-3}$  °).

## 2.3 FOTODIODO E RELATIVI CIRCUITI ELETTRONICI

Per le misure di intensità luminosa è stato usato il fotodiode Hamamatsu S1223. Le caratteristiche di questo componente sono riassunte in tabella 2.3.1.

Il fotodiode può essere schematizzato come un generatore di corrente, con una efficienza quantica  $q$  misurata in Ampere/Watt. Il coefficiente  $q$  rappresenta l'intensità di corrente fornita dal fotodiode per unità di potenza luminosa. Il suo valore è stato misurato

to sperimentalmente in funzione dell'intensità del fascio di luce ( $\lambda=1064$  nm). Per queste misure si è utilizzato lo schema di figura 2.3.1. I risultati sono riportati in figura 2.3.2. Il valore dell'efficienza quantica  $q$  è determinato dalla pendenza del tratto lineare della curva. Si è ottenuto

$$q = 0.23 \text{ A / W} \quad (2.3.1)$$

Il fotodiodo è stato sempre polarizzato inversamente in tutti i circuiti usati. Tale polarizzazione aumenta la larghezza della "zona di giunzione" (*depletion layer*), minimizzando il valore della sua capacità  $C_f$ . In tal modo si amplia la banda di risposta in frequenza del fotodiodo.

Spettro di sensibilità	320–1100 nm
Lunghezza d'onda di massima sensibilità	960 nm
<i>Dark current</i> (max)	10 nA
Diametro	3 mm
Capacità $C_f$ (V=-20 V)	20 pF

Tabella 2.3.1: Caratteristiche del fotodiodo Hamamatsu S1223.

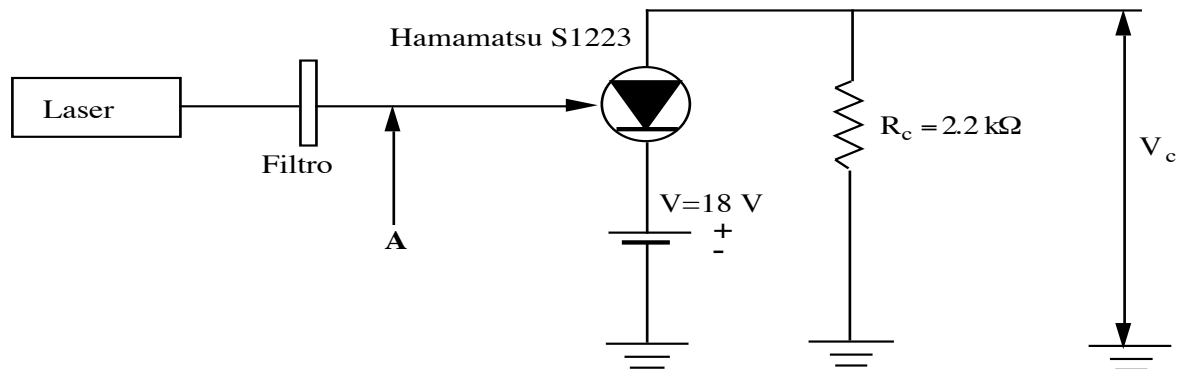


Figura 2.3.1: Circuito per la misura dell'efficienza quantica  $q$ . I filtri consentono di variare la potenza incidente sul rivelatore. Nel punto A è stata effettuata la misura della potenza incidente con un Labmaster E della Coherent.

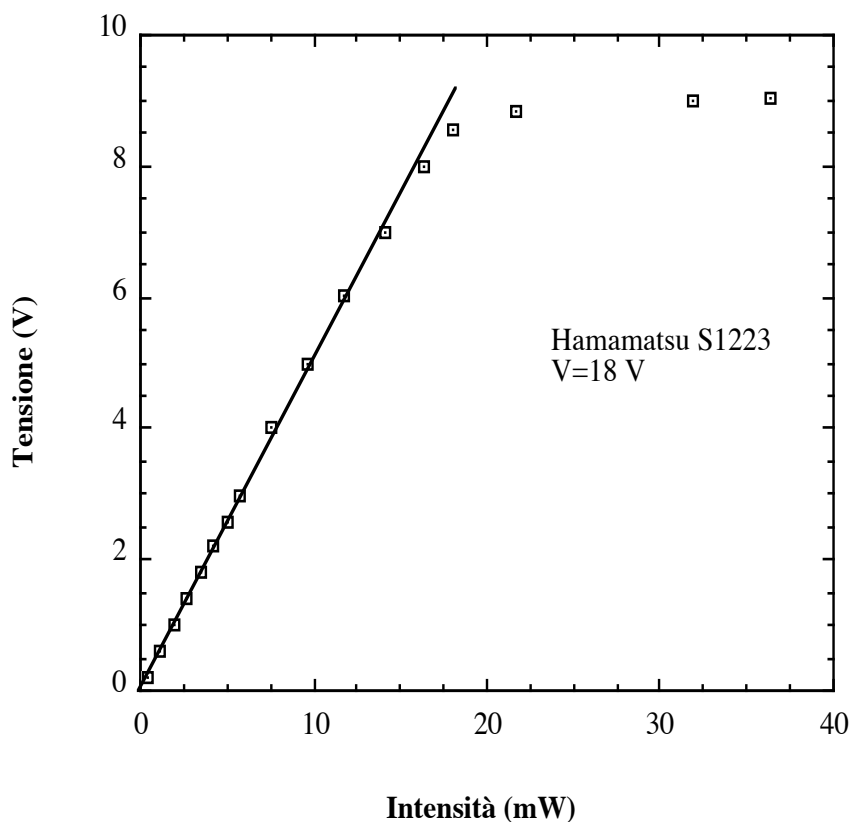


Figura 2.3.2: Risultati delle misure eseguite con l'apparato di figura 2.3.1. La pendenza del tratto lineare rappresenta l'efficienza quantica  $q=0.23$  A/W.

### 2.3.1 Circuito per la rivelazione della luce riflessa

Si sono sviluppati due diversi circuiti di amplificazione del segnale del fotodiode, uno per la rivelazione della luce riflessa dalla cavità Fabry-Perot, e uno per quella trasmessa (paragrafo 2.4). La figura 2.3.3 è lo schema del circuito per la rivelazione della luce riflessa. Questo circuito è ottimizzato per rivelare componenti di alta frequenza dell'intensità luminosa. In particolare si è interessati alla frequenza alla quale si modula la fase del laser  $\nu_m=717.7$  kHz (vedi oltre). Il circuito LR che precede l'amplificatore e operazionale fa da filtro passa alto e, in particolare, taglia la componente continua del segnale generato dal fotodiode. Tale tensione potrebbe infatti danneggiare i componenti che seguono l'amplificatore. La resistenza  $R_{dc}$  serve appunto per misurare la componente continua del segnale. Tenendo conto della capacità intrinseca del fotodiode  $C_f$ , il valore dell'impedenza  $Z$  vista dal fotodiode è il parallelo di  $L$ ,  $R_L$  e  $C_f$ :

$$|Z(\omega)| = \frac{\omega L R_L}{\sqrt{(R_L - R_L \omega^2 L C_f)^2 + \omega^2 L^2}} \quad (2.3.2)$$

A  $\omega=2\pi\nu_m$   $|Z|=7.7 \text{ k}\Omega$ . Il guadagno dell'amplificatore è  $G=(R_2+R_1)/R_1 \approx 11$ . Con tale fattore di amplificazione, l'operazionale LF 357 ha una banda passante di circa 2 MHz, sufficiente per non attenuare il segnale a frequenza  $\nu_m$ . Il fattore di risposta  $\alpha_r$  (espresso in Volt/Watt) del sistema fotodiode-amplificatore vale

$$\alpha(\omega) = q |Z(\omega)| G \quad (2.3.3)$$

A  $\omega=2\pi\nu_m$   $\alpha(\omega_m)=\alpha_r=1.95 \cdot 10^4 \text{ V/W}$ . Il fattore di risposta per la componente continua a vale invece

$$\alpha_{dc} = q R_{dc} = 230 \text{ V / W}$$

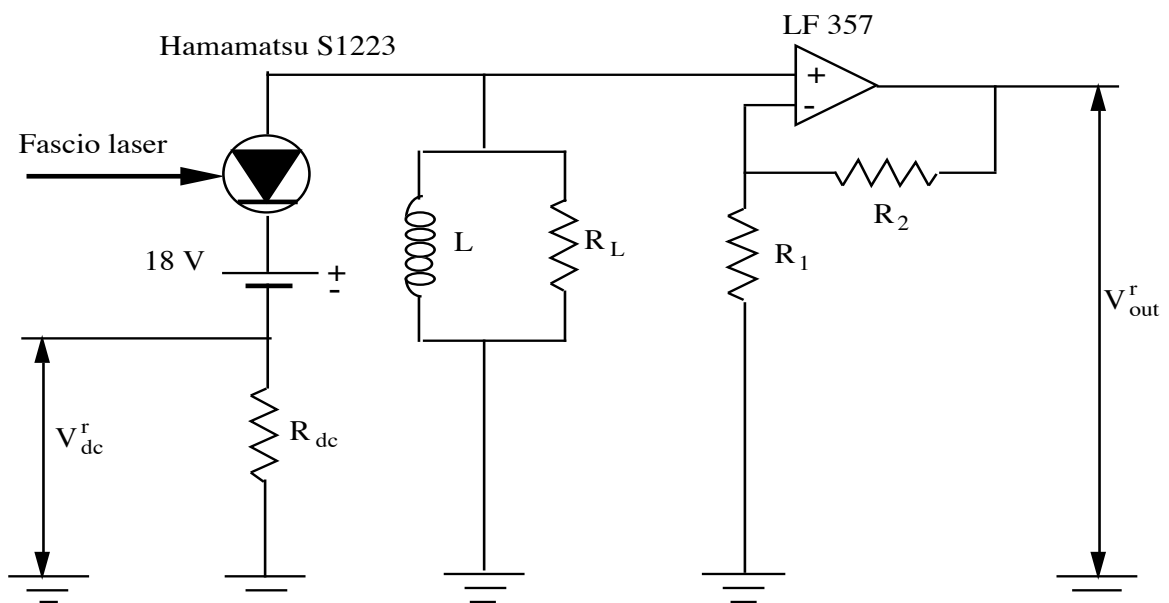


Figura 2.3.3: Circuito per la rivelazione della luce riflessa.  $L=30 \text{ mH}$ ,  $R_L=10 \text{ k}\Omega$ ,  $R_1=100 \Omega$ ,  $R_2=1 \text{ k}\Omega$ ,  $R_{dc}=1 \text{ k}\Omega$ .

### 2.3.2 Circuito per la rivelazione della luce trasmessa

La figura 2.3.4 mostra il circuito utilizzato per la rivelazione della luce trasmessa dalla cavità F.P. In questo circuito è usato un operazionale relativamente lento, ma con basso rumore di uscita. Infatti in questo caso si è interessati alla componente continua del segnale. Il fattore di risposta in continua  $\alpha_t$  è

$$\alpha_t = q R_c G = 0.25 R_c (\text{k}\Omega) 10^4 \text{ V/W} \quad (2.3.4)$$

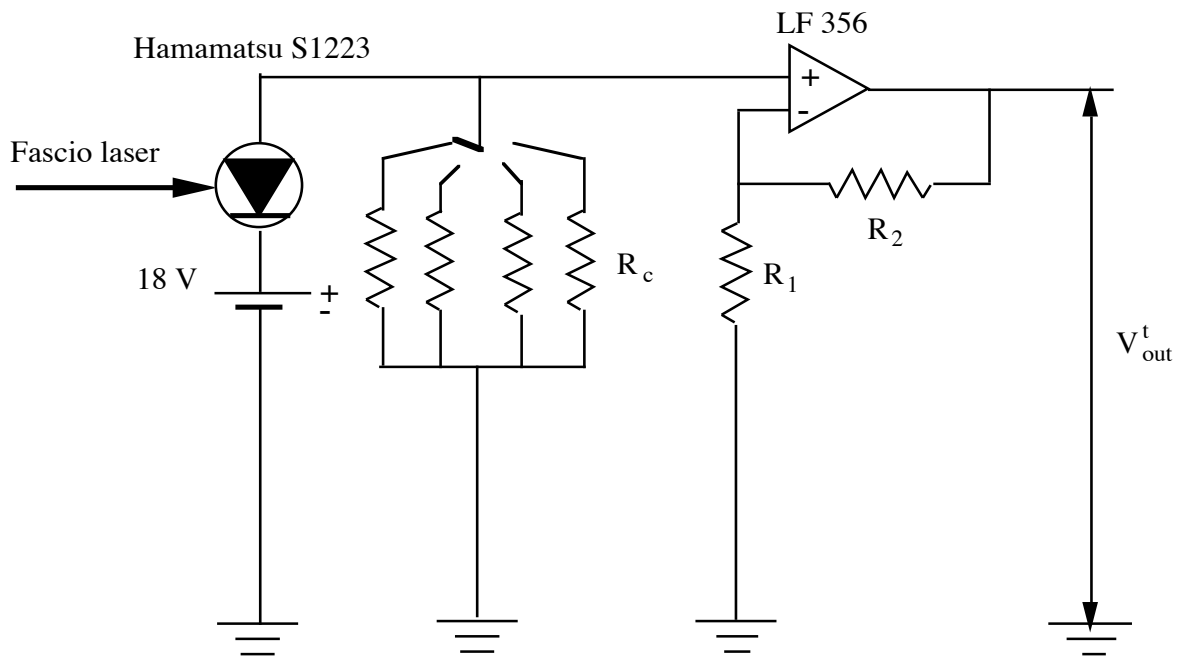


Figura 2.3.4: Circuito di rivelazione della luce trasmessa.  $R_c$  può essere scelta tra i valori 1 k $\Omega$ , 100 k $\Omega$ , 10 M $\Omega$  e 1 G $\Omega$  per variare il fondo scala del rivelatore.

## 2.4 INTERFEROMETRO FABRY - PEROT

### 2.4.1 L'interferometro Fabry - Perot ideale

L'interferometro (cavità) Fabry-Perot (F.P.) è costituito da due superfici riflettenti poste a una distanza  $d$  (figura 2.4.1). La luce, attraversandole, viene in parte riflessa e in parte trasmessa, dando luogo a fenomeni di interferenza multipla. Sviluppiamo le equazioni che esprimono le caratteristiche generali dell'interferometro F.P. nell'ipotesi che gli specchi siano piani e paralleli e che la direzione  $z$  di propagazione

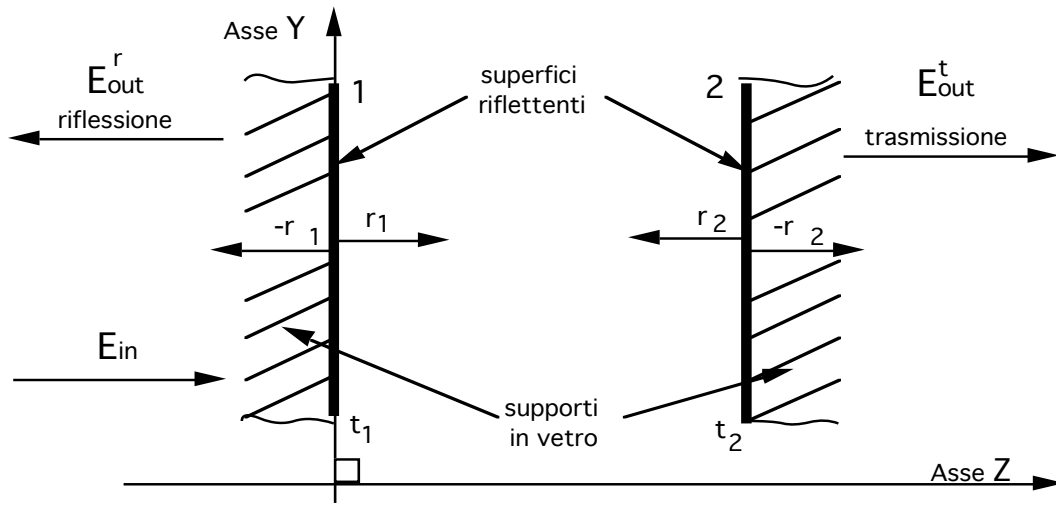


Figura 2.4.1: Interferometro F.P.:  $r_1$  e  $t_1$  rappresentano, rispettivamente, i coefficienti di riflessione e di trasmissione delle superfici riflettenti.

della luce sia normale agli stessi. Descriviamo la luce come un'onda piana monocromatica di pulsazione  $\omega=2\pi\nu$  e numero d'onda  $k=2\pi/\lambda$

$$E_{in}(t,z) = E_0 e^{i(\omega t - kz)} \quad (2.4.1)$$

Il campo elettrico trasmesso dall'interferometro può calcolarsi come

$$\begin{aligned} E_t &= E_{in} t_1 t_2 e^{i\delta/2} + E_{in} t_1 t_2 r_1 r_2 e^{i\delta/2} e^{i\delta} + E_{in} t_1 t_2 e^{i\delta/2} (r_1 r_2 e^{i\delta})^2 + \dots + \\ &+ E_{in} t_1 t_2 e^{i\delta/2} (r_1 r_2 e^{i\delta})^m + \dots \\ &= E_{in} t_1 t_2 e^{i\delta/2} \sum_{p=0}^{\infty} (r_1 r_2 e^{i\delta})^p \end{aligned} \quad (2.4.2)$$

dove il primo termine rappresenta il campo elettrico della luce che ha attraversato l'interferometro senza aver subito riflessioni, e gli altri descrivono la luce che ha subito due o più riflessioni all'interno di esso. La luce trasmessa dall'interferometro, quindi, è composta da termini sfasati tra di loro di una quantità che, per un ciclo completo di andata e ritorno nel F.P, vale:

$$\delta = 4\pi d n / \lambda = 4\pi d n \nu / c \quad (2.4.3)$$

dove  $n$  è l'indice di rifrazione del mezzo attraversato. Dalla equazione (2.4.2) si ottiene:

$$\begin{aligned}
E_t &= E_{in} t_1 t_2 \frac{e^{i\delta/2}}{1 - r_1 r_2 e^{i\delta}} \\
&= E_{in} t_1 t_2 \frac{(1 - r_1 r_2) \cos(\delta/2) + i(1 + r_1 r_2) \sin(\delta/2)}{1 - 2r_1 r_2 \cos \delta + (r_1 r_2)^2} \quad (2.4.4)
\end{aligned}$$

Lo sfasamento  $\varphi_t$  tra il campo elettrico  $E_{in}$  e quello che esce in trasmissione  $E_t$  è

$$\varphi_t = \text{arctg} \left( \frac{1 + r_1 r_2}{1 - r_1 r_2} \text{tg} \frac{\delta}{2} \right) \quad (2.4.5)$$

Introduciamo ora i coefficienti di trasmissione e riflessione in intensità degli specchi  $T_i = t_i^2$ ,  $R_i = r_i^2$  per i quali supponiamo valga la condizione ideale di assenza di perdite di energia nella riflessione

$$T_i + R_i = 1 \quad (2.4.6)$$

Supponiamo inoltre che valga

$$t_1 = t_2 \text{ e } |r_1| = |r_2| \quad (2.4.7)$$

L'intensità  $I_t$  della luce che esce in trasmissione dal F.P. è allora

$$I_t = I_{in} \frac{T^2}{1 - 2R \cos \delta + R^2} \quad (2.4.8)$$

Le condizioni di massima trasmissione si verificano quando

$$\delta = \delta_{\max} = 2\pi m \quad m = 0, 1, 2, 3, \dots \quad (2.4.9)$$

e in condizioni ideali, in cui vale la (2.4.6), si ha  $I_t = I_{in}$ . Inoltre dalla (2.4.5) si ha che in condizioni di massima trasmissione lo sfasamento tra  $E_{in}$  e  $E_t$  è nullo.

Per la luce riflessa dal F.P. il ragionamento è analogo. In questo caso la sommatoria del campo elettrico può essere scritta come

$$\begin{aligned}
E_r &= -E_{in} r_1 + E_{in} t_1^2 r_2 e^{i\delta} + E_{in} t_1^2 r_2 e^{i\delta} (r_1 r_2 e^{i\delta}) + E_{in} t_1^2 r_2 e^{i\delta} (r_1 r_2 e^{i\delta})^2 + \\
&\quad + \dots + E_{in} t_1^2 r_2 e^{i\delta} (r_1 r_2 e^{i\delta})^m + \dots \\
&= -E_{in} r_1 + E_{in} t_1^2 r_2 e^{i\delta} \sum_{p=0}^{\infty} (r_1 r_2 e^{i\delta})^p \quad (2.4.10)
\end{aligned}$$

Il campo elettrico della luce riflessa dal F.P. è allora

$$\begin{aligned}
E_r &= -E_{in} \frac{r_1 - r_2(r_1^2 + t_1^2)e^{i\delta}}{1 - r_1 r_2 e^{i\delta}} \\
&= -E_{in} \frac{r_1(1 + r_2^2) - r_2(1 + r_1^2)\cos\delta - i r_2(1 - r_1^2)\sin\delta}{1 + (r_1 r_2)^2 - 2r_1 r_2 \cos\delta}
\end{aligned} \tag{2.4.11}$$

Lo sfasamento  $\varphi_r$  tra  $E_{in}$  e  $E_r$  è

$$\varphi_r = -\arctg\left(\frac{r_2(1 - r_1^2)\sin\delta}{r_1(1 + r_2^2) - r_2(1 + r_1^2)\cos\delta}\right) \tag{2.4.12}$$

L'intensità della luce riflessa dalla cavità è

$$I_r = I_{in} \frac{2(1 - \cos\delta)R}{1 - 2R\cos\delta + R^2} \tag{2.4.13}$$

Le condizioni di massima intensità per la riflessione si verificano per

$$\delta = \delta_{\min} = 2\pi(m-1/2) \quad m = 1, 2, 3, \dots \tag{2.4.14}$$

Introduciamo ora i parametri  $h_r$  e  $h_t$  definiti come

$$h_r = \frac{E_r}{E_{in}} \quad h_t = \frac{E_t}{E_{in}} \tag{2.4.15}$$

la (2.4.4) e la (2.4.11) possono allora risciversi nella forma

$$h_r(\delta) = \frac{\sqrt{R}(1 - e^{i\delta})}{1 - Re^{i\delta}} \quad h_t(\delta) = \frac{Te^{i\delta/2}}{1 - Re^{i\delta}} \tag{2.4.16}$$

Introduciamo poi i parametri  $H_r$  e  $H_t$  definiti come

$$H_r = h_r h_r^* = \frac{I_r}{I_{in}} \quad H_t = h_t h_t^* = \frac{I_t}{I_{in}} \tag{2.4.17}$$

Per qualsiasi  $\delta$  vale

$$H_t + H_r = 1$$

ed inoltre in condizioni di massima trasmissione, cioè per  $\delta = 0$ , si ha

$$H_t(0) = 1 \quad H_r(0) = 0 \tag{2.4.18}$$

### 2.4.2 Il Fabry - Perot come cavità risonante

Si vuole ora calcolare la densità di energia presente all'interno dell'interferometro F.P. e mostrare che vi è accumulo di energia luminosa all'interno dell'interferometro stesso. La densità di energia associata ad un campo elettromagnetico nel vuoto è:

$$w(t,z) = \frac{1}{2} \mathbf{E} \cdot \mathbf{D} + \frac{1}{2} \mathbf{B} \cdot \mathbf{H} = \frac{1}{2} \epsilon_0 E^2 + \frac{1}{2} \frac{B^2}{\mu_0}$$

Per le onde elettromagnetiche  $B=E/c$  e

$$w(t,z) = \epsilon_0 E^2$$

All'esterno dell'interferometro l'onda luminosa è progressiva e la sua densità media di energia è

$$\bar{w}_0 = \frac{1}{2} \epsilon_0 E_0^2 \quad (2.4.19)$$

All'interno del F.P. l'onda luminosa in condizioni di risonanza è quasi stazionaria, quindi la si può scrivere come

$$E_{FP}(t,z) = E_{FP}^0 \sin \omega t \sin kz$$

La densità di energia associata a tale onda è

$$w_{FP}(t,z) = \epsilon_0 (E_{FP}^0)^2 \sin^2 \omega t \sin^2 kz$$

Facendo la media

$$\bar{w}_{FP} = \frac{1}{4} \epsilon_0 (E_{FP}^0)^2 \quad (2.4.20)$$

L'ampiezza  $E_{FP}^0$  dell'onda stazionaria può essere calcolata sommando i campi elettrici delle due onde progressive con direzioni opposte. L'ampiezza del campo elettrico dell'onda che avanza all'interno della cavità è data dalla sommatoria

$$E'_{FP} = E_0 t_1 + E_0 t_1 r_1 r_2 e^{i\delta} + E_0 t_1 (r_1 r_2 e^{i\delta})^2 + \dots + E_0 t_1 (r_1 r_2 e^{i\delta})^m + \dots$$

mentre quella dell'onda che torna indietro è

$$E''_{FP} = E_0 t_1 r_1 + E_0 t_1 r_1 r_1 r_2 e^{i\delta} + E_0 t_1 r_1 (r_1 r_2 e^{i\delta})^2 + \dots + E_0 t_1 r_1 (r_1 r_2 e^{i\delta})^m + \dots$$

Il campo totale è la somma dei due:

$$E_{FP} = E'_{FP} + E''_{FP} = (1 + r_1) \left[ E_0 t_1 r_1 + E_0 t_1 r_1 r_1 r_2 e^{i\delta} + E_0 t_1 r_1 (r_1 r_2 e^{i\delta})^2 + \dots + E_0 t_1 r_1 (r_1 r_2 e^{i\delta})^m + \dots \right]$$

Per  $r \approx 1$  si ha che, in condizioni di massima trasmissione, l'ampiezza del campo dell'onda stazionaria è:

$$E_{FP}^0 = E_0 \frac{2t}{1-r^2} = E_0 \frac{2}{\sqrt{1-R}} \quad (2.4.21)$$

Sostituendo tale espressione nella (2.4.20) si ottiene

$$\bar{w}_{FP} = \epsilon_0 E_0^2 \frac{1}{1-R} = \bar{w}_0 \frac{2}{1-R} \quad (2.4.22)$$

dalla quale si vede che la densità di energia all'interno del F.P. può essere molto più grande che all'esterno. L'interferometro F.P. è dunque una cavità risonante e in particolare, visto che l'energia immagazzinata è luminosa, può essere anche chiamato cavità ottica risonante.

### 2.4.3 Finesse di un Fabry - Perot ideale

Riscriviamo la (2.4.8) nella forma seguente (detta funzione di Airy):

$$H_t = \frac{1}{1 + f \sin^2(\delta / 2)} = \frac{1}{1 + f \sin^2(2\pi d\nu / c)} \quad (2.4.23)$$

dove

$$f = \frac{4R}{(1-R)^2} \quad (2.4.24)$$

Il grafico di fig 2.4.2, che mostra l'andamento di  $H_t$  in funzione di  $\delta$  per vari valori del parametro  $f$ , è lo spettro delle frequenze trasmesse dal F.P.. Come si può vedere il picco di trasmissione si restringe all'aumentare di  $f$  e con esso, quindi, la banda di frequenza della luce trasmessa dalla cavità. Supponendo  $f \gg 1$ , introduciamo, ora, la grandezza  $F$  (*finesse*) definita da

$$F = \frac{\Delta\nu_{fsr}}{\Delta\nu_p} \quad (2.4.25)$$

dove  $\Delta\nu_p$  è la larghezza in frequenza, misurata a metà altezza, del picco di trasmissione, mentre  $\Delta\nu_{fsr}$  è la distanza in frequenza fra due massimi successivi di trasmissione (vedere fig 2.4.2). Come per il caso del parametro  $f$ , più grande è la finesse  $F$  più stretta

ta diventa la banda di frequenze trasmesse dall'interferometro. La larghezza a metà altezza  $\Delta\nu_p$  del picco si ricava ponendo:

$$\frac{1}{2} = \frac{1}{1 + f \sin^2(\pi d \Delta\nu_p / c)} \quad (2.4.26)$$

ed essendo  $f \gg 1$ , e quindi  $\Delta\nu_p \ll 1$ , si ha:

$$\Delta\nu_p = \frac{c}{\pi d \sqrt{f}} \quad (2.4.27)$$

Il valore di  $\Delta\nu_{\text{fsr}}$  si ricava dalla (2.4.23) come

$$\Delta\nu_{\text{fsr}} = \frac{c}{2d} \quad (2.4.28)$$

la finesse F è allora

$$F = \frac{\Delta\nu_{\text{fsr}}}{\Delta\nu_p} = \frac{\pi \sqrt{f}}{2} = \frac{\pi \sqrt{R}}{1 - R} \quad (2.4.29)$$

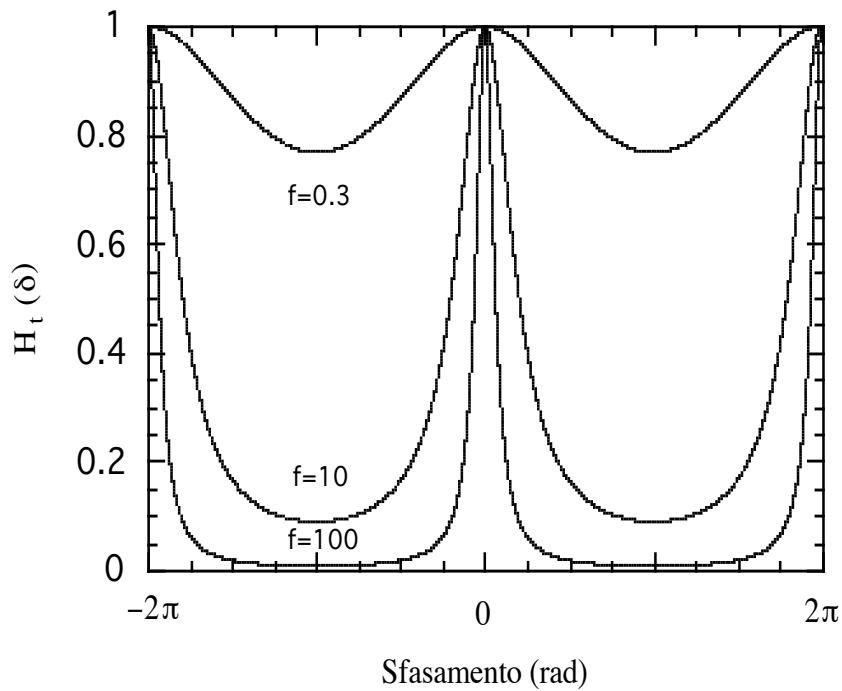


Figura 2.4.2: Funzione di Airy per vari valori del parametro f.

#### 2.4.4 Fabry - Perot reale

Passiamo ora a trattare il caso più generale in cui ogni riflessione della luce sugli specchi è accompagnata da perdite d'intensità; alla (2.4.6) sostituiamo

$$T+R+P=1 \quad (2.4.30)$$

dove P rappresenta la frazione di intensità persa in una riflessione. La (2.4.8) resta valida:

$$H_t = \frac{T^2}{1 - 2R \cos \delta + R^2} = \left( \frac{T}{1-R} \right)^2 \frac{1}{1 + f \sin^2(\delta/2)} \quad (2.4.31)$$

Considerando la (2.4.11) si ricava invece

$$H_r = \frac{[1 - 2 \cos \delta(1-P) + (1-P)^2] R}{1 - 2R \cos \delta + R^2} \quad (2.4.32)$$

In condizioni di massima trasmissione i valori di  $H_t$  e  $H_r$  sono dati da

$$H_t(0) = \left( \frac{T}{1-R} \right)^2 \quad H_r(0) = \frac{P^2 R}{(1-R)^2} \quad (2.4.33)$$

L'espressione della finesse rimane uguale a quella data dalla (2.4.29).

#### 2.4.5 Fabry-Perot con assorbimento del mezzo

Vediamo ora come si modificano le formule che esprimono  $H_t$ ,  $H_r$  e F se si tiene conto anche dell'assorbimento dell'aria. Riscriviamo la (2.4.2) nella forma :

$$E_t = E_{in} t_1 t_2 e^{i\delta/2} e^{-\alpha} \sum_{p=0}^{\infty} (r_1 r_2 e^{i\delta} e^{-2\alpha})^p \quad (2.4.34)$$

dove  $\alpha = \mu d$  e  $\mu$  è il coefficiente di assorbimento dell'aria. Il campo elettrico della luce trasmessa dal F.P. diventa allora:

$$E_t = E_{in} t_1 t_2 \frac{e^{-\alpha}}{1 - r_1 r_2 e^{i\delta} e^{-2\alpha}} \quad (2.4.35)$$

L'intensità trasmessa sarà data da:

$$H_t = \frac{T^2 e^{-2\alpha}}{1 - 2R e^{-2\alpha} \cos \delta + R^2 e^{-4\alpha}} \quad (2.4.36)$$

Da questa equazione si può ricavare l'espressione della finesse procedendo analogamente a come fatto nei casi precedenti :

$$f = \frac{4Re^{-2\alpha}}{(1 - Re^{-2\alpha})^2} \quad (2.4.37)$$

e

$$F = \frac{\pi\sqrt{Re^{-2\alpha}}}{1 - Re^{-2\alpha}} \quad (2.4.38)$$

Ricaviamo ora l'espressione del campo riflesso. La (2.4.10) viene riscritta come

$$E_r = -E_{in}r_1 + E_{in}t_1^2 r_2 e^{i\delta} e^{-2\alpha} \sum_{p=0}^m (r_1 r_2 e^{i\delta} e^{-2\alpha})^p \quad (2.4.39)$$

quindi l'intensità riflessa sarà espressa da

$$H_r = \frac{[1 - 2 \cos \delta (1 - P)e^{-2\alpha} + (1 - P)^2 e^{-4\alpha}] R}{1 - 2Re^{-2\alpha} \cos \delta + R^2 e^{-4\alpha}} \quad (2.4.40)$$

In condizioni di massima trasmissione ( $\delta=0$ ) la (2.4.36) e la (2.4.40) diventano:

$$H_t(0) = \frac{T^2 e^{-2\alpha}}{(1 - Re^{-2\alpha})^2}$$

$$H_r(0) = \frac{[1 - (1 - P)e^{-2\alpha}]^2 R}{(1 - Re^{-2\alpha})^2} \quad (2.4.42)$$

Queste formule, assieme alla (2.4.38), definiscono completamente le caratteristiche del F.P. costruito in laboratorio. In linea di principio sono tali formule che devono essere usate per valutare i dati e le misure ottenute. Nel nostro caso, comunque, il valore del coefficiente di assorbimento dell'aria (per il rosso) è  $\mu=5.3 \cdot 10^{-6} \text{ m}^{-1}$  ( $\mu^{-1} = 188 \text{ K m}$ ) (Jackson 1975), ed essendo  $\alpha=\mu d=4.7 \cdot 10^{-6}$  ( $d=0.885 \text{ m}$ ) si ottiene

$$1 - e^{-2\alpha} \approx 10^{-5}$$

La considerazione dell'assorbimento dell'aria introduce dunque una correzione assolutamente trascurabile alle formule del paragrafo precedente. Il termine  $e^{-2\alpha}$  verrà considerato, da qui in avanti, uguale all'unità.

## 2.5 TELESCOPIO

### 2.5.1 Stabilità di una cavità ottica

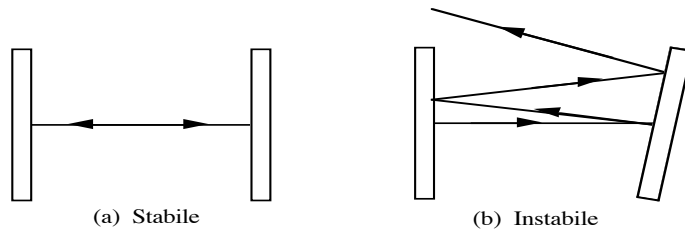


Figura 2.5.1: (a) Cavità ottica con specchi piani paralleli: il raggio è ortogonale agli specchi e rimane all'interno della cavità; (b) Cavità ottica con specchi piani non paralleli, il raggio esce lateralmente dalla cavità dopo un numero finito di riflessioni.

Una cavità ottica si definisce "stabile" se nelle riflessioni sugli specchi ciascun raggio del fascio di luce ripercorre esattamente il cammino di incidenza in senso inverso. Questa condizione di "reversibilità" è tanto più stringente se si considera che la cavità dà luogo, in linea di principio, ad un numero infinito di riflessioni multiple. Il rispetto di tale condizione esclude la possibilità che il fascio possa uscire lateralmente dalla cavità (figura 2.5.1). Per una cavità costruita con specchi sferici di raggi di curvatura  $R_1$  ed  $R_2$  posti a distanza  $d$  la stabilità è garantita da una condizione di tipo geometrico (Svelto 1989)

$$0 \leq \left(1 - \frac{d}{R_1}\right) \left(1 - \frac{d}{R_2}\right) \leq 1 \quad (2.5.1)$$

Questa condizione è rispettata anche dalla cavità formata da due specchi piani paralleli, ma evidentemente è impossibile in pratica mantenerne l'allineamento. In più il fascio laser è un'onda solo approssimativamente piana. Essa ha un profilo del campo di tipo gaussiano, che implica una divergenza dei raggi periferici dovuta alla diffrazione. Nella pratica, quindi, si preferisce costruire cavità con almeno uno specchio curvo, cosa che ne facilita l'allineamento e diminuisce le perdite di intensità. La condizione di stabilità impone che i raggi di curvatura dei fronti d'onda del fascio alla posizione degli specchi coincidano con i raggi di curvatura degli specchi stessi.

La cavità F.P. costruita in laboratorio è costituita di un primo specchio piano ( $R_1 = \infty$ ) e uno concavo avente raggio di curvatura  $R_2 = 5$  m posti a distanza  $d = 0.885$  m (figura 2.5.2). In queste condizioni la (2.5.1) garantisce la stabilità del risuonatore.

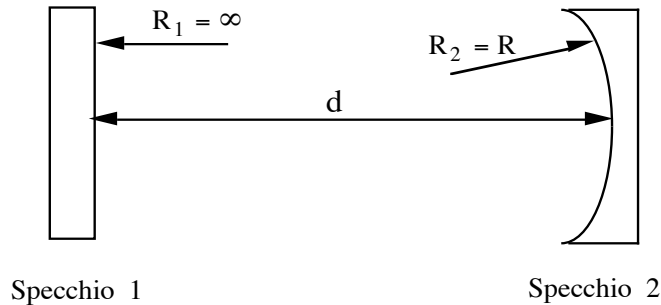


Figura 2.5.2 : Cavità con uno specchio piano e uno concavo.

### 2.5.2 Adattamento del fascio laser alla cavità F.P.

Si può dimostrare (Svelto 1989) che il campo elettrico dell'onda stazionaria presente all'interno di un risuonatore ottico può essere sviluppato in termini degli elementi di una successione ortonormale completa di modi spaziali ( $TEM_{lm}$ ) il cui termine generico può essere espresso come (Svelto 1989)

$$\begin{aligned}
 E_{lm}(x, y, z) = & \frac{w_c}{w(z)} H_1 \left[ \frac{x\sqrt{2}}{w(z)} \right] H_m \left[ \frac{y\sqrt{2}}{w(z)} \right] \exp \left[ -\frac{x^2 + y^2}{w^2(z)} \right] \\
 & \times \exp\{-i[kz - (l + m) \psi(z)]\} \\
 & \times \exp\{-i[k(x^2 + y^2) / 2R(z)]\}
 \end{aligned} \tag{2.5.2}$$

dove

$$\begin{aligned}
w(z) &= w_c \sqrt{1 + \left(\frac{\lambda z}{\pi w_c^2}\right)^2} \\
R(z) &= z \left[ 1 + \left(\frac{\pi w_c^2}{\lambda z}\right)^2 \right] \\
\psi(z) &= \tan^{-1} \left( \frac{z \lambda}{\pi w_c^2} \right)
\end{aligned}
\tag{2.5.3}$$

L'asse  $z$  è preso coincidente con l'asse ottico della cavità, cioè la retta che passa per i fuochi degli specchi.  $H_l$  e  $H_m$  sono i polinomi di Hermite di ordine  $l$  ed  $m$ . La funzione  $w(z)$  è detta "raggio del fascio" alla coordinata  $z$ . Il fascio assume raggio minimo  $w_c$  (*waist*) alla coordinata  $z=0$  e si allarga indefinitamente procedendo da questo punto.

La funzione  $R(z)$  rappresenta il raggio di curvatura delle superfici d'onda (Svelto 1989). Nel punto di waist minimo  $R(0)=\infty$ . La prima riga dell'equazione 2.5.2 rappresenta l'ampiezza del campo elettrico. La seconda riga descrive la variazione della fase lungo l'asse zeta (fattore di fase longitudinale). Si ottiene una risonanza quando la differenza di fase tra le posizioni dei due specchi è un multiplo intero di  $\pi$ . Modi spaziali differenti ( $l+m \neq l+m$ ) hanno dunque differenti frequenze di risonanza. La terza riga, infine, descrive l'andamento della fase lungo il piano  $xy$  (fattore di fase trasversale). Nel piano  $xy$  modi diversi hanno diversa distribuzione spaziale dell'intensità. Ponendo uno schermo all'uscita della cavità si può dunque individuare il modo in risonanza dalla forma della macchia luminosa.

Nella realizzazione della cavità F.P. costruita in laboratorio si è fatto sì che risuonasse il solo modo  $TEM_{00}$ , quello soggetto alle minori perdite di intensità per diffrazione (Svelto 1989). Ciò si ottiene allineando il fascio del laser all'asse ottico della cavità. L'ampiezza del campo elettrico del modo  $TEM_{00}$  è

$$\left| E_{00}(x,y,z) \right| = \frac{w_c}{w(z)} \exp \left[ -\frac{x^2 + y^2}{w^2(z)} \right]
\tag{2.5.4}$$

Per la cavità da noi costruita la posizione del waist  $w_c$  coincide con quella dello specchio piano ( $R_1=\infty$ ) e il suo valore si ricava imponendo nella seconda delle (2.5.3) la condizione  $R_2=R(d)$ . Si ha allora

$$w_c^2 = \left( \frac{\lambda}{\pi} \right) \sqrt{d(R-d)} \quad (2.5.5)$$

Per la cavità realizzata in laboratorio il diametro minimo del fascio è  $2w_c=1.61$  mm.

Alla posizione dello specchio concavo la (2.5.3) dà  $2w(d)=1.77$  mm.

La luce del laser è anch'essa un fascio gaussiano  $TEM_{00}$ . L'ampiezza del suo campo elettrico è dunque descritta da una equazione analoga alla (2.5.4)

$$\left| E_L(x,y,z') \right| = \frac{w_L}{w(z')} \exp \left[ -\frac{x^2 + y^2}{w^2(z')} \right] \quad (2.5.6)$$

dove l'origine dell'asse  $z'$  è nel punto dove  $w(z')=w_L$ . Affinchè tale fascio risuoni all'interno della cavità F.P. occorre modificare i raggi di curvatura dei fronti d'onda in modo che coincidano con i raggi di curvatura degli specchi stessi. In questo modo la propagazione del fascio laser all'interno del F.P. avviene in accordo con il principio di reversibilità ottica e il fascio si dice "adattato" alla cavità stessa. Per fare ciò si può interporre una lente di lunghezza focale  $f$  sul percorso del fascio. Nelle sue vicinanze il raggio di curvatura  $R$  dei fronti d'onda del fascio viene modificato secondo la formula

$$\frac{1}{R'} = \frac{1}{R} - \frac{1}{f} \quad (2.5.6)$$

Scegliendo opportunamente la lunghezza focale  $f$  e le distanze della lente da laser e cavità è possibile, facendo uso per (2.5.3), far in modo che il nuovo waist del fascio coincida in dimensione e posizione con quello della cavità, cioè "adattare" il fascio laser alla cavità.

In pratica, invece di una sola lente, si fa uso di un telescopio composto da due lenti. Indicando con  $d_L$  la distanza tra la prima lente e la posizione del waist  $w_L$  del fascio laser (figura 2.5.3), con  $d_c$  la distanza tra la seconda lente e il waist  $w_c$  della cavità, con  $f_1$  e  $f_2$  le distanze focali delle due lenti e con  $w_i$  il valore del waist del fascio all'interno del telescopio, si possono scrivere le seguenti equazioni (Svelto 1989)

$$d_L = f_1 \pm \frac{w_L}{w_i} \left[ f_1^2 - \left( \frac{\pi w_L w_i}{\lambda} \right)^2 \right]^{\frac{1}{2}}$$

$$d_c = f_2 \pm \frac{w_c}{w_i} \left[ f_2^2 - \left( \frac{\pi w_c w_i}{\lambda} \right)^2 \right]^{\frac{1}{2}} \quad (2.5.7)$$

Uguagliando i valori di  $w_i$  ricavati dalle due espressioni precedenti si ottiene

$$\frac{f_1^2}{f_2^2} = \frac{w_c^2}{w_L^2} \frac{(d_L - f_1)^2 + \pi^2 w_L^4 / \lambda^2}{(d_c - f_2)^2 + \pi^2 w_c^4 / \lambda^2} \quad (2.5.8)$$

che diventa, supponendo  $f_1 \ll d_L$  e  $f_2 \ll d_c$

$$\frac{f_1}{f_2} = \frac{w_c}{w_L} \left( \frac{\lambda^2 d_L^2 + \pi^2 w_L^4}{\lambda^2 d_c^2 + \pi^2 w_c^4} \right)^{\frac{1}{2}} \quad (2.5.9)$$

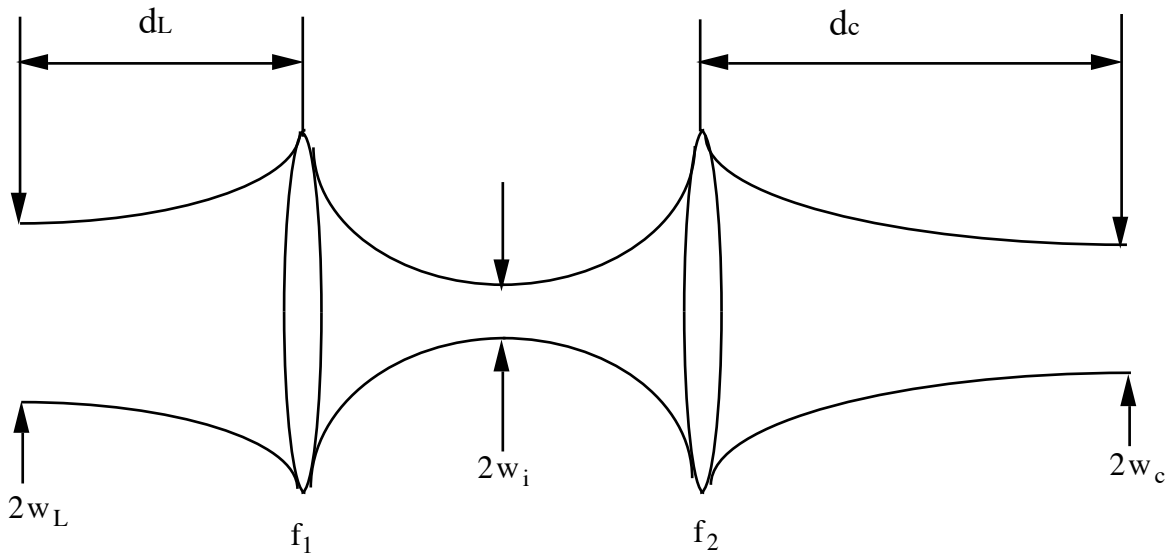


Figura 2.5.3: Propagazione di un fascio gaussiano attraverso un telescopio.

## 2.6. SPECCHI DIELETTRICI MULTISTRATO

Gli specchi della cavità sono dielettrici multistrato ad alta riflettività. Essi sono realizzati evaporando in vuoto alternativamente strati successivi di due materiali dielettrici con indice di rifrazione diversi  $n_1$  e  $n_2$  su un substrato con indice di rifrazione  $n_s$ . Per incidenza normale gli strati hanno spessori  $l_1$  e  $l_2$  tali che valga la condizione

$$n_1 l_1 = n_2 l_2 = \lambda/4$$

dove  $\lambda$  è la lunghezza d'onda della luce nel vuoto. Sovrapponendo un numero dispari  $j$  di strati in modo tale che la successione inizi e termini con lo strato di indice di rifrazione maggiore  $n_1$ , la riflettività per incidenza normale è data dalla relazione (Svelto 1989)

$$R = r^2 = \left( \frac{n_1^{j+1} - n_2^{j-1} n_s}{n_1^{j+1} + n_2^{j-1} n_s} \right)^2 \quad (2.6.1)$$

Per gli specchi utilizzati il substrato sul quale sono depositati gli strati riflettenti di dielettrico è vetro BK7. Il numero di strati e il tipo di materiali dielettrici non sono invece noti.

Nella riflessione su uno specchio dielettrico multistrato un fascio di luce polarizzato linearmente acquista una piccola ellitticità, il cui valore cresce con l'aumentare del numero di riflessioni. In uno specchio dielettrico vi sono due distinti effetti responsabili dell'ellitticità; uno dipende dal quadrato dell'angolo di incidenza (Born 1980), l'altro è intrinseco dello specchio e dipende solo dal punto di incidenza (Carusotto 1989). Nel caso della cavità Fabry-Perot è solo quest'ultimo effetto a contribuire all'ellitticità. Lo specchio si comporta come una lamina birifrangente caratterizzata da un valore dello sfasamento e dalla direzione dell'asse lento. A causa di questa birifrangenza la frequenza di risonanza della luce in una cavità F.P. è diversa a seconda che la direzione di polarizzazione sia parallela o ortogonale all'asse veloce degli specchi. Se la differenza tra le frequenze di risonanza nei due casi è più grande della larghezza di riga  $\Delta\nu_p$  della cavità, il Fabry-Perot si comporta, per la luce presente nella cavità, come un polarimetro. In queste condizioni risulterebbe dunque impossibile effettuare l'esperimento PVLAS, che modifica lo stato di polarizzazione della luce in cavità. Supponiamo, infatti, che sia in risonanza uno dei due stati di polarizzazione. L'effetto di birifrangenza magnetica crea una componente del campo elettrico con polarizzazione ortogonale a

quella iniziale. Non essendo tale componente in risonanza, si perde l'informazione sull'ellitticità dovuta alla birifrangenza magnetica del vuoto. Sia  $\Delta\varphi$  la differenza di fase tra le due componenti della polarizzazione introdotta dalla riflessione sugli specchi della cavità e  $\theta$  l'angolo tra la direzione della polarizzazione lineare del fascio e l'asse l

$$\psi = \frac{2F}{\pi} \frac{\Delta\varphi}{2} \sin 2\theta \quad (2.6.2)$$

dove  $2F/\pi$  è il fattore di amplificazione dell'effetto di birifrangenza dovuto alle riflessioni multiple sugli specchi della cavità (appendice A). Perché i due stati di polarizzazione diano luogo a picchi di trasmissione separati, deve essere

$$\frac{\Delta\varphi}{2\pi} \Delta\nu_{\text{fsr}} = \frac{\psi}{2F} \frac{\Delta\nu_{\text{fsr}}}{\sin 2\theta} > \frac{\Delta\nu_{\text{p}}}{2}$$

cioè

$$\Delta\varphi > \frac{\pi}{F} \quad (2.6.3)$$

# Capitolo 3

## Caratterizzazione della Cavità e stabilizzazione in frequenza

### 3.1 Caratterizzazione sperimentale della cavità

#### 3.1.1 Trasmissività degli specchi

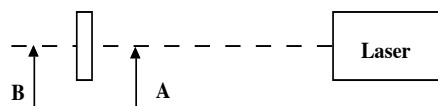


Figura 3.1.1: Schema per la misura della trasmissività degli specchi. L'intensità luminosa è misurata nei punti A e B con il Labmaster E della Coherent.

La cavità F.P. realizzata nel corso del presente lavoro di tesi è costituita da due specchi ( $\varnothing 25$  mm, spessore 10 mm) distanti  $d=0.885\pm 0.005$  m l'uno dall'altro, fissati indipendentemente sul piano di un tavolo ottico. La ditta costruttrice (Laseroptik) fornisce per essi le seguenti caratteristiche :

$$R > 0.9975$$

$$T < 0.5 \cdot 10^{-3}$$

$$P \cong 1.5 \cdot 10^{-3}$$

La misura del coefficiente di trasmissione  $T$  degli specchi è stata effettuata in modo diretto (figura 3.1.1). Il valore misurato per entrambi gli specchi è

$$T = (0.38 \pm 0.01) \cdot 10^{-3}$$

in buon accordo con il valore fornito dalla casa.

Risulta invece impossibile effettuare la misura diretta della riflettività  $R$  degli specchi misurando l'intensità del fascio prima e dopo una riflessione. Sarebbe infatti necessaria una precisione migliore di 0.02%, mentre le sole fluttuazioni dell'intensità del fascio o laser nel corso della misura possono essere dell'ordine dell'unità percentuale. La migliore stima dei valori di  $R$  e  $P$  si ottiene dall'espressione della finesse  $F$ , misurando  $s$

perimentalmente il valore di quest'ultima grandezza. Ciò è stato fatto utilizzando lo schema di figura 3.1.2.

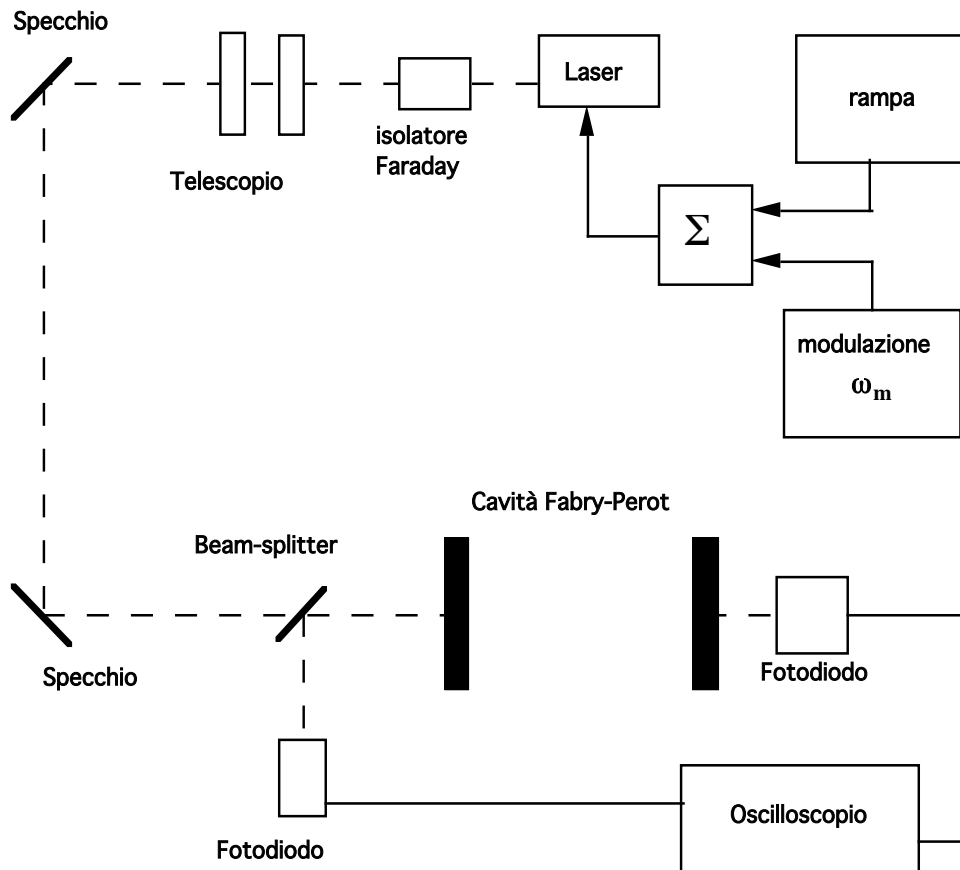


Figura 3.1.2: Schema per la misura dei parametri della cavità F.P. L'isolatore Faraday isola il laser dalla luce riflessa indietro dalla cavità. Si usa l'uscita in continua del fotodiodo in riflessione. Il modulatore  $\omega_m$  è usato solo nella misura della finesse.

### 3.1.2 Misura della finesse

Come si è visto prima la frequenza del laser può essere variata sia manualmente che elettronicamente (paragrafo 2.1). Attraverso il controllo elettronico del piezoelettrico si applica al laser un impulso a dente di sega (rampa) che fa variare la frequenza della luce attorno ad un valore di risonanza selezionato mediante il controllo manuale del termistore. Su un oscilloscopio collegato all'uscita del fotodiodo in trasmissione si ottiene direttamente la curva di Airy (figura 2.4.2), cioè lo spettro delle frequenze trasmesse dal F.P. Un telescopio adatta il fascio laser al modo  $TEM_{00}$  della cavità (paragrafo 2.5). L'intensità residua associata ad altri modi  $TEM_{lm}$  risulta inferiore al 4%. Per effettuare la misura della finesse  $F$  si somma alla rampa una modulazione sinusoidale

ad una frequenza  $\nu_m = \omega_m / 2\pi$  maggiore della larghezza in frequenza del picco di trasmissione della cavità. Il campo elettrico della luce è

$$E(t) = E_0 e^{i(\omega_L t + \beta \sin \omega_m t)} \quad (3.1.1)$$

dove  $\omega_L = 2\pi\nu_L$  è la pulsazione della luce della sorgente e  $\beta$  è l'indice di modulazione.

Usando le funzioni di Bessel e troncando lo sviluppo al primo ordine si ottiene

$$\begin{aligned} E(t) &= E_0 e^{i\omega_L t} [J_0(\beta) + 2i J_1(\beta) \sin \omega_m t] \\ &= E_0 e^{i\omega_L t} [J_0(\beta) + J_1(\beta) (e^{i\omega_m t} - e^{-i\omega_m t})] \end{aligned} \quad (3.1.2)$$

Quindi il campo elettrico all'uscita del laser, oltre alla componente portante a frequenza  $\nu_L$ , presenta due bande laterali alle frequenze  $\nu_L \pm \nu_m$ . Uno spettro in frequenza della luce, osservato con l'oscilloscopio all'uscita del diodo in trasmissione, è mostrato in figura 3.1.3. La distanza  $\Delta t_m$  fra i picchi corrispondenti alle due bande laterali serve a calibrare in frequenza la base dei tempi dell'oscilloscopio. La larghezza in frequenza a metà altezza (FWHM)  $\Delta \nu_p$  del picco centrale si ottiene come

$$\Delta \nu_p = \frac{2\nu_m}{\Delta t_m} \Delta t_p \quad (3.1.3)$$

dove  $\Delta t_p$  è la sua larghezza in tempo del picco di trasmissione. La finesse si calcola quindi dalla (2.4.25) con  $\Delta \nu_{\text{FSR}}$  dato dalla (2.4.28) ( $\Delta \nu_{\text{FSR}} = 169$  MHz).

Figura 3.1.3: Intensità trasmessa dalla cavità F.P. Velocità di rampa 350 MHz/s. Le bande laterali sono dovute ad una modulazione della fase del laser a frequenza  $\nu_m = 717.7$  kHz, di ampiezza  $\beta \approx 1.1$ .

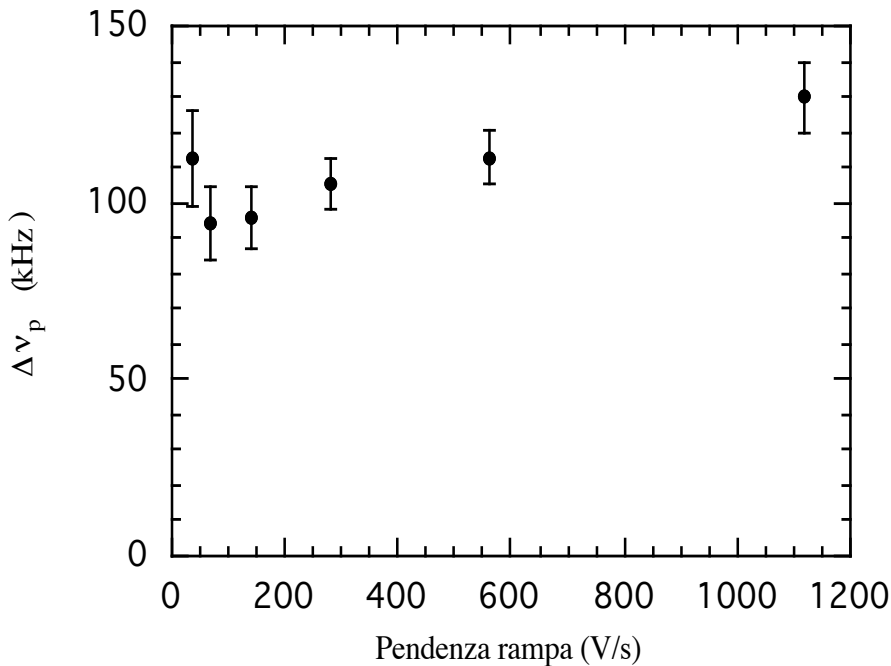


Figura 3.1.4: Andamento di  $\Delta\nu_p$  in funzione della pendenza della rampa applicata al piezoelettrico del laser.

Il grafico di figura 3.1.4 mostra l'andamento del valore di  $\Delta\nu_p$  misurato al variare della pendenza della rampa. Il valore di  $\Delta\nu_p$  è alto per bassi valori della pendenza, quindi diminuisce e torna ad aumentare al crescere della pendenza. Tale andamento si spiega considerando il fatto che quando la rampa è lenta la frequenza del laser attraversa la risonanza della cavità in un tempo più lungo del tempo di caricamento  $\tau$  della stessa (alcuni microsecondi). Le vibrazioni meccaniche, allora, alterano le condizioni di risonanza della cavità mentre il laser passa per le frequenze di risonanza stesse. Ciò causa uno spostamento della frequenza di risonanza, cui corrisponde il valore di picco della curva di Airy e, di conseguenza, un allargamento (fittizio) dello spettro di trasmissione del F.P. Con pendenze della rampa troppo alte la frequenza del laser passa attraverso la risonanza della cavità così velocemente da impedirne il completo caricamento. Questo porta a una distorsione del picco che causa, di nuovo, un'aumento di  $\Delta\nu_p$ . Dal grafico di figura 3.1.4 si deduce dunque il valore da utilizzare nelle misure. Il valore di  $\Delta\nu_p$ , misurato a 70 V/s, è

$$\Delta\nu_p = 93 \pm 9 \text{ kHz} \quad (3.1.4)$$

Considerando la (3.1.3), l'errore su  $\Delta\nu_p$  è dato dalla propagazione gaussiana delle dispersioni di  $\Delta t_p$  e  $\Delta t_m$  ottenute in una serie di venti misure

$$\delta\Delta v_p = \sqrt{\left(\frac{\partial\Delta v_p}{\partial\Delta t_p}\delta\Delta t_p\right)^2 + \left(\frac{\partial\Delta v_p}{\partial\Delta t_m}\delta\Delta t_m\right)^2} = \Delta v_p \sqrt{\left(\frac{\delta\Delta t_p}{\Delta t_p}\right)^2 + \left(\frac{\delta\Delta t_m}{\Delta t_m}\right)^2}$$

Al valore di  $\Delta v_p$  dato dalla (3.1.4) corrisponde una finesse

$$F = 1800 \pm 200$$

L'errore sulla finesse  $F$  è stato calcolato trascurando l'errore su  $\Delta v_{fsr}$ :

$$\delta F = \left| \frac{\partial F}{\partial \Delta v_p} \right| \delta \Delta v_p = F \frac{\delta \Delta v_p}{\Delta v_p}$$

### 3.1.3 Misura di $H_t(0)$ e $H_r(0)$

Per misurare  $H_t(0)$  e  $H_r(0)$  non viene utilizzata la modulazione  $\Omega_m$ . Sul fotodiodo in trasmissione si ottiene la curva di Airy (figura 3.1.5), il cui valore di picco rappresenta l'intensità della luce trasmessa dalla cavità alla risonanza. Il rapporto fra questa intensità e quella della luce che entra nella cavità fornisce direttamente il valore di  $H_t(0)$ . Per la riflessione il discorso è analogo; in questo caso bisogna considerare lo spettro di frequenza in riflessione (figura 3.1.6). Esso mostra un picco negativo in coincidenza con le condizioni di risonanza. In questo caso la luce riflessa arriva al fotodiodo per mezzo di un beam-splitter (una lastrina di vetro BK7 orientata a  $45^\circ$  rispetto al fascio) avente un coefficiente di riflettività (totale) pari al 7%.

L'intensità  $I_{in}$ , misurata immediatamente prima del primo specchio della cavità e corretta per il coefficiente di accoppiamento al modo  $TEM_{00}$  (96%), è

$$I_{in} = 41 \pm 2 \text{ mW}$$

I valori misurati di  $H_t(0)$  e  $H_r(0)$  sono

$$H_t(0) = 0.049 \pm 0.007$$

$$H_r(0) = 0.63 \pm 0.04$$

dove gli errori sono calcolati come

$$\delta H_{r,t}(0) = H_{r,t}(0) \sqrt{\left(\frac{\delta I_{r,t}(0)}{I_{r,t}(0)}\right)^2 + \left(\frac{\delta I_{in}}{I_{in}}\right)^2}$$

Nel calcolo dell'errore su  $H_t(0)$  e  $H_r(0)$  si sono trascurati gli errori sui fattori di risposta  $\alpha$  dei fotodiodi (vedi paragrafo 2.3).

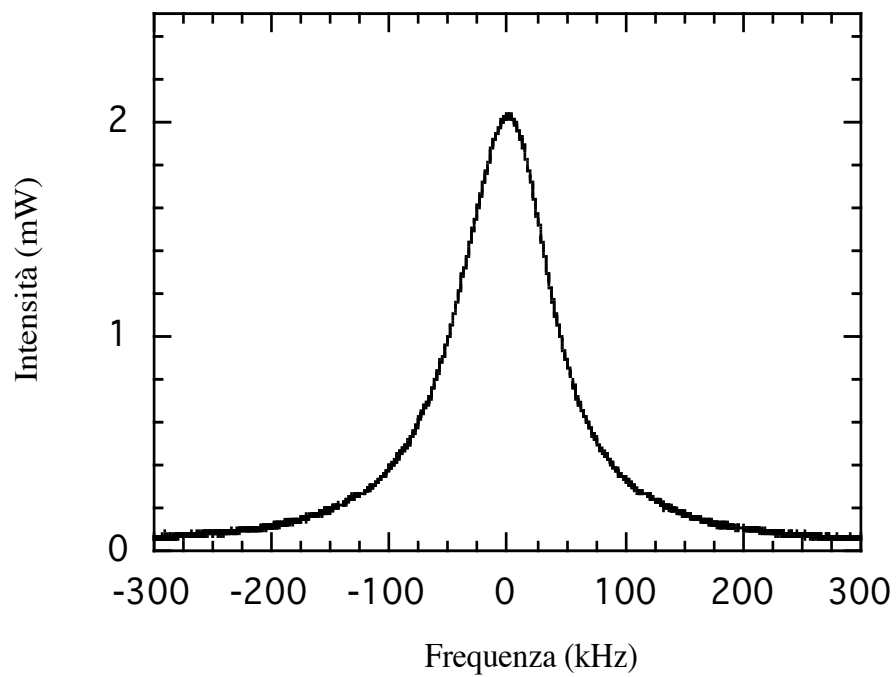


Figura 3.1.5: Misura sperimentale dell'intensità di luce trasmessa (funzione di Airy).  $I_{in}=41$  mW. Velocità di rampa 350 MHz/s.

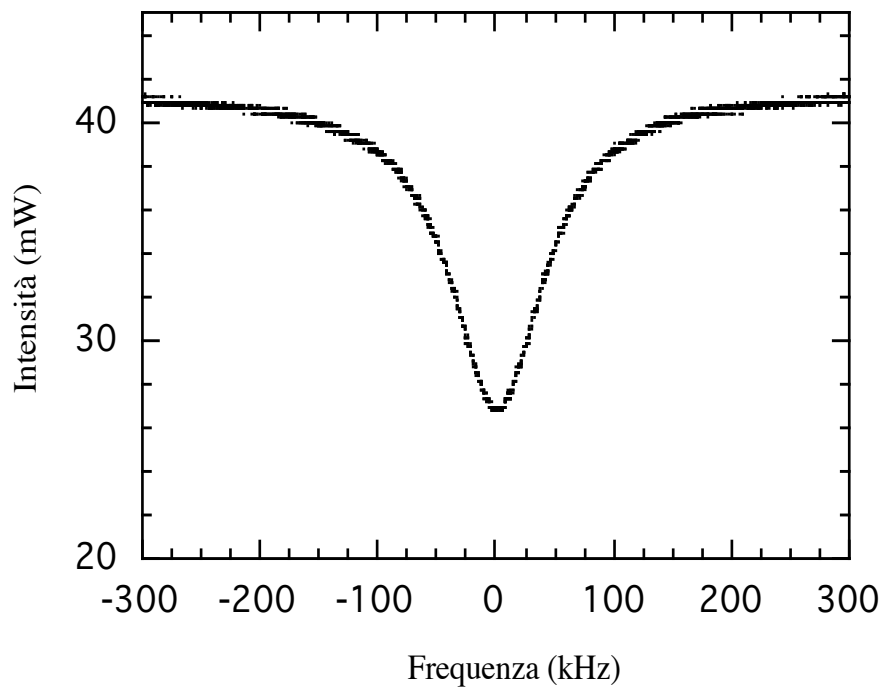


Figura 3.1.6: Misura sperimentale dell'intensità di luce riflessa.  $I_{in}=41$  mW. Velocità di rampa a 350 MHz/s.

### 3.1.4 Parametri della cavità

$\Delta\nu_{fsr}$	169 MHz
$\Delta\nu_p$	$93 \pm 9$ kHz
F	$1800 \pm 200$
R	$0.99826 \pm 0.00022$
T	$(0.38 \pm 0.01) \cdot 10^{-3}$
P	$(1.36 \pm 0.02) \cdot 10^{-3}$
$[H_t(0)]_{misurato}$	$0.049 \pm 0.007$
$[H_t(0)]_{calcolato}$	$0.048 \pm 0.011$
$[H_r(0)]_{misurato}$	$0.63 \pm 0.04$
$[H_r(0)]_{calcolato}$	$0.61 \pm 0.20$

Tabella 3.1.1: Valori dei parametri che caratterizzano la cavità.

Conoscendo il valore della finesse F, dalla (2.4.29) si può ricavare un valore per la riflettività degli specchi R. Si ottiene

$$R = 0.99826 \pm 0.00022$$

e da questo, tramite la (2.4.30), un valore per P:

$$P = (1.36 \pm 0.02) \cdot 10^{-3}$$

I valori di R e T sono stati ottenuti da due misure indipendenti. Sostituiamo, quindi, tali valori nelle formule (2.4.33), e confrontiamo i valori di  $H_t(0)$  e  $H_r(0)$  così ottenuti con quelli misurati:

$$[H_t(0)]_{calcolato} = 0.048 \pm 0.011$$

$$[H_r(0)]_{calcolato} = 0.61 \pm 0.20$$

Come si vede essi sono in buon accordo con quelli misurati direttamente in laboratorio.

Nella tabella 3.1.1 sono riassunti i valori dei parametri della cavità

## 3.2 STABILIZZAZIONE IN FREQUENZA DI POUND E DREVER

Per effettuare misure di ellissometria sfruttando la moltiplicazione dell'effetto di birifrangenza in una cavità F.P. occorre fare in modo che la frequenza  $\nu_L$  della luce che entra nella cavità coincida con una delle frequenze  $\nu_c$  per le quali la cavità trasmette e che tale valore rimanga costante per il tempo necessario ad effettuare la misura. In altre parole occorre che sia mantenuta stabile la condizione di risonanza per la luce, in un equilibrio dinamico che contrasti le derive termiche della frequenza del laser, della posizione degli specchi, oltrechè le vibrazioni meccaniche degli stessi. Si tratta quindi di eseguire un "agganciamento in frequenza" fra la sorgente luminosa e la cavità. Ciò può essere realizzato o spostando in tempo reale gli specchi della cavità facendo uso di un attuatore piezoelettrico oppure modificando la frequenza del laser. Come si è visto nel paragrafo 2.1 il laser utilizzato dispone di due attuatori che permettono di modificare la frequenza senza dover costruire un sistema elettro-meccanico (per il controllo della posizione degli specchi della cavità) o elettro-ottico (per modificare la frequenza del laser mediante una cella di Pockels esterna al laser (Shoemaker 1989)). A differenza di entrambi questi sistemi gli attuatori del laser non richiedono l'uso di alte tensioni. Stabilizzare la frequenza del laser equivale a pensare la frequenza di risonanza della cavità  $\nu_c$  come un riferimento al quale asservire la frequenza  $\nu_L$ .

### 3.2.1 Segnale di correzione

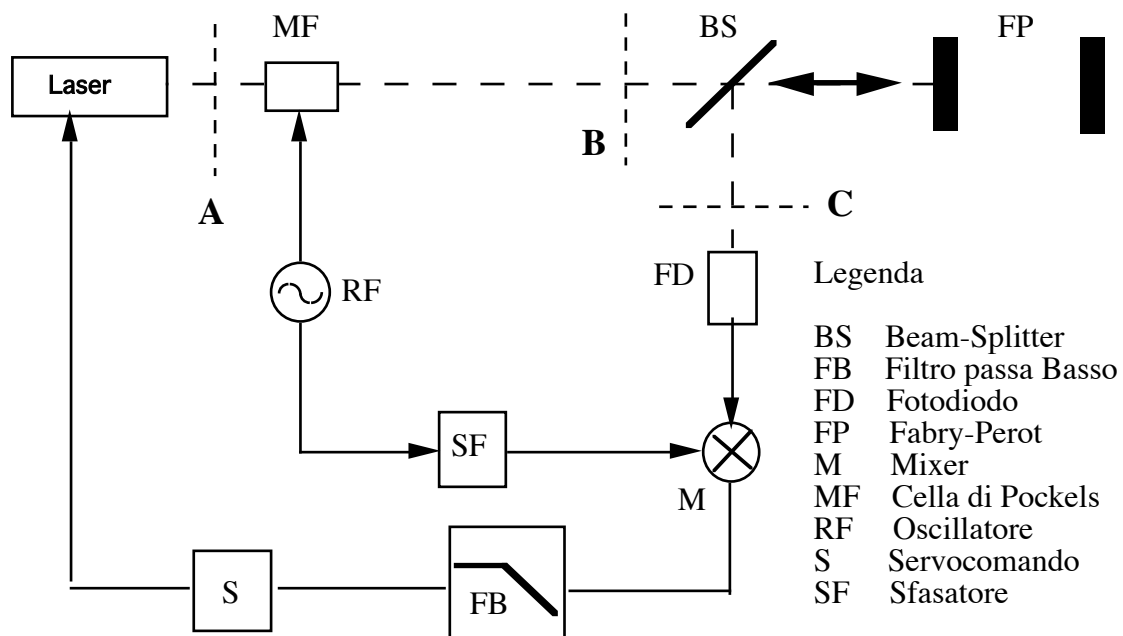


Figura 3.2.1: Schema di principio dell'aggancio di Pound e Drever.

Nella tecnica di aggancio di Pound e Drever (Pound 1983) si modula la fase della radiazione del laser ad una frequenza  $\nu_m$  compresa fra la larghezza di riga  $\Delta\nu_p$  e il free spectral range  $\Delta\nu_{fsr}$  della cavità:

$$\Delta\nu_{fsr} \gg \nu_m \gg \Delta\nu_p \quad (3.2.1)$$

L'aggancio viene realizzato utilizzando il segnale riflesso dalla cavità Fabry-Perot. Lo schema di principio del sistema di aggancio è dato in figura 3.2.1. Con riferimento a questa figura analizziamo il campo elettrico dell'onda luminosa (supposta piana) in corrispondenza delle sezioni A, B e C. Nella sezione A il campo elettrico è

$$E_A(t) = E_0 e^{i\omega_L t} \quad (3.2.2)$$

Il campo elettrico dopo il modulatore di fase MF (cella di Pockels), cioè alla sezione B, è

$$\begin{aligned} E_B(t) &= E_0 e^{i(\omega_L t + \beta \sin \omega_m t)} \\ &= E_0 e^{i\omega_L t} [J_0(\beta) + J_1(\beta) (e^{i\omega_m t} - e^{-i\omega_m t})] \end{aligned} \quad (3.2.3)$$

Il prodotto  $J_0 \cdot J_1$  ha un massimo per  $\beta \approx 1.1$ :  $J_0(1.1) = 0.72$ ,  $J_1(1.1) = 0.47$ . Per scrivere il campo elettrico nella sezione C bisogna tener conto del fatto che il fascio luminoso ha attraversato due volte il beam-splitter e che esso subisce la riflessione da parte della cavità F.P. Per le ampiezze dei campi incidente e riflesso e per il loro sfasamento vale (paragrafo 2.4)

$$h_r(\varepsilon) = \frac{E_r}{E_{in}} = - \left( \frac{(1 + R - RP) - (1 + R - P) \cos \varepsilon - i (1 - R - P) \operatorname{sene} \varepsilon}{1 + R^2 - 2R \cos \varepsilon} \right) \sqrt{R} \quad (3.2.4)$$

$$\operatorname{tg} \varphi_r = - \frac{(1 - R - P) \operatorname{sene} \varepsilon}{(1 + R - RP) - (1 + R - P) \cos \varepsilon} \quad (3.2.5)$$

dove  $\varepsilon = \delta - \delta_{\max} = 4\pi d(\nu - \nu_c)/c = 4\pi d \Delta\nu/c$ . Nella figura 3.2.2 è graficato lo sfasamento  $\varphi_r$  in funzione della differenza di frequenza  $\Delta\nu = \varepsilon \Delta\nu_{fsr}/2\pi$ , calcolato per i valori dei parametri della cavità costruita in laboratorio. Si vede che lo sfasamento dipende linearmente dalla differenza di frequenza  $\Delta\nu$  in vicinanza del punto di massima risonanza, per il quale  $\nu = \nu_c$ . Il sistema di Pound e Drever realizza l'aggancio fra cavità e laser mantenendo la cavità vicino alle condizioni di massima trasmissione. Considerando le figure 3.1.6 e 3.2.2 facile convincersi che per  $\varepsilon \ll 1$ , cioè  $\nu_L \approx \nu_c$ , le componenti del segnale di pulsazione  $\omega_{L \pm \omega_m}$  vengono riflesse dal F.P. con fasi  $\pm \varphi_m$  e senza subire diminuzione di intensità. Per la componente portante, si ha

$$h_r(\omega_L) \approx h_r(0) = -\frac{P\sqrt{R}}{1-R} = -\frac{P}{\pi} = -0.78 \quad (3.2.6)$$

$$\text{tg } \varphi_r \approx \varphi_r \approx -\frac{(1-R-P)\varepsilon}{(1-R)P} \approx -\frac{T}{\pi} \frac{F}{P} \varepsilon \equiv k \Delta v = -6 \cdot 10^{-6} \Delta v \text{ (Hz)} \quad (3.2.7)$$

Scriviamo ora il campo elettrico della luce riflessa dal F.P. in corrispondenza della sezione C, in vicinanza delle condizioni di risonanza:

$$E_C(t) = E_0 (1-\gamma) \sqrt{\gamma} e^{i\omega_L t} [J_0(\beta) h_r(0) e^{i\varphi_r} + i 2J_1(\beta) \text{sen}(\omega_m t + \varphi_m)] \quad (3.2.8)$$

Dove si è indicato con  $\gamma \approx 3.5\%$  la riflettività di ciascuna faccia del beam-splitter. Il segnale in tensione generato dal fotodiodo è proporzionale a  $|E_C|^2$ .

$$\begin{aligned} |E_C|^2 = E_0^2 (1-\gamma)^2 \gamma [ & J_0^2(\beta) H_r(0) + 4J_1^2(\beta) \text{sen}^2(\omega_m t + \varphi_m) + \\ & - i 2J_0(\beta) J_1(\beta) h_r(0) \text{sen}(\omega_m t + \varphi_m) (e^{i\varphi_r} - e^{-i\varphi_r}) ] \end{aligned} \quad (3.2.9)$$

Tenendo conto che il circuito del fotodiodo si comporta come un filtro passa alto che taglia la componente continua del segnale prima di entrare nel mixer, il segnale in tensione dal fotodiodo è

$$\begin{aligned} V_{FD}(t) = I_0 (1-\gamma)^2 \gamma [ & 2J_1^2(\beta) \alpha(2\omega_m) \text{sen}(2\omega_m t + 2\varphi_m) + \\ & + 4J_0(\beta) J_1(\beta) \alpha(\omega_m) h_r(0) \text{sen}(\omega_m t + \varphi_m) \text{sen}\varphi_r ] \end{aligned} \quad (3.2.10)$$

dove  $I_0$  è l'intensità del fascio laser nel punto B e  $\alpha(\omega)$  è l'efficienza del sistema di rivelazione espressa in Volt/Watt (a  $\nu_m = 717.7$  kHz  $\alpha = \alpha_r \approx 1.95 \cdot 10^4$  V/W) (paragrafo 2.3). L'uscita  $V_M$  del mixer è il prodotto della tensione di ingresso con un segnale di riferimento a frequenza  $\nu_m$  (opportunamente sfasato di una quantità  $\vartheta$  dallo sfasatore SF):

$$V_M(t) = \chi V_{FD}(t) \text{sen}(\omega_m t + \vartheta) \quad (3.2.11)$$

dove  $\chi (\approx 0.5)$  è l'efficienza del mixer. Nel segnale che esce dal mixer sono allora presenti, oltre ad una tensione continua, componenti alla frequenza di modulazione  $\nu_m$  e delle sue prime armoniche. All'uscita del filtro passa basso FB si trova la sola componente continua:

$$V_{FB} = 2I_0 (1 - \gamma)^2 \gamma h_r(0) \chi \alpha_r J_0(\beta) J_1(\beta) \sin \varphi_r \quad (3.2.12)$$

dove si è posto  $\vartheta = \varphi_m$  per rendere massimo il segnale. Vicino alla risonanza si ha  $\varphi_r \approx 0$ , quindi

$$\begin{aligned} V_{FB} &\approx 2I_0 (1 - \gamma)^2 \gamma h_r(0) \chi \alpha_r J_0(\beta) J_1(\beta) \varphi_r \\ &\approx 2I_0 (1 - \gamma)^2 \gamma h_r(0) \chi \alpha_r J_0(\beta) J_1(\beta) k (\nu_c - \nu_L) \end{aligned} \quad (3.2.13)$$

Questo segnale, proporzionale alla differenza  $\nu_L - \nu_c$ , costituisce un segnale di errore che può essere utilizzato per il controllo della frequenza del laser. La sua pendenza  $D_0$ , misurata in Volt/Hertz, costituisce un parametro importante del circuito di aggancio. La pendenza calcolata dalla (3.2.13) per  $I_0 = 41$  mW e  $\beta = 1.1$  è  $D_0 = 4.1 \cdot 10^{-5}$  V/Hz in ottimo accordo con il valore misurato dal segnale d'errore mostrato in figura 3.2.3.

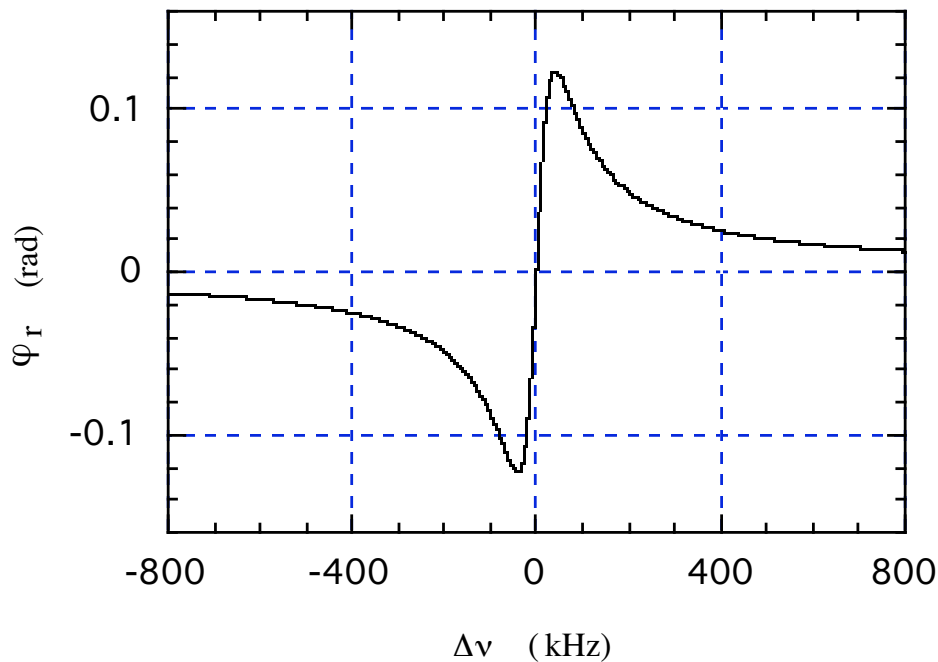


Figura 3.2.2: Grafico dello sfasamento del campo elettrico riflesso da una cavità F.P. in funzione della differenza di frequenza (equazione (3.2.5)). I valori dei parametri R, P e  $\Delta \nu_{fsr}$  corrispondono a quelli della cavità realizzata in laboratorio.

Figura 3.2.3: Andamento del segnale d'errore in funzione della differenza di frequenza tra laser e cavità, osservato con l'oscilloscopio all'uscita del filtro FB.  $I_0=41$  mW,  $\beta=1.1$ . Velocità di rampa 350 MHz/s. La scala orizzontale è 1 ms/divisione. La scala verticale è 1 V/divisione. La pendenza misurata è  $D_0 \approx 4.1 \cdot 10^{-5}$  V/Hz.

### 3.2.2 Modulazione di fase

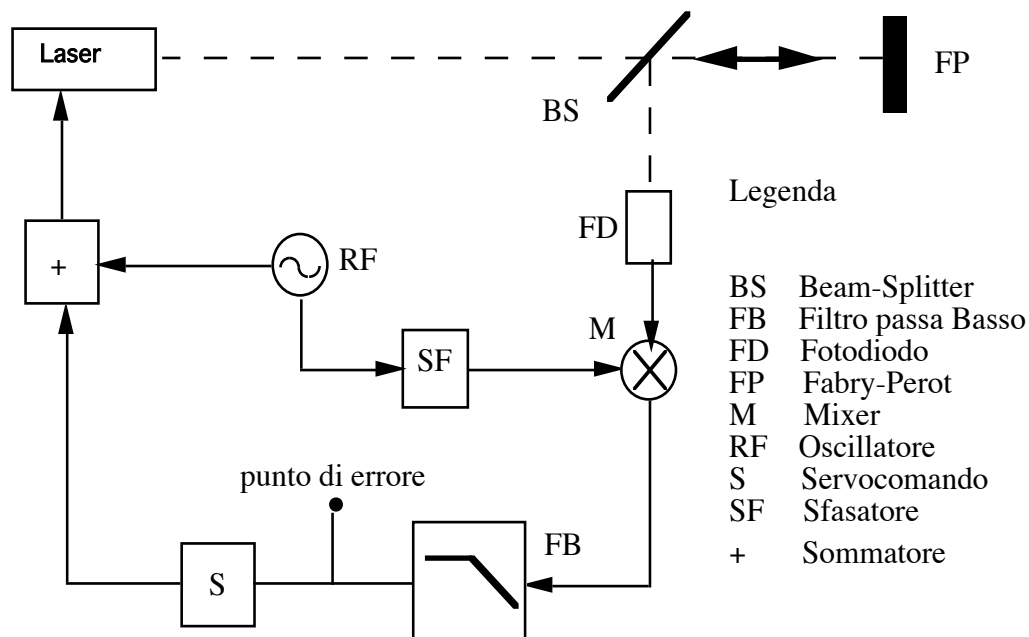


Figura 3.2.4: Schema dell'aggancio realizzato in laboratorio.

Per quanto riguarda la frequenza di modulazione sarebbe conveniente utilizzare un valore di  $\nu_m$  abbastanza alto tale che il rumore in ampiezza del laser, il cui spettro di potenza ha un andamento del tipo  $1/f$ , sia, alla frequenza  $\nu_m$ , sufficientemente basso e vicino al limite del rumore shot. In questo modo sarebbe minimo il rumore nel segnale di correzione legato alle fluttuazioni di intensità della luce. Tipicamente, il valore di

$\nu_m$  usato nei sistemi di aggancio che fanno uso di laser Nd:YAG con potenza delle decine di milliwatt è dell'ordine di  $\nu_m \approx 10$  MHz o più alto (Pound 1983). Per modulare la fase il sistema di Pound e Drever utilizza una cella di Pockels (figura 3.2.1). Così configurato il sistema presenta però due grossi inconvenienti: l'uso di frequenze così alte comporta notevoli problemi riguardo alla componentistica del circuito di amplificazione. Ad esempio, l'amplificazione  $\times 10$  all'uscita del fotodiodo richiederebbe, per  $\nu_m = 10$  MHz, un amplificatore operazionale con un prodotto banda-guadagno di 100 MHz. In più, le celle di Pockels, se non perfettamente allineate, introducono, oltre alla modulazione di fase, una modulazione di ampiezza residua (RAM). In laboratorio si è osservato che l'allineamento di una cella di Pockels presenta una rapida deriva termica che porta in pochi minuti la modulazione di ampiezza residua a valori più alti di -80 dB. Nel corso del presente lavoro di tesi si è studiato e messo a punto un diverso sistema di modulazione della fase della luce laser, che fa uso direttamente dell'attuatore piezoelettrico del laser per generare le bande laterali. Si è cioè sommato al segnale di correzione della frequenza applicato all'attuatore piezoelettrico del laser un segnale a frequenza  $\nu_m$ . In queste condizioni la pulsazione della luce del laser può essere scritta come

$$\omega(t) = \omega_L + B \cos \omega_m t \quad (3.2.14)$$

Poiché la fase dell'onda elettromagnetica è definita come

$$\Phi(t) = \int \omega(t) dt \quad (3.2.15)$$

si ottiene

$$\Phi(t) = \omega_L t + \beta \sin \omega_m t \quad (3.2.16)$$

dove  $\beta = B/\omega_m$  rappresenta l'indice di modulazione definito sopra. Quindi il campo elettrico della luce laser è

$$E(t) = E_0 e^{i(\omega_L t + \beta \sin \omega_m t)} \quad (3.2.17)$$

che è identica all'equazione (3.2.3). In altre parole una modulazione della frequenza del laser si traduce in una modulazione della fase, con effetto identico a quello ottenuto con una cella di Pockels esterna. Lo schema del circuito di aggancio utilizzato risulta allora come da figura 3.2.4. Tale schema di modulazione è stato realizzato per la prima volta durante lo svolgimento del presente lavoro di tesi.

Venendo alla scelta della frequenza di modulazione, essa è limitata dalla condizione espressa dalla Eq.(3.2.1). Al di sopra di 100 kHz l'attuatore piezoelettrico del laser non è lineare, ma può ancora essere usato per la modulazione di fase ad una frequenza fissa che non coincida con una delle risonanze del cristallo piezoelettrico. In figura 3.2.5 è riportata la misura sperimentale della RAM indotta dalla modulazione di fase del piezoelettrico del laser in funzione della frequenza di modulazione. Si vede che la modulazione di ampiezza residua ha dei minimi locali in corrispondenza di alcune frequenze. Il criterio usato per la scelta della frequenza di modulazione è stato quello di avere minima RAM per un dato indice di modulazione  $\beta=B/\omega_m$ . Nella tabella 3.2.1 sono riportati i valori di  $\beta$  e della RAM misurati a diverse frequenze. Le frequenze segnate con un asterisco corrispondono a dei minimi locali. Si è scelta la frequenza di modulazione  $\nu_m=717.7$  kHz. Per questo valore il rapporto  $RAM/\beta$  risulta molto piccolo ( $<4 \cdot 10^{-5}$ ), e costante in funzione di  $\beta$ . In diversi mesi di operazione non si è osservata nessuna variazione nel comportamento del cristallo piezoelettrico per quanto riguarda le posizioni in frequenza dei minimi e il valore dei rapporti  $RAM/\beta$ .

Figura 3.2.5: Modulazione di ampiezza residua (RAM) al variare della frequenza di modulazione di fase per una tensione sul piezoelettrico del laser di ampiezza 50 mV.

$\omega_m/2\pi$ (kHz)	$V_{pp}/\beta$ (mV)	$RAM/V_{pp}$ (mV <sup>-1</sup> )	$RAM/\beta$
537.6*	109	$3.0 \cdot 10^{-7}$	$3.3 \cdot 10^{-5}$
600	161	$4.6 \cdot 10^{-7}$	$7.3 \cdot 10^{-5}$

630	61	$1.6 \cdot 10^{-7}$	$9.5 \cdot 10^{-5}$
717.7*	62	$6.0 \cdot 10^{-7}$	$3.7 \cdot 10^{-5}$
870	79	$5.4 \cdot 10^{-7}$	$4.3 \cdot 10^{-4}$

Tabella 3.2.1: RAM e  $\beta$  al variare della frequenza e della tensione applicata al trasduttore piezoelettrico del laser. Gli asterischi indicano i minimi locali della RAM.

### 3.3 STUDIO DEL CIRCUITO DI RETROAZIONE

Nel paragrafo precedente si è dimostrato che la tensione  $V_{FB}$ , proporzionale alla differenza tra la frequenza del laser  $\nu_L$  e quella della cavità  $\nu_c$  (equazione (3.2.13)), può essere usata come segnale di controllo della frequenza del laser. In questo paragrafo si presentano i risultati di uno studio del circuito di retroazione che mantiene il valore della frequenza del laser coincidente con quello di risonanza della cavità. Il problema dell'agganciamento in frequenza può essere trattato come un problema della teoria del controllo dei sistemi lineari. In figura 3.3.1 è rappresentato uno schema di principio del sistema di aggancio.

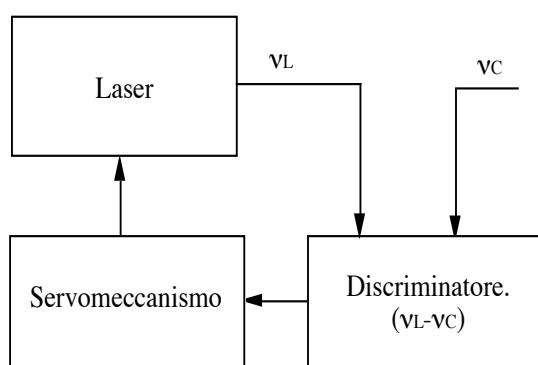


Figura 3.3.1: Schema logico dell'aggancio in frequenza fra laser e cavità.

L'asservimento del laser alla cavità F.P. si ottiene rendendo minima la quantità

$$|\nu_L - \nu_c|$$

Il segnale d'errore, la cui espressione si è ricavata sopra, viene prima amplificato e integrato e poi mandato agli attuatori del laser in modo da correggerne la frequenza fino a farla coincidere con quella della cavità. In corrispondenza di tale condizione il segnale d'errore si annulla e con esso la correzione portata alla frequenza del laser.

### 3.3.1 Generalità

Secondo la teoria del controllo dei sistemi lineari, il circuito di retroazione (figura 3.2 .4) può essere schematizzato, per ciascuna componente di Fourier della fluttuazione della frequenza del laser, come in figura 3.3.2.

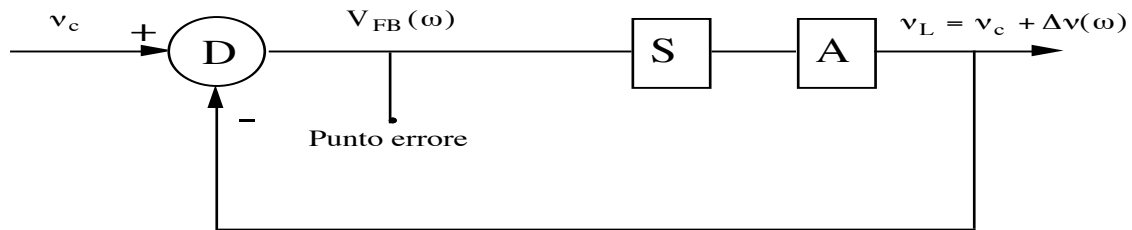


Figura 3.3.2: Schema del circuito di controllo.  $\Delta v(\omega)$  rappresenta l'ampiezza della componente di Fourier della fluttuazione della frequenza del laser alla frequenza  $f=\omega/2\pi$ .

In essa D rappresenta il circuito discriminatore (beam splitter+cavità+fotodiodo+ mixer+filtro passa basso) che genera il segnale d'errore. S è il servocomando (circuito elettronico di amplificazione e integrazione). A è l'insieme del laser e degli attuatori piezoelettrico e termico. Esso trasforma le differenze di tensione in differenze di frequenza, con coefficienti misurati in Hertz/Volt. Ciascun blocco è caratterizzato dal rapporto fra il segnale d'uscita e quello di ingresso. Tali rapporti, considerati come funzioni della generica pulsazione  $\omega=2\pi f$ , rappresentano le funzioni di trasferimento di ciascun blocco. Nel seguito esse saranno indicate con  $D(\omega)$ ,  $S(\omega)$  e  $A(\omega)$ . Si può calcolare la funzione di trasferimento complessiva a circuito aperto  $G_{loop}(\omega)$  (Bower 1958) aprendo il circuito di aggancio in un punto P ponendo  $v_c=0$  (figura 3.3.3). Essa si può scrivere come

$$G_{loop} = \frac{X_1}{X_0} \times \frac{X_2}{X_1} \times \frac{X_3}{X_2} = -D(\omega) \cdot S(\omega) \cdot A(\omega) \quad (3.3.1)$$

dove  $X_0$  rappresenta un segnale di entrata alla frequenza  $f$ , e  $X_3$  quello di uscita. Il  $G_{loop}$  è cioè il prodotto delle funzioni di trasferimento degli elementi del circuito di retroazione.

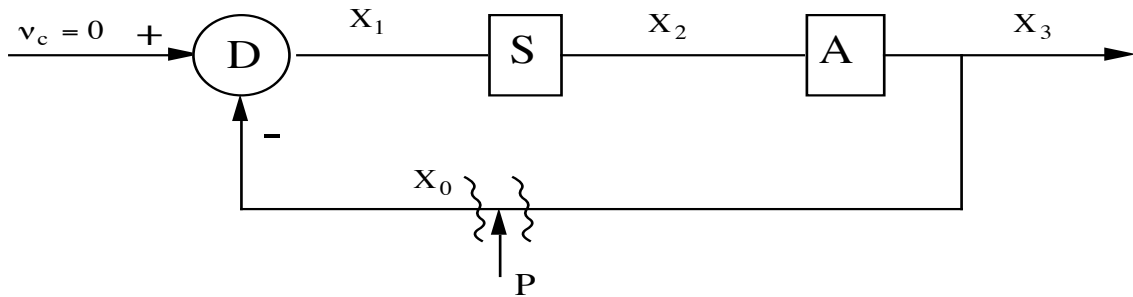


Figura 3.3.3: Schema del circuito di controllo. Il circuito viene idealmente aperto nel punto P per calcolare la funzione  $G_{loop}$ .

La funzione di trasferimento a circuito chiuso (figura 3.3.2) è

$$\frac{v_L}{v_c} = \frac{v_c + \Delta v(\omega)}{v_c} = \frac{G_{loop}(\omega)}{G_{loop}(\omega) - 1} \quad (3.3.2)$$

Come si vede, per tutti i valori di  $\omega$  per i quali  $G_{loop}$  è grande, cioè per tutti i valori di  $\omega$  per i quali si hanno alti guadagni a circuito aperto, si ottiene  $v_c \approx v_L$ . In questa condizione infatti è piccola la differenza  $v_L - v_c$ , come si può vedere anche dall'espressione di  $V_{FB}$ :

$$\frac{V_{FB}(\omega)}{D(\omega)} = \Delta v(\omega) = \frac{v_c}{G_{loop}(\omega) - 1} \quad (3.3.3)$$

Una caratteristica fondamentale del circuito di agganciamento è la sua stabilità a circuito chiuso. Per i sistemi di controllo in cui  $G_{loop}$  non ha poli o zeri nel semipiano alla destra dell'asse immaginario delle frequenze (escluso l'asse immaginario stesso), la stabilità è garantita quando in corrispondenza della frequenza per la quale si ha guadagno unitario, cioè  $|G_{loop}|=1$ , la fase della funzione di trasferimento a circuito aperto è maggiore di  $180^\circ$  (Bower 1958).

### 3.3.2 Funzione di trasferimento a circuito aperto ( $G_{loop}$ )

Deriviamo ora la funzione di trasferimento del circuito di agganciamento e mostriamo che essa soddisfa alle condizioni di stabilità richieste. Per ottenerla è sufficiente definire le funzioni di trasferimento di ciascuno degli elementi che lo compongono (equazione (3.3.1)).

#### - Attuatori e laser (blocco A)

Come si è visto nel paragrafo 2.1, il laser ha due sistemi indipendenti di controllo della frequenza della luce. Il sistema di controllo che utilizza l'attuatore piezoelettrico ha una risposta lineare fino a una frequenza di 100 kHz. Secondo le specifiche della casa costruttrice, l'attuatore piezoelettrico può essere schematizzato come un circuito RC avente frequenza di taglio  $f_p=100$  kHz, cioè costante di tempo  $\tau_p=1/2\pi f_p$ . La funzione di trasferimento di tale attuatore è allora

$$A_p(\omega) = \frac{K_p}{1 + i\omega\tau_p} \quad (3.3.4)$$

Il sistema che usa come attuatore il termistore ha risposta lineare fino alla frequenza di 1 Hz. Al di sopra di 1 Hz la risposta del termistore segue un andamento che non è specificato nelle caratteristiche fornite dalla casa costruttrice, ma che è certamente del tipo  $(1/f)^n$ . Nel seguito ipotizzeremo che anche questo attuatore si comporti come un circuito elettronico RC avente frequenza di taglio  $f_t=1$  Hz, cioè costante di tempo  $\tau_t=1/2\pi f_t$ . Quindi scriveremo la funzione di trasferimento di tale attuatore come

$$A_t(\omega) = \frac{K_t}{1 + i\omega\tau_t} \quad (3.3.5)$$

Al di sopra di  $f=100$  kHz il cristallo Nd:YAG presenta una serie di risonanze meccaniche che impongono di fissare questo come limite superiore alla banda passante del circuito di agganciamento.

### - Discriminatore D

Il sistema di discriminazione è costituito dal beam-splitter, dalla cavità, dal fotodiodo con il suo circuito di amplificazione (che comprende il filtro passa alto) (paragrafo 2.3), dal mixer e dal filtro passa basso. Lo schema di principio del circuito usato in laboratorio è mostrato nella figura 3.2.4. La funzione di trasferimento complessiva del discriminatore è il prodotto delle funzioni di trasferimento dei singoli elementi che lo compongono. Il discriminatore converte la differenza in frequenza tra  $\nu_L$  e  $\nu_C$  in una tensione (segnale d'errore); esso è allora un convertitore frequenza-tensione caratterizzato da un coefficiente  $D(\omega)$  misurato in Volt/Hertz. Per quanto riguarda il circuito del fotodiodo, l'informazione a cui si è interessati corrisponde all'ampiezza della componente a frequenza  $\omega_m$  dell'intensità luminosa. La funzione di trasferimento di questo elemento del circuito di aggancio è dunque una costante (paragrafo 2.3). Il mixer ha una risposta in frequenza costante fino alla frequenza di 500 MHz. Il filtro passa basso posto all'uscita del mixer ha una frequenza di taglio di 150 kHz, cioè costante di tempo  $\tau_{FB}=1/2\pi f_{FB}$ . La sua funzione di trasferimento è

$$D_{FB}(\omega) = \frac{1}{1 + i\omega\tau_{FB}}$$

Per quanto riguarda la funzione di trasferimento della cavità, consideriamo, nell'espressione del campo elettrico del laser alla sezione A (figura 3.2.1), la generica componente di rumore a frequenza  $\omega=2\pi f$ :

$$E_A(t) = E_0 e^{i(\omega_L t + \xi \sin \omega t)} \quad (3.3.6)$$

La pulsazione istantanea del luce è definita come la derivata della sua fase  $\Omega(t)=\omega_L t + \xi \sin \omega t$

$$\frac{d\Omega}{dt} = \omega_L + \xi \omega \cos \omega t \quad (3.3.7)$$

Supponendo la cavità agganciata, e dunque  $\omega_L=\omega_c$ , l'espressione (3.3.7) rappresenta una perturbazione sinusoidale della frequenza di ampiezza  $\xi\omega/2\pi$ . La risposta in tensione del discriminatore a questa perturbazione è la sua funzione di trasferimento.

Il campo elettrico alla sezione B è dato da

$$E_B(t) = E_0 e^{i(\omega_c t + \xi \sin \omega t + \beta \sin \omega_m t)} \quad (3.3.8)$$

Usando le funzioni di Bessel nell'ipotesi  $\xi \ll 1$  ( $J_0(\xi) \approx 1$  e  $J_1(\xi) \approx \xi/2$ ) si ottiene

$$\begin{aligned} E_B(t) &\approx E_0 e^{i\omega_c t} [J_0(\beta) + 2i J_1(\beta) \sin \omega_m t] \times [1 + i \xi \sin \omega t] \\ &\approx E_0 e^{i\omega_c t} [J_0(\beta) + 2i J_1(\beta) \sin \omega_m t + J_0(\beta) \frac{\xi}{2} (e^{i\omega t} - e^{-i\omega t}) + \\ &\quad - 2 J_1(\beta) \xi \sin \omega_m t \sin \omega t] \end{aligned} \quad (3.3.9)$$

Scriviamo ora il campo elettrico della luce riflessa dal F.P. in corrispondenza alla sezione C:

$$\begin{aligned} E_C(t) &\approx E_0 (1 - \gamma) \sqrt{\gamma} e^{i\omega_c t} \left\{ h_r(0) J_0(\beta) + 2i J_1(\beta) \sin \omega_m t + \right. \\ &\quad \left. J_0(\beta) \frac{\xi}{2} [h_r(\omega) e^{i\omega t} - h_r^*(\omega) e^{-i\omega t}] - 2 J_1(\beta) \xi \sin \omega_m t \sin \omega t \right\} \end{aligned} \quad (3.3.10)$$

Nello scrivere questa equazione si è approssimata a zero la fase delle componenti a  $\omega_m$  e  $\omega_m \pm \omega$ . Si è posto anche  $h_r(\omega_m) = h_r(\omega_m \pm \omega) = 1$ . Ciò è giustificato se  $\omega \ll \omega_m - 2\pi \Delta \nu_p$ . Il segnale in tensione  $V_{FD}$  generato dal fotodiodo è proporzionale a  $|E_C|^2$ . In esso sono presenti termini alle frequenze  $0, 2\nu_m, 2f, 2\nu_m \pm 2f, \nu_m, f, \nu_m \pm f, 2\nu_m \pm f$  e  $\nu_m \pm 2$

f. L'ampiezza del termine a frequenza  $\nu_m \pm 2f$  è nullo. Dei termini rimanenti il circuito di discriminazione seleziona i soli termini alle frequenze  $\nu_m$  e  $\nu_m \pm f$ . All'uscita del filtro passa basso si ha allora il segnale:

$$V_{FB}(t) = -I_0 (1 - \gamma)^2 \gamma \alpha_r \chi \xi J_0(\beta) J_1(\beta) D_{FB}(\omega) \times \left\{ i [h_r(\omega) e^{i\omega t} - h_r^*(\omega) e^{-i\omega t}] + 2 J_0(\beta) J_1(\beta) h_r(0) \sin \omega t \right\} \quad (3.3.11)$$

dove si è assunto  $\alpha(\omega_m \pm \omega) = \alpha(\omega_m) = \alpha_r$ . L'equazione (3.3.11) può essere riscritta nella forma

$$V_{FB}(t) = -I_0 (1 - \gamma)^2 \gamma \chi \alpha_r J_0(\beta) J_1(\beta) \xi D_{FB}(\omega) \times \left\{ i |h_r(\omega)| [e^{i(\omega t + \varphi)} - e^{-i(\omega t + \varphi)}] + 2 J_0(\beta) J_1(\beta) h_r(0) \sin \omega t \right\} \quad (3.3.12)$$

dove  $\varphi$  rappresenta la fase di  $h_r$ . Sviluppando gli esponenziali complessi

$$V_{FB}(t) = 2I_0 (1 - \gamma)^2 \gamma \chi \alpha_r J_0(\beta) J_1(\beta) \xi D_{FB}(\omega) \times \left\{ \left[ |h_r(\omega)| \cos \varphi - h_r(0) \right] \sin \omega t + |h_r(\omega)| \sin \varphi \cos \omega t \right\} \quad (3.3.13)$$

La funzione di trasferimento del discriminatore si ottiene prendendo l'ampiezza della (3.3.13) e dividendola per l'ampiezza  $\xi\omega/2\pi$  della perturbazione:

$$D(\omega) = 4\pi I_0 (1 - \gamma)^2 \gamma \chi \alpha_r J_0(\beta) J_1(\beta) D_{FB}(\omega) \times \sqrt{\frac{\left[ |h_r(\omega)| \cos \varphi - h_r(0) \right]^2 + |h_r(\omega)|^2 \sin^2 \varphi}{\omega^2}} \quad (3.3.14)$$

La fase dell'espressione sotto radice è

$$\Phi_D(\omega) = -\operatorname{arctg} \frac{\operatorname{Re}[h_r(\omega) - h_r(0)]}{\operatorname{Im}[h_r(\omega)]} \quad (3.3.15)$$

Nel limite  $\omega=0$ , il primo termine sotto radice nella (3.3.14) va a zero. Il secondo termine dà invece

$$\lim_{\omega \rightarrow 0} \frac{|h_r(\omega)| \operatorname{sen} \varphi}{\omega} = \frac{h_r(0) k}{2\pi} \quad (3.3.16)$$

Si ritrova così l'espressione statica del segnale d'errore (3.2.13). In figura 3.3.4 è mostrato l'andamento della funzione

$$\frac{D(\omega)}{D_0 \cdot D_{FB}(\omega)} = \frac{2\pi}{k h_r(0)} \sqrt{\frac{[|h_r(\omega)| \cos \varphi - h_r(0)]^2 + |h_r(\omega)|^2 \operatorname{sen}^2 \varphi}{\omega^2}} \quad (3.3.17)$$

La fase (3.3.15) è graficata in figura 3.3.5.

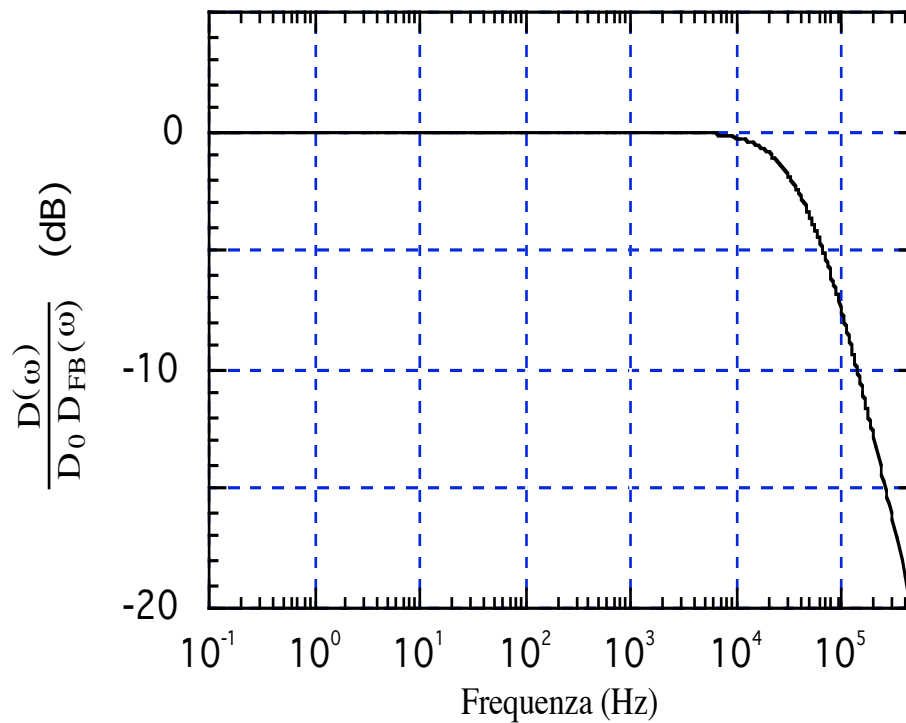


Figura 3.3.4: Risposta in frequenza della cavità.

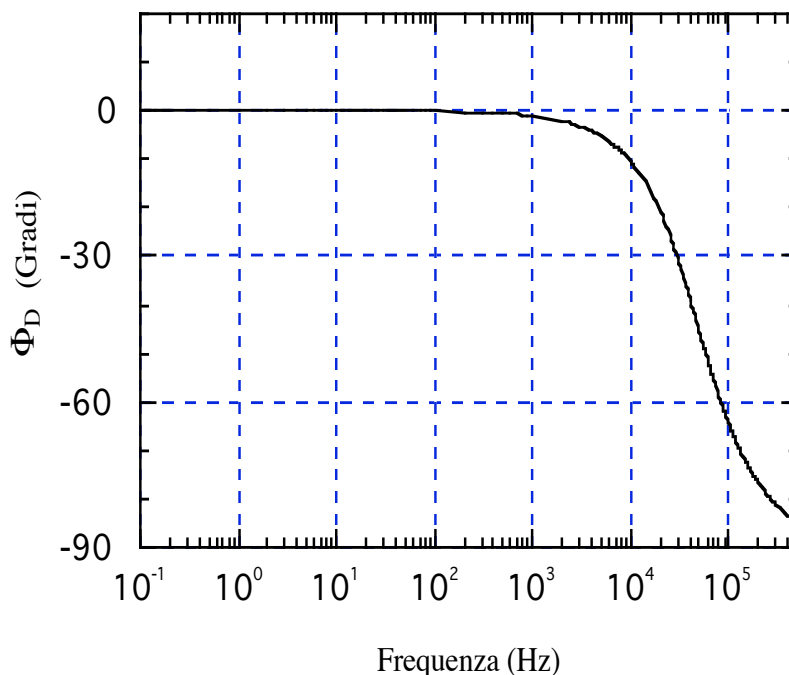


Figura 3.3.5: Fase della funzione di trasferimento della cavità.

### -Servocomando S

Il servo amplifica e integra il segnale d'errore e pilota gli attuatori del laser. Nel disegno di figura 3.3.6 è riportato uno schema a blocchi del circuito realizzato in laboratorio. Il segnale proveniente dal discriminatore viene amplificato e integrato e quindi, attraverso due diversi stadi di integrazione, applicato agli attuatori piezoelettrico e termico del laser. L'uso di entrambi i sistemi di controllo è necessario a causa del limitato *range* dinamico dell'attuatore piezoelettrico. Quello che limita la durata dell'aggancio è, quindi, la saturazione del termistore. Con il circuito realizzato in laboratorio si è ottenuto che laser e cavità rimanessero agganciati per diverse ore. In tutti i casi l'aggancio è stato interrotto volontariamente. D'ora in poi chiameremo FAST il circuito di aggancio che si chiude sul piezoelettrico e SLOW quello che si chiude sul termistore. Essi sono due circuiti che agiscono parallelamente sulla stessa grandezza, quindi il  $G_{100p}$  del circuito di aggancio è dato dalla somma vettoriale delle funzioni di trasferimento a circuito aperto del circuito FAST e del circuito SLOW, che indichiamo con  $G_F$  e  $G_S$ . La figura 3.3.7 è lo schema elettrico del circuito del servo.

Lo stadio di amplificazione  $G_a$  ha come funzione di trasferimento una costante

$$S_a(\omega) = \frac{r_1}{r_0}$$

I tre stadi di integrazione  $I_i$  hanno funzione di trasferimento

$$S_i(\omega) = \frac{r_{i1}}{r_{i0}} + \frac{1}{i\omega c_i r_{i0}}$$

L'ulteriore stadio di integrazione  $I_f$  del circuito FAST ha funzione di trasferimento

$$S_f(\omega) = \frac{r_{f1}}{r_{f0}} + \frac{r_{f2}}{r_{f0}} \frac{1}{(1 + i\omega c_f r_{f2})}$$

La resistenza  $r_{f2}$  ha la funzione di scaricare la tensione integrata all'ingresso dell'attuatore piezoelettrico, in modo da evitarne la saturazione. Ciò viene fatto con una costante di tempo data da  $r_{f2} c_f = 1$  s, corrispondente a una frequenza di taglio di 0.16 Hz. Come si vedrà più avanti a questa frequenza le funzioni di trasferimento dei circuiti FAST e SLOW si incrociano. La variazione della frequenza del laser dovuta alla scarica del segnale del FAST è allora compensata dal circuito SLOW.

Il sommatore serve a dare al piezoelettrico contemporaneamente il segnale di correzione e la modulazione a frequenza  $\nu_m = 717.7$  kHz che crea le bande laterali. Esso ha banda passante di 5 MHz quindi la sua funzione di trasferimento è costante e unitaria.

La funzione di trasferimento dello stadio  $I_s$  è

$$S_s(\omega) = \frac{1}{i\omega c_s r_s}$$

La resistenza  $r_t$  fa da partitore con la resistenza di ingresso del termistore che è 10 k $\Omega$  (vedere tabella 2.1.1 del paragrafo 2.1). La sua funzione di trasferimento è allora

$$S_r(\omega) = \frac{10}{r_t(\text{k}\Omega)}$$

I valori dei componenti utilizzati sono riportati nella tabella 3.3.1. La funzione di trasferimento del circuito FAST del servo è

$$\begin{aligned} S_F(\omega) &= S_a(\omega) \cdot S'_i(\omega) \cdot S''_i(\omega) \cdot S'''_i(\omega) \cdot S_f(\omega) = \\ &= \frac{r_1}{r_0} \left( \frac{r'_{i1}}{r'_{i0}} + \frac{1}{i\omega c'_i r'_{i0}} \right)^2 \left( \frac{r''_{i1}}{r''_{i0}} + \frac{1}{i\omega c''_i r''_{i0}} \right) \left( \frac{r_{f1}}{r_{f0}} + \frac{r_{f2}}{r_{f0}} \frac{1}{(1 + i\omega c_f r_{f2})} \right) \end{aligned} \quad (3.3.18)$$

mentre quella per l'uscita che si collega al termistore

$$S_S(\omega) = S_a(\omega) \cdot S_i'(\omega) \cdot S_i''(\omega) \cdot S_i'''(\omega) \cdot S_s(\omega) \cdot S_r =$$

$$= \frac{r_1}{r_0} \left( \frac{r_{i1}'}{r_{i0}'} + \frac{1}{i\omega c_i' r_{i0}'} \right)^2 \left( \frac{r_{i1}''}{r_{i0}''} + \frac{1}{i\omega c_i'' r_{i0}''} \right) \left( \frac{1}{i\omega c_s r_s} \right) S_r \quad (3.3.19)$$

G <sub>a</sub>	r <sub>0</sub>	333 Ω
	r <sub>1</sub>	6.7 kΩ
I <sub>i</sub> e I <sub>i</sub> <sup>''</sup>	r <sub>0</sub>	4.7 kΩ
	r <sub>1</sub>	4.7 kΩ
	c <sub>i</sub>	5.6 nF
I <sub>i</sub> <sup>'''</sup>	r <sub>0</sub>	22 kΩ
	r <sub>1</sub>	22 kΩ
	c <sub>i</sub>	1.2 nF
I <sub>f</sub>	r <sub>f0</sub>	4.7 kΩ
	r <sub>f1</sub>	5.6 Ω
	r <sub>f2</sub>	1 MΩ
	c <sub>f</sub>	1 μF
I <sub>s</sub>	r <sub>s</sub>	1 MΩ
	c <sub>s</sub>	1 μF
	r <sub>t</sub>	10 kΩ

Tabella 3.3.1: Valori degli elementi circuitali del servo.

### 3.3.3 Funzioni di trasferimento complessive FAST, SLOW e globale (G<sub>loop</sub>)

A questo punto possiamo scrivere la funzione di trasferimento ad anello aperto del circuito FAST, di quello SLOW e quella globale del circuito di aggancio che è la somma vettoriale delle due funzioni precedenti.

La funzione di trasferimento G<sub>F</sub>(ω) del circuito FAST è

$$G_F(\omega) = D(\omega) \cdot A_p(\omega) \cdot S_F(\omega)$$

mentre quella G<sub>S</sub>(ω) del circuito SLOW è

$$G_S(\omega) = D(\omega) \cdot A_t(\omega) \cdot S_S(\omega)$$

Quella globale  $G_{loop}(\omega)$  quindi risulta essere

$$G_{loop}(\omega) = G_F(\omega) + G_S(\omega)$$

Nel grafico di figura 3.3.8. sono riportate le funzioni di trasferimento  $G_F$  e  $G_S$  ad anello aperto dei circuiti FAST e SLOW e quella globale  $G_{loop}$ , calcolate per una pendenza del segnale d'errore  $D_0 = 2.8 \cdot 10^{-5}$  V/Hz. Questo valore corrisponde ad un indice di modulazione  $\beta \approx 0.55$ . Nella figura 3.3.9 sono riportate le fasi di  $G_F$  e  $G_S$ . Per frequenze più alte di  $\approx 1$  Hz la funzione di trasferimento globale coincide con  $G_F$ . Le due funzioni  $G_F$  e  $G_S$  non presentano poli e zeri nel semipiano alla destra dell'asse immaginario.

Per la condizione di stabilità enunciata all'inizio del paragrafo il "loop" del circuito SLOW, preso da solo, non è stabile, mentre quello FAST lo è. In questo caso la stabilità del circuito globale discende dal fatto che la funzione di trasferimento del circuito SLOW, nel punto di guadagno unitario, ha un valore molto più piccolo di quello della funzione di trasferimento globale del sistema  $G_{loop}$  (Bower 1958).

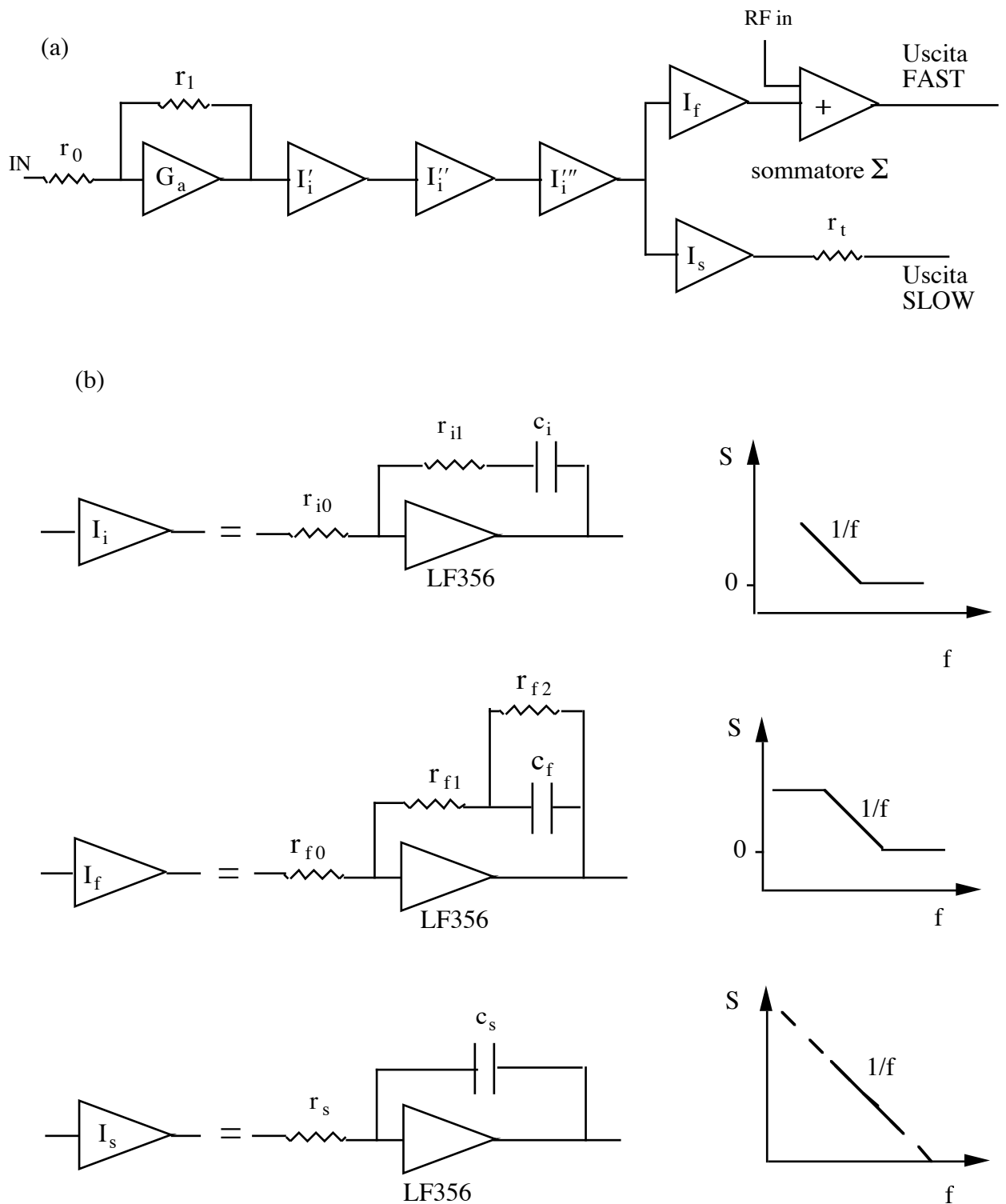


Figura 3.3.6: (a) Schema a blocchi del circuito di amplificazione (servo); (b) i singoli elementi del circuito con l'andamento schematico (in scala log-log) delle funzioni di trasferimento.

Figura 3.3.7: Schema elettrico del circuito servo.

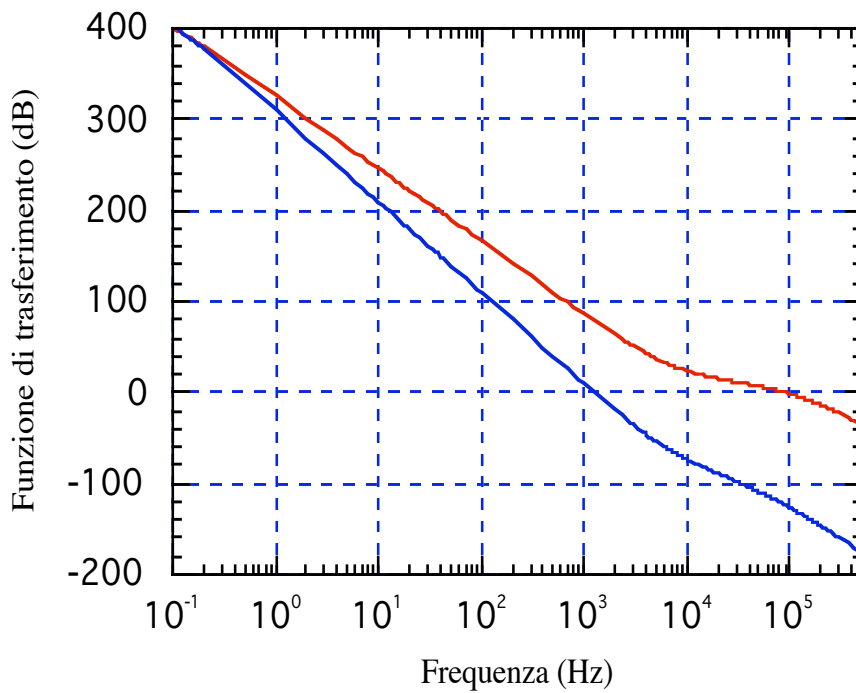


Figura 3.3.8: Funzioni di trasferimento dei circuiti FAST (in alto), SLOW (in basso) e global e per una pendenza del segnale d'errore  $D_0 = 2.8 \cdot 10^{-5}$  V/Hz, corrispondente ad un indice di modulazione  $\beta \approx 0.55$ . Il  $G_{loop}$  del circuito coincide con la curva superiore.

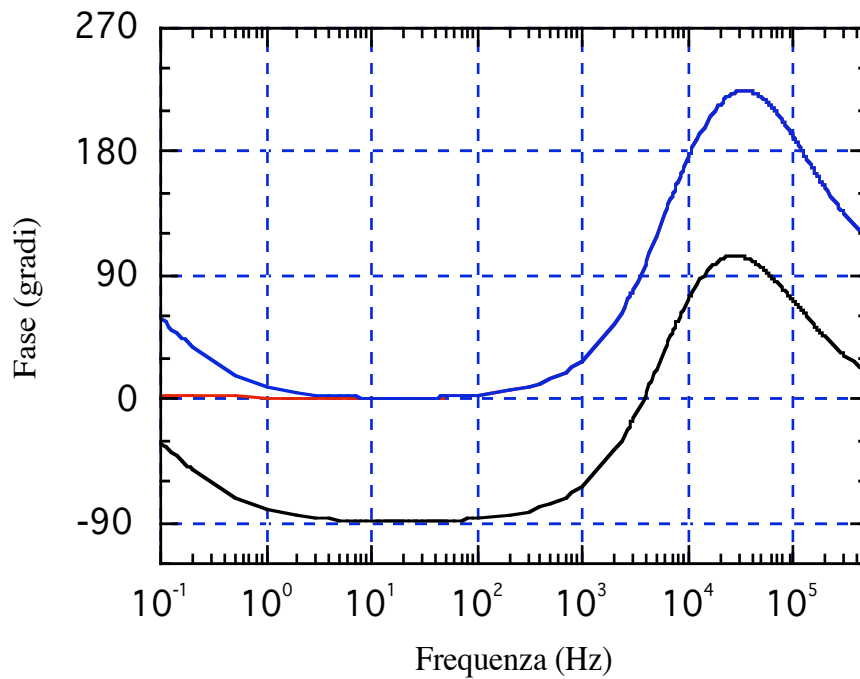


Figura 3.3.9: Fase delle funzioni di trasferimento dei circuiti FAST (in alto), SLOW (in basso) e globale per una pendenza del segnale d'errore  $D_0 = 2.8 \cdot 10^{-5}$  V/Hz, corrispondente ad un indice di modulazione  $\beta \approx 0.55$ . La fase globale è vicina allo zero per frequenze più basse di 100 Hz e coincide poi con la fase del circuito FAST.

### 3.4. DENSITÀ SPETTRALE DEL SEGNALE D'ERRORE

Nel paragrafo 3.2 si è visto che il segnale d'errore, per  $|\nu_L - \nu_c| < \Delta\nu_p/2$ , è direttamente proporzionale alla differenza di frequenza tra laser e cavità (equazione (3.2.13)). La grandezza

$$\frac{V_{FB}}{D_0} = \nu_c - \nu_L \quad (3.4.1)$$

è una differenza di frequenze; facendo riferimento al suo spettro di potenza si usano la misura su una banda di frequenze larga 1 Hz; i suoi valori quindi possono essere espressi in  $\text{Hz}/\sqrt{\text{Hz}}$ . Si può quindi ottenere una misura della densità spettrale della differenza di frequenza tra laser e cavità dalla misura della densità spettrale di  $V_{FB}$ . Nella figura 3.4.1 è riportata la densità spettrale di  $\Delta\nu$ .

Figura 3.4.1: Densità spettrale della differenza di frequenza fra laser e cavità per  $D_0 = 2.8 \text{ V/Hz}$ . I picchi sono dovuti alla alimentazione di rete.

# CAPITOLO 4

## ELLISSOMETRO ED EFFETTO FARADAY

### 4.1 CARATTERIZZAZIONE DEL FASCIO TRASMESSO

#### 4.1.1 Misure di rumore

Nell'esperimento PVLAS il fascio di luce trasmesso dalla cavità F.P. è usato per misurare la birifrangenza magnetica del vuoto mediante la tecnica ellissometrica descritta nel paragrafo 1.2. L'effetto di birifrangenza è modulato ad una frequenza doppia di quella di rotazione del magnete ( $2\nu_M \approx 2$  Hz). È quindi importante studiare il contenuto spettrale a basse frequenze del rumore del fascio trasmesso (si veda equazione (1.2.14)).

Il rumore in ampiezza è espresso dalla grandezza RIN (Relative Intensity Noise):

$$RIN = \frac{V_{\text{noise}}(f)}{V_{\text{dc}}} \quad 4.1.1$$

dove  $V_{\text{noise}}$  è la densità spettrale del rumore alla frequenza  $f$  misurata in  $V / \sqrt{\text{Hz}}$  e  $V_{\text{dc}}$  è il valore della componente continua del segnale del fotodiodo.

In figura 4.1.1 è mostrato il grafico del rumore in ampiezza del laser libero. La curva in basso mostra lo spettro del rumore in ampiezza della luce emessa dal laser raccolta da un fotodiodo posto a distanza di 10 cm dalla sorgente. La curva in alto della stessa figura mostra invece lo spettro della luce raccolta dallo stesso fotodiodo posto a distanza di 3 m dal laser. L'aumento del rumore a basse frequenze è probabilmente legato alla turbolenza dell'aria.

La figura 4.1.2 mostra lo spettro del rumore della luce trasmessa dal F.P. agganciato. Come si vede il rumore in ampiezza risulta notevolmente aumentato. Ciò si può spiegare tenendo conto del fatto che per una cavità di finesse  $F=1800$  il fascio luminoso percorre in aria una distanza di circa 1 km.

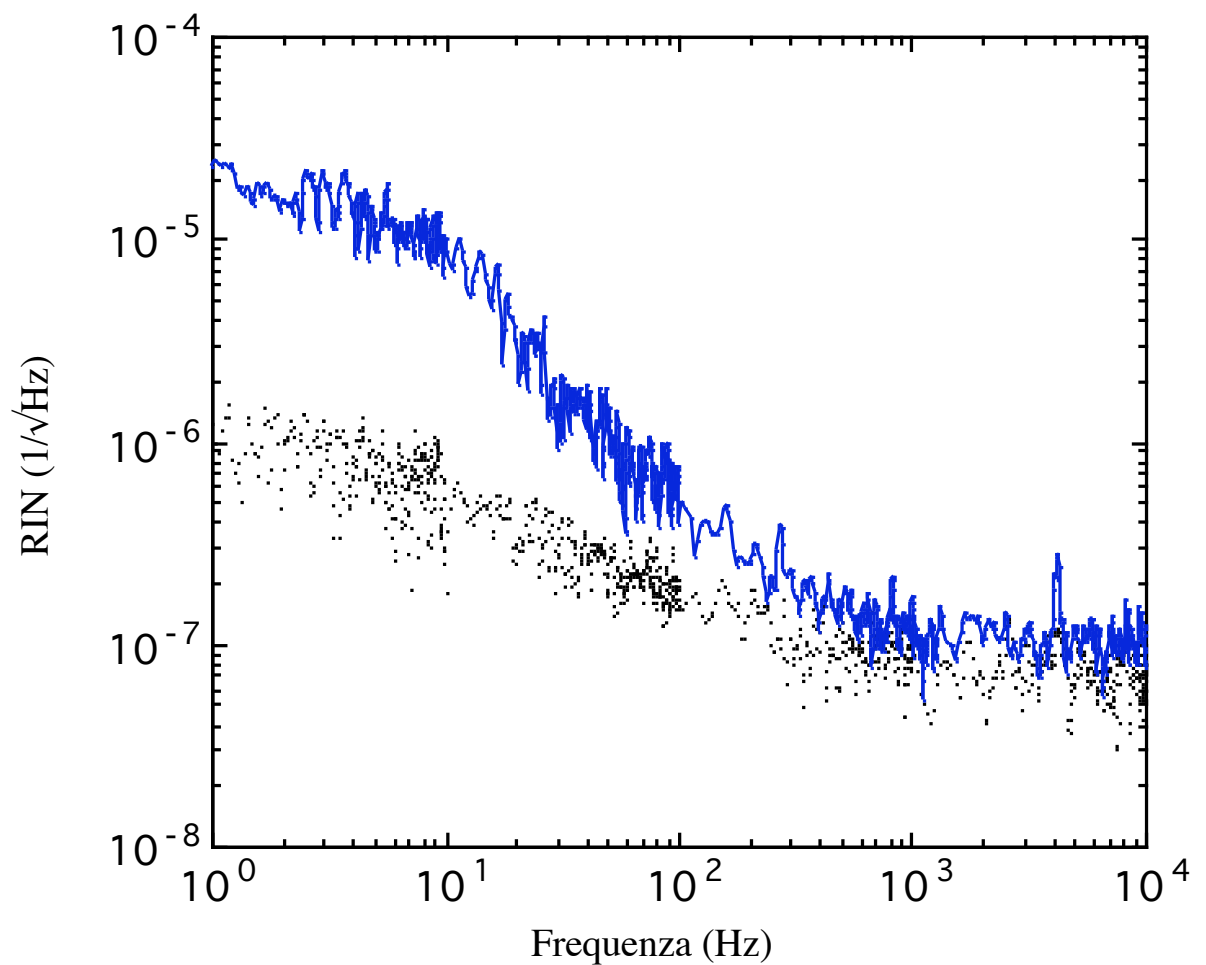


Figura 4.1.1: Rumore in ampiezza del laser libero a distanza 10 cm (in basso) e 3 m (in alto). La curva in alto corrisponde ad un'intensità del fascio luminoso di circa 1 mW, (240 mV), quella in basso ad un'intensità di circa 1.5 mW (350 mV).

Che il rumore sia legato alla turbolenza del mezzo attraversato dalla luce è ulteriormente provato dal fatto che per una cavità di finesse  $F=30000$  montata in vuoto, in cui il fascio percorre una distanza  $\approx 17$  km, il rumore risulta più basso di un'ordine di grandezza rispetto ai dati di figura 4.1.2 (Pino Ruoso 1993).

Figura 4.1.2: Rumore in ampiezza della luce trasmessa dalla cavità. L'intensità del fascio luminoso è circa 2 mW, corrispondente a 450 mV.

#### 4.1.2 Misure di estinzione

Per le misure di estinzione sul fascio trasmesso dalla cavità si è usato l'apparato di figura 4.1.3. Come si è visto nel paragrafo 2.6 gli specchi dielettrici multistrato introducono un'ellitticità nella polarizzazione del fascio di luce che si propaga all'interno della cavità. Ciò può portare, per una data frequenza della luce, ad un doppio picco di trasmissione. Le due componenti corrispondono in questo caso ai due stati di polarizzazione lineare parallelo ed ortogonale agli assi di birifrangenza degli specchi della cavità. Tale fenomeno è stato osservato sperimentalmente per una cavità F.P. di finesse 300. Nella cavità studiata nel corso del presente lavoro di tesi non si è mai osservata una doppia riga in trasmissione e nemmeno l'asimmetria della funzione di Airy che potrebbe derivare dalla sovrapposizione di due picchi non risolti (si veda figura 2.4.7). Si è invece osservata, in certe condizioni, un'estinzione  $\sigma^2 \approx 10^{-3}$ , molto peggiore di quella ottenuta con i soli polarizzatori incrociati in assenza della cavità ( $\sigma^2 \approx 10^{-7}$ ). Questo valore è stato interpretato come un'ellitticità legata alla birifrangenza degli specchi della cavità (strati riflettenti o substrato), giacché ruotando gli specchi si riusciva a riportare l'estinzione ad un valore  $\sigma^2 \approx 2 \cdot 10^{-7}$ . Assumendo che il valore massimo di ellitticità osservato  $\psi^2 \approx 10^{-3}$  sia interamente dovuto alla riflessione multipla sugli strati riflettenti degli specchi, si può stimare, usando la (2.6.2), la differenza di fase  $\Delta\varphi$  tra gli assi veloce e lento della lamina equivalente agli specchi della cavità. Si ottiene  $\Delta\varphi \approx 6 \cdot 10^{-5}$ . Questo valore, come si vede dalla (2.6.3), non è sufficiente a dare un picco di trasmissione diverso per ciascuno degli stati di polarizzazione della luce, in accordo con quanto osservato.

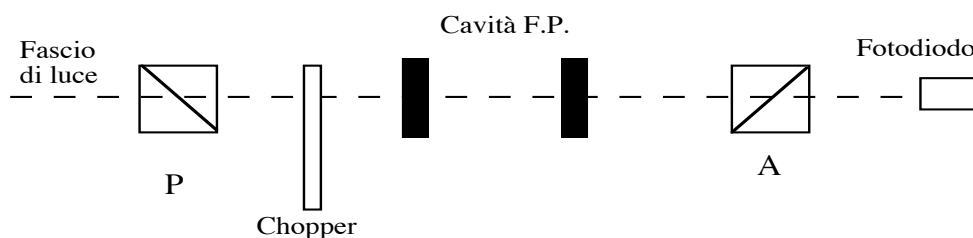


Figura 4.1.3: Schema di principio usato per effettuare le misure di estinzione con la cavità aganciata.

## 4.2 ELLISSOMETRO IN ARIA

In questo paragrafo si presentano i risultati di una misura dell'effetto Faraday in aria ottenuta sfruttando la caratteristica della cavità F.P. di allungare il cammino ottico effettivo del fascio luminoso. Si farà vedere che la riflessione multipla della luce permette di amplificare l'effetto Faraday, rispetto al singolo passaggio, di un fattore

$$N = \frac{1 + R}{1 - R} \cong \frac{2F}{\pi} \quad (4.2.1)$$

dove  $R$  è la riflettività degli specchi e  $F$  la finesse della cavità. Questo stesso coefficiente di amplificazione interviene in PVLAS nella misura della birifrangenza magnetica del vuoto (appendice A). Se ne è ottenuto un valore sperimentale misurando la costante di Verdet dell'aria. Ciò equivale ad effettuare una misura della finesse indipendente da quella descritta nel paragrafo 3.1.

### 4.2.1 Effetto Faraday

Si consideri una sostanza otticamente non attiva immersa in un campo magnetico  $\mathbf{B} = B(z) \cdot \hat{\mathbf{z}}$ . Un fascio di luce monocromatica linearmente polarizzata che si propaga nella sostanza nella direzione  $z$  del campo magnetico è soggetta ad una rotazione del piano di polarizzazione. Tale fenomeno è l'effetto Faraday e l'angolo di rotazione  $\vartheta$  del piano di polarizzazione segue la legge :

$$\vartheta = V(\lambda) \int B(z) \, dz \quad (4.2.2)$$

dove  $V$  è la costante di Verdet del materiale, che dipende dalla lunghezza d'onda della luce e dalla temperatura.

Un'onda piana monocromatica linearmente polarizzata può essere descritta come somma di due onde circolarmente polarizzate controrotanti (destrogira e levogira). In presenza di un campo magnetico le sostanze otticamente non attive diventano birifrangenti per gli stati di polarizzazione circolari della luce. Le due onde si propagano quindi nella sostanza con differenti velocità di fase (Landsberg 1979), cioè con differenti indici di rifrazione. Questo spiega la rotazione del piano di polarizzazione della luce: infatti il versore di polarizzazione  $\hat{\mathbf{e}}$  di un'onda piana linearmente polarizzata può essere rappresentato come combinazione lineare di due versori di polarizzazione lineare mu

tuamente ortogonali  $\hat{\mathbf{e}}_1$  ed  $\hat{\mathbf{e}}_2$ . Questi sono legati ai versori di polarizzazione circolar e  $\hat{\mathbf{e}}_+$  ed  $\hat{\mathbf{e}}_-$  dalle relazioni (Landau 1991)

$$\hat{\mathbf{e}}_1 = \frac{1}{\sqrt{2}}(\hat{\mathbf{e}}_+ + \hat{\mathbf{e}}_-) \quad \hat{\mathbf{e}}_2 = \frac{i}{\sqrt{2}}(\hat{\mathbf{e}}_+ - \hat{\mathbf{e}}_-) \quad (4.2.3)$$

Se  $\hat{\mathbf{e}}_+$  acquista lo sfasamento  $e^{-i\alpha}$  ed  $\hat{\mathbf{e}}_-$  lo sfasamento  $e^{i\alpha}$ , il versore  $\hat{\mathbf{e}}_1$  si trasforma come

$$\hat{\mathbf{e}}'_1 = \frac{1}{\sqrt{2}}(\hat{\mathbf{e}}_+ e^{-i\alpha} + \hat{\mathbf{e}}_- e^{i\alpha}) = -\hat{\mathbf{e}}_1 \sin\alpha + \hat{\mathbf{e}}_2 \cos\alpha \quad (4.2.4)$$

cioè ruota di un angolo  $\alpha$  pari alla metà dello sfasamento relativo subito dalle due onde circolarmente polarizzate. Allo stesso modo si dimostra che  $\hat{\mathbf{e}}_2$ , e quindi anche il versore di polarizzazione  $\hat{\mathbf{e}}$  della luce linearmente polarizzata, risultano ruotati di  $\alpha$ . In altre parole, uno sfasamento delle due onde circolarmente polarizzate è equivalente a una rotazione del piano di polarizzazione della luce linearmente polarizzata.

La birifrangenza magnetica non dipende dal verso di propagazione della luce ma solo dal verso del campo magnetico. Di conseguenza l'effetto Faraday viene amplificato d al F.P..

#### 4.2.2 Amplificazione della rotazione Faraday in un Fabry-Perot

Come si è detto, la luce che entra nella cavità F.P. attraversa molte volte la regione de l campo magnetico per riflessione multipla sugli specchi. Le rotazioni acquistate in ci ascun passaggio si sommano e la luce, quindi, esce dalla cavità ruotata di un angolo c he è  $N$  volte quello  $\vartheta$  acquisito in un unico passaggio.

Usiamo il formalismo delle matrici di Jones (Yariv 1991) per ricavare il campo elettri co trasmesso dalla cavità. L'espressione che esprime tale campo elettrico è:

$$\begin{pmatrix} E_{tx} \\ E_{ty} \end{pmatrix} = \sum_{n=0}^{\infty} \left[ T e^{i\frac{\delta}{2}} \left( R e^{i\delta} \begin{vmatrix} \cos 2\vartheta & -\sin 2\vartheta \\ \sin 2\vartheta & \cos 2\vartheta \end{vmatrix} \right)^n \times \begin{vmatrix} \cos \vartheta & -\sin \vartheta \\ \sin \vartheta & \cos \vartheta \end{vmatrix} \right] \times \begin{pmatrix} E_{0x} \\ E_{0y} \end{pmatrix} \quad (4.2.5)$$

dove  $T$  ed  $R$  sono, rispettivamente, la trasmittività e riflettività degli specchi della cavità,  $\delta/2$  lo sfasamento acquistato dalla luce in un passaggio all'interno del F.P. e  $E_0 = (E_{0x}, E_{0y})$  rappresenta il vettore campo elettrico della luce incidente. Durante le misur

e la frequenza del laser era mantenuta in risonanza con la cavità e quindi  $\delta=2m\pi$ . Essendo  $\vartheta \ll 1$ , si può porre  $\cos\vartheta=1$  e  $\sin\vartheta=\vartheta$ . Si ottiene allora:

$$\sum_{n=0}^{\infty} T e^{i\pi R^n} \begin{vmatrix} 1 & -2\vartheta \\ 2\vartheta & 1 \end{vmatrix}^n \times \begin{vmatrix} 1 & -\vartheta \\ \vartheta & 1 \end{vmatrix} = -T \frac{\begin{vmatrix} 1 & -\vartheta \\ \vartheta & 1 \end{vmatrix}}{\begin{vmatrix} 1 & 0 \\ 0 & 1 \end{vmatrix} - R \begin{vmatrix} 1 & -2\vartheta \\ 2\vartheta & 1 \end{vmatrix}}$$

$$= -\frac{T}{(1-R)^2 + 4R^2\vartheta^2} \begin{vmatrix} 1-R & -2R\vartheta \\ 2R\vartheta & 1-R \end{vmatrix} \times \begin{vmatrix} 1 & -\vartheta \\ \vartheta & 1 \end{vmatrix} \quad (4.2.6)$$

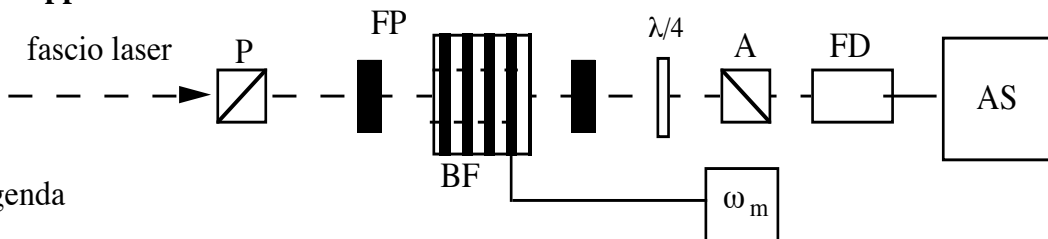
$$= -\frac{T}{(1-R)^2 + 4R^2\vartheta^2} \begin{vmatrix} 1-R-2R\vartheta^2 & -\vartheta(1+R) \\ \vartheta(1+R) & 1-R-2R\vartheta^2 \end{vmatrix}$$

Per  $\vartheta \ll 1/F$  la (4.2.6) diventa

$$\begin{pmatrix} E_{tx} \\ E_{ty} \end{pmatrix} = -\frac{T}{1-R} \begin{vmatrix} 1 & -\vartheta \left( \frac{1+R}{1-R} \right) \\ \vartheta \left( \frac{1+R}{1-R} \right) & 1 \end{vmatrix} \times \begin{pmatrix} E_{0x} \\ E_{0y} \end{pmatrix} \quad (4.2.7)$$

Confrontando questa espressione con l'equazione (2.4.16), si riconosce che la luce trasmessa dal F.P. risulta qui ruotata di un angolo  $N\vartheta$ , con  $N$  dato dall'equazione (4.2.1)

### 4.2.3 Apparato di misura



Legenda

A	Analizzatore	FP	Fabry-Perot
AS	Analizzatore spettro	$\lambda/4$	Lamina $\lambda/4$
BF	Bobina Faraday	P	Polarizzatore
FD	Fotodiodo	$\omega_M$	Oscillatore

Figura 4.2.1: Schema ottico per la misura dell'effetto Faraday in aria. La lamina  $\lambda/4$  è usata per migliorare l'estinzione dell'apparato in alternativa alla rotazione degli specchi della cavità. In questa misura  $\sigma^2=2 \cdot 10^{-5}$ . Durante la misura laser e cavità sono agganciati in frequenza.

La figura 4.2.1 mostra lo schema ottico adottato per effettuare la misura dell'effetto Faraday in aria. Al centro della cavità F.P. il fascio attraversa una regione di campo magnetico generato da una bobina con asse coincidente con la direzione di propagazione della luce.

Il campo elettrico  $E_F$  all'uscita dell'analizzatore è la componente y della seguente espressione

$$\begin{bmatrix} 0 & 0 \\ 0 & 1 \end{bmatrix} \times \begin{bmatrix} -\frac{T}{1-R} \\ 1 \end{bmatrix} \begin{bmatrix} 1 & -N\vartheta \\ N\vartheta & 1 \end{bmatrix} \times \begin{bmatrix} E_{in} \\ 0 \end{bmatrix} \quad (4.2.8)$$

dove la prima matrice a sinistra rappresenta il prisma analizzatore A. Con la bobina s'interpone l'analizzatore è incrociato con il polarizzatore a dare l'estinzione del fascio. Si ha

$$E_F = E_{in} \begin{bmatrix} \frac{T}{1-R} \\ \vartheta \frac{1+R}{1-R} \end{bmatrix} \quad (4.2.9)$$

e per l'intensità

$$I_F = I_t \left( \vartheta \frac{1+R}{1-R} \right)^2 \quad (4.2.10)$$

dove  $I_t$  è l'intensità della luce trasmessa dal Fabry-Perot agganciato, misurata prima dell'analizzatore (equazione 2.4.33). L'intensità totale  $I_F$  che il fotodiode raccoglie è la somma del termine dato dalla (4.2.10) e di quello dovuto all'estinzione  $\sigma^2$

$$I_F = I_t \left[ \sigma^2 + \left( \vartheta \frac{1+R}{1-R} \right)^2 \right] \quad (4.2.11)$$

Per effettuare la misura si è modulata la corrente della bobina con una pulsazione  $\omega_m$ .

In questo modo l'effetto viene misurato come l'ampiezza  $I_{2m}$  di una componente di Fourier del segnale del fotodiode. Ciò permette di separare i due termini di intensità dell'equazione (4.2.11). Infatti, ponendo  $\vartheta = \vartheta_0 \cos \omega_m t$ , si ottiene

$$\begin{aligned}
I_F &= I_t \sigma^2 + I_t \left[ N \vartheta_0 \cos(\omega_m t) \right]^2 = \\
&= I_t \left( \sigma^2 + \frac{1}{2} N^2 \vartheta_0^2 \right) + \underbrace{\frac{1}{2} I_t N^2 \vartheta_0^2}_{I_{2m}} \cos(2\omega_m t)
\end{aligned} \tag{4.2.12}$$

dove si vede che il termine  $I_{2m}$  alla frequenza doppia di quella di modulazione  $\omega_m$  della bobina ha ampiezza proporzionale al quadrato dell'effetto. La rotazione  $\vartheta_0$  acquisita dal piano di polarizzazione della luce in un unico passaggio all'interno del campo magnetico è allora

$$\vartheta_0 = \sqrt{2 \frac{I_{2m}}{I_t} \left( \frac{1-R}{1+R} \right)} \tag{4.2.13}$$

#### 4.2.4 Risultato sperimentale

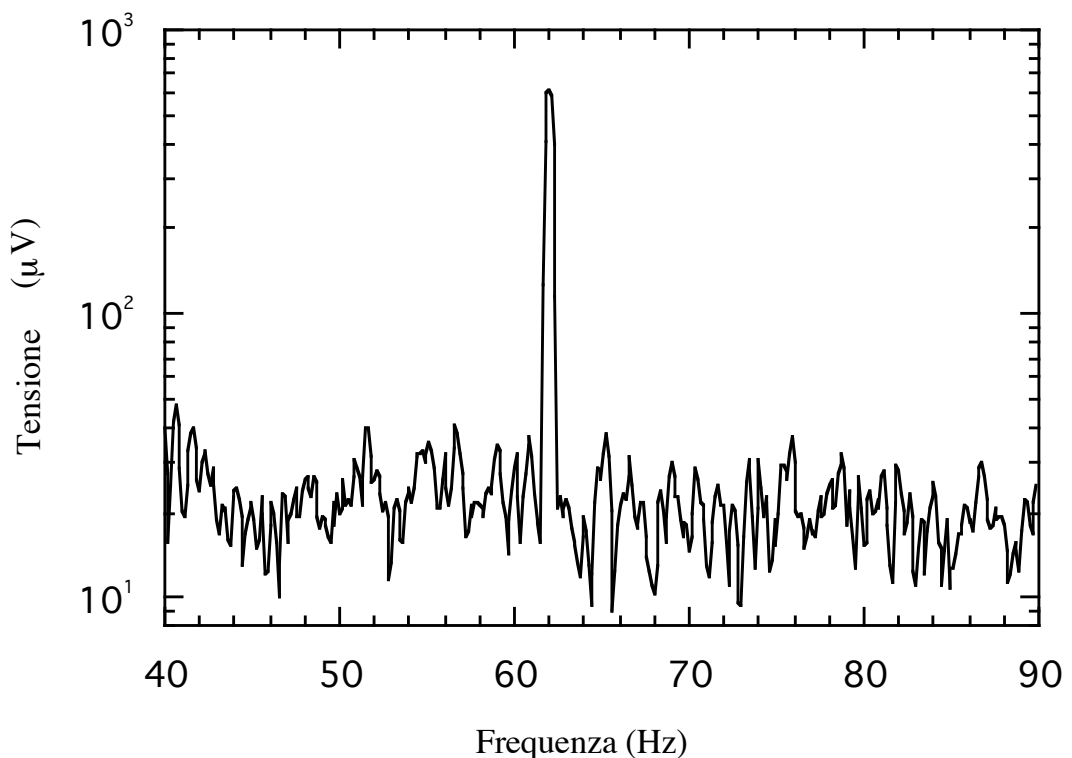


Figura 4.2.2: Misura dell'effetto Faraday in aria: spettro in frequenza del segnale dal fotodiodo in trasmissione; con  $R_c=10 \text{ M}\Omega$  si ha  $I_{2m}=25 \text{ pW}$ ; l'intensità trasmessa misurata prima dell'analizzatore è  $I_t=1.36 \text{ mW}$ .

La bobina usata per effettuare la misura è costituita da un avvolgimento di  $N_S=4074$  spire di filo di rame di diametro 1 mm. Il diametro esterno della bobina è  $2r_1=5.5$  cm, quello interno  $2r_2=1.2$  cm e la lunghezza  $L=20$  cm. La bobina è posizionata al centro del F.P., in asse con il percorso della luce. Essa viene alimentata con una corrente  $I=70$  mA impulsata a una frequenza  $\nu_m=31$  Hz.

Il valore dell'integrale che figura nella (4.2.2) è con ottima approssimazione dato dal valore della circuitazione di B:

$$\int B(z) dz = \mu_0 N_S I = 358 \text{ } \mu\text{T m} = 358 \text{ Gauss cm}$$

Per escludere l'eventualità che due o più spire fossero cortocircuitate, si è calcolato il valore teorico del campo magnetico sull'asse della bobina (vedi Appendice B), e si è confrontato il valore così ottenuto con il risultato di una serie di misure effettuate con un magnetometro. I valori teorici e sperimentali sono risultati uguali entro la precisione del magnetometro.

In figura 4.2.2 è riportato lo spettro in frequenza del segnale dal fotodiodo. Il picco è l'ampiezza  $V_{2m}$  della componente di Fourier del segnale misurato dal fotodiodo alla frequenza  $2\nu_m=62$  Hz. Si ha  $V_{2m}=620$   $\mu$ V. Questo valore di tensione corrisponde a un'intensità della luce  $I_{2m}=25$  pW. L'intensità della luce trasmessa dal F.P. misurata prima dell'analizzatore è  $I_t=1.36$  mW.

Dalla (4.2.13) si ricava il valore dell'angolo  $\vartheta_0$ , la rotazione acquisita dalla luce in un unico passaggio all'interno del campo magnetico:

$$\vartheta_0 = \sqrt{\frac{2I_{2m}}{I_t}} \left( \frac{1-R}{1+R} \right) = 1.67 \cdot 10^{-7} \text{ rad} \quad (4.2.14)$$

Si può ora utilizzare l'equazione (4.2.2) per ricavare il valore della costante di Verdet dell'aria a  $\lambda=1064$  nm:

$$V_{\text{aria}} = \frac{\vartheta_0}{\left( \int B(z) dz \right)} = 4.7 \cdot 10^{-10} \text{ rad/gauss} \cdot \text{cm} \quad (4.2.15)$$

che risulta in ottimo accordo con quello ricavato dalla letteratura (Ingersoll 1956-1958, Tobias 1961).

Alle ascisse  $z_1$  e  $z_2$  degli specchi è presente un campo magnetico oscillante residuo  $B(z_1)=B(z_2)\approx 7$  mG (figura B.3). Questo campo potrebbe, per effetto Farady sugli strati riflettenti degli specchi, dare luogo ad una rotazione spuria  $\vartheta'_0$  del piano di polarizzazione della luce, che costituirebbe un errore sistematico della misura. L'ordine di grandezza di questo effetto può essere stimato supponendo che la costante di Verdet dei materiali di cui sono costituiti gli strati riflettenti sia dell'ordine di grandezza di quella del  $\text{SiO}_2$  ( $V_{\text{SiO}_2}=10^{-6}$  rad/gauss cm) (Ramaseshan 1946) che lo spessore attraversato sia dell'ordine di alcune lunghezze d'onda. Si ottiene

$$\vartheta'_0 = V_{\text{SiO}_2} B(z_1) \lambda \approx 10^{-12} \text{ rad}$$

che risulta diversi ordini di grandezza più piccola del valore dato dalla (4.2.14). Per evidenziare un eventuale effetto dovuto al campo residuo si è poi avvicinata la bobina alla posizione di uno degli specchi, ciò che fa crescere il campo magnetico  $B(z_1)$  di un fattore  $10^3$ . Non si è potuta osservare nessuna variazione dell'intensità del picco  $V_{2m}$ , ciò che esclude definitivamente la presenza di questo effetto spurio nelle misure effettuate.

I risultati della misura descritta in questo capitolo dimostrano la capacità dell'interferometro F.P. di amplificare un effetto fisico sulla luce accumulata in cavità e di migliorare il rapporto segnale-rumore. Consideriamo infatti i grafici del rumore in intensità del laser libero (figura 4.1.1) e del fascio trasmesso dalla cavità (figura 4.1.2). Alla frequenza  $f_{2m}=62$  Hz il rumore nel fascio trasmesso è aumentato, rispetto a quello del laser libero, di un fattore  $\approx 10^2$ . Il segnale invece cresce come il quadrato della finesse della cavità. Considerando il livello di rumore alla base del picco di figura 4.2.2 si vede che il minimo valore dell'angolo  $\vartheta_0$  che l'apparato è in grado di rivelare è  $\approx 3 \cdot 10^{-8}$  rad. Con un solo passaggio, considerando cioè il laser libero, il segnale corrispondente sarebbe rimasto sotto il livello di rumore. Il valore del minimo angolo rivelabile con l'ellissometro è un fattore  $10^3$  più grande dell'ellitticità prevista nell'esperimento PV LAS. In quest'ultimo caso però si punta ad avere una finesse più alta, e dunque un più alto fattore di amplificazione dell'effetto, oltre che ad usare il metodo dell'eterodina descritto nel capitolo 1. Si può stimare la sensibilità dell'ellissometro per misure di rotazione con il metodo dell'eterodina, pensando la rotazione  $\Theta = N\vartheta_0 \cos \omega_m t$  come un segnale di modulazione di ampiezza  $\Theta_0 = N\vartheta_0$ . Dalla (4.2.14)

$$\Theta_0 = \sqrt{\frac{2 V_{2m}}{I_t \alpha_t}} = 1.9 \cdot 10^{-4} \text{ rad}$$

dove  $\alpha_t$  è il fattore di risposta del fotodiode ( $\alpha_t = 2.5 \cdot 10^7$  V/W) (paragrafo 2.3). Riscriviamo l'equazione (1.2.12) come

$$S = \frac{V_{\text{noise}}(f_m \pm f_M)}{I_t \Theta_0 \alpha_t \sqrt{\Delta f}} = \frac{V_{\text{noise}}(f_m \pm f_M)}{\sqrt{2} V_{2m} I_t \alpha_t \Delta f}$$

dove  $V_{\text{noise}}(f_m \pm f_M)/(\Delta f)^{1/2}$  è la densità spettrale del rumore in tensione alle frequenze  $f_m \pm f_M$ . Scegliendo  $f_M = 10$  Hz, si è misurato  $V_{\text{noise}}(f_m \pm f_M)/(\Delta f)^{1/2} \approx 40 \mu\text{V}/(\text{Hz})^{1/2}$ . Si ottiene allora

$$S = 6.1 \cdot 10^{-6} \text{ rad} / \sqrt{\text{Hz}}$$

# CONCLUSIONI

Con il lavoro svolto per questa tesi si è iniziato lo studio per la realizzazione di un ellissometro per effettuare la misura della birifrangenza magnetica del vuoto (esperimento PVLAS). Si sono affrontati il problema della cavità Fabry-Perot e quello dell'aggancio della frequenza del laser a quella di risonanza della cavità. È stata costruita una cavità Fabry-Perot di finesse  $\approx 2000$  lunga un metro, e la si è caratterizzata con misure di intensità e di rumore dei fasci trasmesso e riflesso. Per quanto riguarda il circuito di aggancio si è studiato e realizzato un sistema di retroazione in grado di mantenere il rumore in frequenza del laser al livello di pochi milliHertz/(Hertz)<sup>1/2</sup> a basse frequenze. Risultati originali di questo lavoro sono stati uno schema di modulazione della fase del laser alternativo all'uso delle celle di Pockels, e il calcolo rigoroso della funzione di trasferimento in riflessione della cavità. Due articoli su questi argomenti sono in corso di pubblicazione su due riviste scientifiche internazionali. Usando la cavità Fabry-Perot, si è realizzato un ellissometro con cui si è effettuata una misura dell'effetto Faraday sull'aria. La misura ha evidenziato, come previsto, la capacità della cavità di amplificare il rapporto segnale-rumore. Lo strumento ha raggiunto una sensibilità  $S \approx 6 \cdot 10^{-6} \text{ rad}/(\text{Hertz})^{1/2}$ , ben al di sopra del livello di rumore shot.

La tesi ha soprattutto permesso di mettere a fuoco alcuni problemi cruciali legati al progetto dell'esperimento finale, attualmente in fase di montaggio, e alla sua esecuzione. In questo caso la cavità dovrà avere lunghezza 5 m e finesse  $\approx 50000$ . Essa dovrà inoltre essere realizzata in vuoto. L'alto valore della finesse comporta l'impossibilità di allineare la cavità in aria prima di praticare il vuoto. In questo caso infatti la lunghezza del cammino ottico equivalente rende non trascurabile l'assorbimento dell'aria. Nella cavità realizzata si è osservato che per migliorare l'estinzione del fascio trasmesso occorre ruotare ciascuno specchio attorno al suo asse. Bisognerà dunque prevedere un sistema di allineamento e di rotazione degli specchi comandabile dall'esterno della camera a vuoto. La cavità studiata nel corso del presente lavoro di tesi è stata realizzata con gli specchi sostenuti da due supporti indipendenti. Le prove effettuate hanno dimostrato però che la stabilità meccanica, e dunque il rumore del fascio trasmesso della cavità, migliorano quando gli specchi sono fissati alle due estremità di un cilindro di

supporto. È evidente la difficoltà di realizzazione di uno schema di questo tipo nella disposizione finale dell'esperimento PVLAS. Probabilmente si renderà necessario sviluppare un sistema di stabilizzazione della posizione relativa degli specchi della cavità.

# APPENDICE A

## Amplificazione dell'ellitticità in una cavità Fabry-Perot

Consideriamo una cavità ottica risonante Fabry-Perot costituita da due specchi piani e paralleli posti a una distanza  $d$  e un mezzo birifrangente di lunghezza  $L$  all'interno di essa con asse ottico parallelo alle facce degli specchi. Consideriamo un'onda piana monocromatica linearmente polarizzata di lunghezza d'onda  $\lambda$  che si propaga lungo l'asse della cavità. Quando essa attraversa una volta il mezzo birifrangente le componenti del campo elettrico dell'onda secondo gli assi veloce e lento acquisiscono uno sfasamento relativo

$$\Delta\varphi = 2\pi (n_l - n_v) \frac{L}{\lambda} \quad (\text{A.1})$$

dove  $n_l$  è l'indice di rifrazione della componente lenta e  $n_v$  l'indice di rifrazione di quella veloce. Tale sfasamento introduce una ellitticità nel fascio di luce che per  $\Delta\varphi \ll 1$  è

$$\psi = \frac{\Delta\varphi}{2} \cos 2\theta \quad (\text{A.2})$$

dove  $\theta$  è l'angolo tra la direzione di polarizzazione e l'asse lento. La luce che entra nella cavità F.P. attraversa più volte la regione di birifrangenza per riflessione multipla sugli specchi. Usiamo il formalismo delle matrici di Jones (Yariv 1991) per calcolare il campo elettrico della luce trasmessa dalla cavità:

$$\begin{pmatrix} E_{tx} \\ E_{ty} \end{pmatrix} = \sum_{n=0}^{\infty} \left[ T e^{i\frac{\delta}{2}} \begin{pmatrix} R e^{i\delta} & 0 \\ 0 & e^{-i2\Delta\varphi} \end{pmatrix} \right]^n \times \begin{pmatrix} e^{i\Delta\varphi} & 0 \\ 0 & e^{-i\Delta\varphi} \end{pmatrix} \times \begin{pmatrix} E_{0x} \\ E_{0y} \end{pmatrix} \quad (\text{A.3})$$

dove  $T$  ed  $R$  sono, rispettivamente, la trasmissività e riflettività degli specchi della cavità,  $E_0 = (E_{0x}, E_{0y})$  rappresenta il vettore campo elettrico della luce incidente nel sistema di riferimento degli assi lento e veloce del mezzo birifrangente e

$$\frac{\delta}{2} = 2\pi n \frac{d-L}{\lambda} + 2\pi \frac{n_1 + n_v}{\lambda} \frac{L}{\lambda}$$

lo sfasamento medio acquisito dalla luce in un passaggio all'interno del F.P. dove  $n$  è l'indice di rifrazione del mezzo non birifrangente. Nelle condizioni di massima risonanza, cioè  $\delta=2m\pi$  (paragrafo 2.4), sviluppando la (A.3) si ottiene:

$$\begin{aligned} & \sum_{n=0}^{\infty} T e^{i\pi n} R^n \begin{vmatrix} e^{i2\Delta\varphi} & 0 \\ 0 & e^{-i2\Delta\varphi} \end{vmatrix}^n \times \begin{vmatrix} e^{i\Delta\varphi} & 0 \\ 0 & e^{-i\Delta\varphi} \end{vmatrix} \\ &= -T \frac{\begin{vmatrix} e^{i\Delta\varphi} & 0 \\ 0 & e^{-i\Delta\varphi} \end{vmatrix}}{\begin{vmatrix} 1 & 0 \\ 0 & 1 \end{vmatrix} - R \begin{vmatrix} e^{i2\Delta\varphi} & 0 \\ 0 & e^{-i2\Delta\varphi} \end{vmatrix}} \\ &= -\frac{T}{1 - 2R \cos 2\Delta\varphi + R^2} \begin{vmatrix} 1 - R e^{-i2\Delta\varphi} & 0 \\ 0 & 1 - R e^{i2\Delta\varphi} \end{vmatrix} \times \begin{vmatrix} e^{i\Delta\varphi} & 0 \\ 0 & e^{-i\Delta\varphi} \end{vmatrix} \\ &= -\frac{T}{1 - 2R \cos 2\Delta\varphi + R^2} \begin{vmatrix} e^{i\Delta\varphi} - R e^{-i\Delta\varphi} & 0 \\ 0 & e^{-i\Delta\varphi} - R e^{i\Delta\varphi} \end{vmatrix} \end{aligned} \quad (A.4)$$

Per  $\Delta\varphi \ll 1$  la (A.4) diventa

$$-\frac{T}{(1-R)^2} \begin{vmatrix} 1 + i\Delta\varphi - R + iR\Delta\varphi & 0 \\ 0 & 1 - i\Delta\varphi - R - iR\Delta\varphi \end{vmatrix} \quad (A.5)$$

e quindi:

$$\begin{pmatrix} E_{tx} \\ E_{ty} \end{pmatrix} = -\frac{T}{1-R} \begin{vmatrix} 1 + i\Delta\varphi \frac{1+R}{1-R} & 0 \\ 0 & 1 - i\Delta\varphi \frac{1+R}{1-R} \end{vmatrix} \times \begin{pmatrix} E_{0x} \\ E_{0y} \end{pmatrix}$$

Per  $\Delta\varphi \ll 1/F$  si può riscrivere la (A.5) come:

$$\begin{pmatrix} E_{tx} \\ E_{ty} \end{pmatrix} = -\frac{T}{1-R} \begin{vmatrix} e^{i\Delta\varphi \frac{1+R}{1-R}} & 0 \\ 0 & e^{-i\Delta\varphi \frac{1+R}{1-R}} \end{vmatrix} \times \begin{pmatrix} E_{0x} \\ E_{0y} \end{pmatrix} \quad (\text{A.6})$$

Confrontando questa espressione con l'equazione (2.4.16) e considerando la (A.2) si riconosce che la luce trasmessa dal Fabry-Perot acquisisce un'ellitticità  $\Psi$  che per  $\Delta\varphi \ll 1/F$  è

$$\Psi = \psi \frac{1+R}{1-R} \equiv N \psi \quad (\text{A.7})$$

# APPENDICE B

## campo magnetico di una bobina spessa

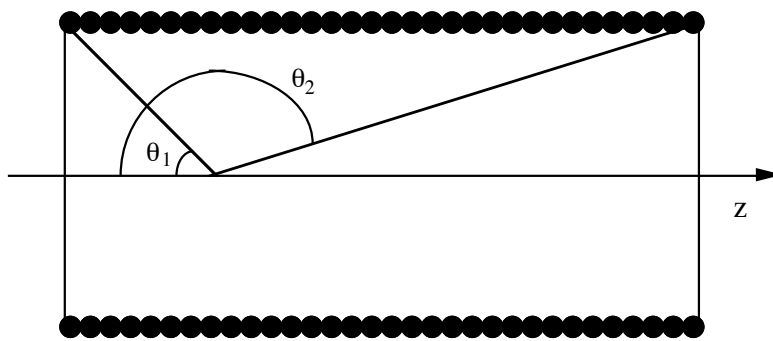


Figura B.1: Solenoide di lunghezza finita.

Si consideri un solenoide di lunghezza  $L$ , costituito da  $N_S$  spire che non si sovrappongono percorse da un corrente  $I$ . Il campo magnetico  $B$  sull'asse del solenoide (figura B.1) è dato da (Amaldi 1986):

$$B(z) = \frac{\mu_0}{2} I \frac{N_S}{L} (\cos \theta_1 - \cos \theta_2) \quad (\text{B.1})$$

Nel caso in cui si abbia una bobina in cui le spire si sovrappongono (figura B.2), il contributo  $dB(z)$  dato al campo magnetico totale  $B(z)$  dalle spire comprese tra  $r$  e  $r+dr$  è

$$dB(z) = \frac{\mu_0}{2} I (\cos \theta_1 - \cos \theta_2) \frac{dN_S}{L} \quad (\text{B.2})$$

dove  $dN_S$  vale

$$dN_S = f \frac{L dr}{\sigma} \quad (\text{B.3})$$

dove  $\sigma$  rappresenta la sezione del filo di rame e il coefficiente adimensionale  $f$ , "fatto re di impacchettamento", rappresenta il numero di sezioni di filo contenute nell'unità di superficie di una sezione meridiana della bobina. Il valore di tale coefficiente è dato da

$$f = \frac{N_S \sigma}{L(r_2 - r_1)} \quad (B.4)$$

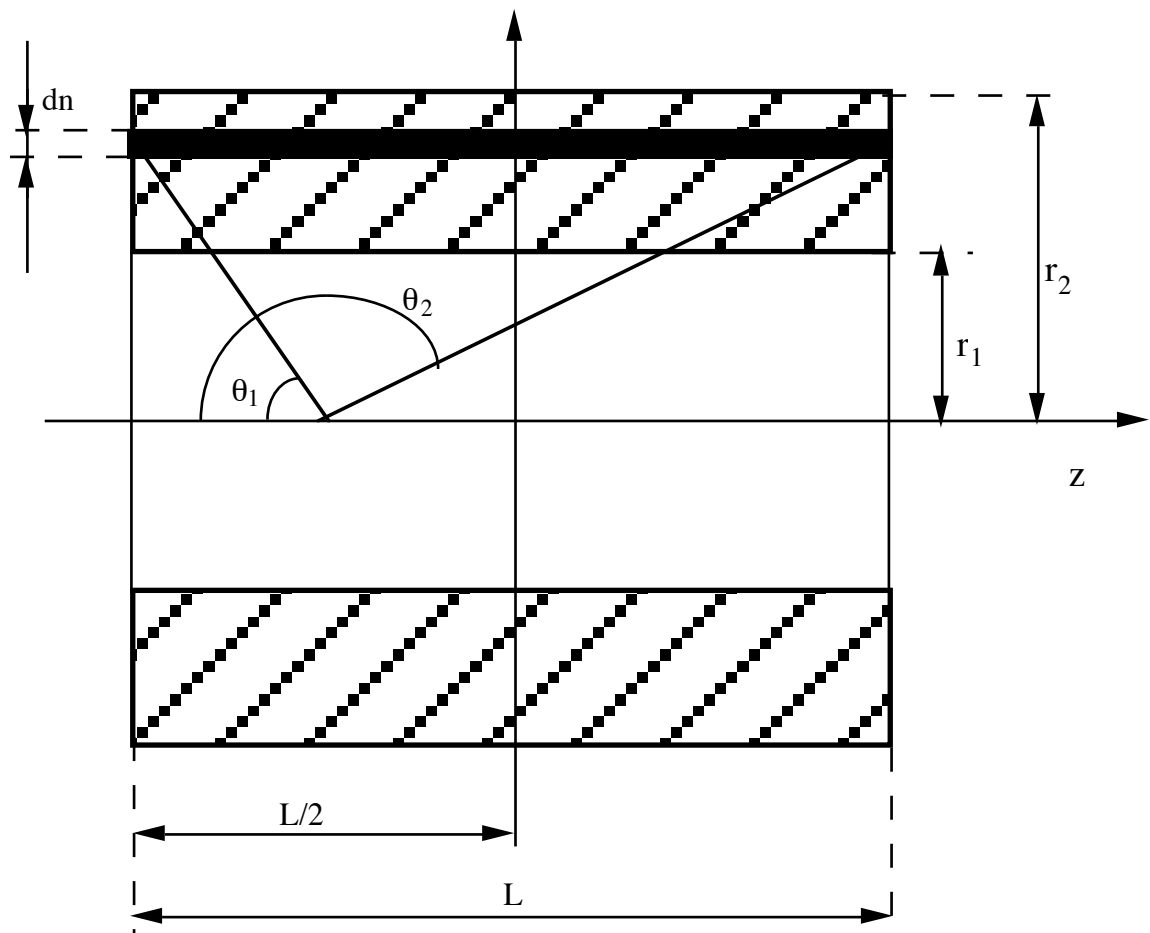


Figura B.2: Bobina spessa.

Inserendo la (B.3) nella (B.2) si ottiene

$$dB(z) = \frac{\mu_0}{2} \frac{f}{\sigma} I (\cos \theta_1 - \cos \theta_2) dr =$$

$$= \frac{\mu_0}{2} \frac{f}{\sigma} I \left( \frac{\left(\frac{L}{2} + z\right)}{\left|\frac{L}{2} + z\right|} \sqrt{\frac{1}{1 + \operatorname{tg}^2 \theta_1}} - \frac{\left(z - \frac{L}{2}\right)}{\left|\frac{L}{2} - z\right|} \sqrt{\frac{1}{1 + \operatorname{tg}^2 \theta_2}} \right) dr \quad (\text{B.5})$$

dove i termini  $(L/2+z)/|L/2+z|$ ,  $(z-L/2)/|L/2-z|$  sono stati introdotti per mantenere il segno di  $\cos \theta_1$  e  $\cos \theta_2$ . Operando nella (B.5) la sostituzione

$$\operatorname{tg} \theta_1 = \frac{r}{\left(\frac{L}{2} + z\right)} = x \quad , \quad \operatorname{tg} \theta_2 = \frac{r}{\left(\frac{L}{2} - z\right)} = y \quad (\text{B.6})$$

la si può riscrivere nella forma

$$dB(z) = \frac{\mu_0}{2} \frac{f}{\sigma} I \left( \frac{\left(\frac{L}{2} + z\right)^2}{\left|\frac{L}{2} + z\right|} \sqrt{\frac{1}{1 + x^2}} dx + \frac{\left(\frac{L}{2} - z\right)^2}{\left|\frac{L}{2} - z\right|} \sqrt{\frac{1}{1 + y^2}} dy \right) \quad (\text{B.7})$$

Poniamo ora:

$$\sqrt{1 + x^2} = t_x + x \quad , \quad \sqrt{1 + y^2} = t_y + y \quad (\text{B.8})$$

La (B.7) diventa

$$dB(z) = -\frac{\mu_0}{2} \frac{f}{\sigma} I \left( \left| \frac{L}{2} + z \right| \frac{dt_x}{t_x} + \left| \frac{L}{2} - z \right| \frac{dt_y}{t_y} \right) \quad (\text{B.9})$$

che integrata porta alla:

$$B(z) = \frac{\mu_0}{2} \frac{f}{\sigma} I \left[ \left| \frac{L}{2} + z \right| \ln \left( \frac{\sqrt{1+x_1^2} - x_1}{\sqrt{1+x_2^2} - x_2} \right) + \left| \frac{L}{2} - z \right| \ln \left( \frac{\sqrt{1+y_1^2} - y_1}{\sqrt{1+y_2^2} - y_2} \right) \right] \quad (\text{B.10})$$

dove

$$x_{1,2} = \frac{r_{1,2}}{\left(\frac{L}{2} + z\right)}, \quad y_{1,2} = \frac{r_{1,2}}{\left(\frac{L}{2} - z\right)} \quad (\text{B.11})$$

sono gli estremi su cui viene calcolato l'integrale. La figura B.3 mostra l'andamento della (B.10) per la bobina usata per la misura dell'effetto Faraday sull'aria.

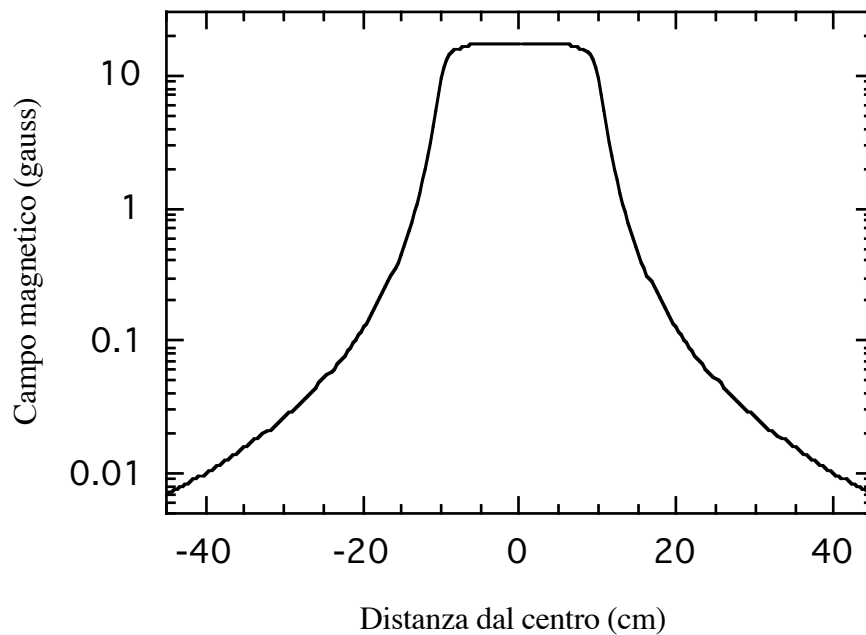


Figura B.3: Campo magnetico sull'asse di una bobina spessa lunga 20 cm, con diametro interno di 1.2 cm e diametro esterno di 5.5 cm, percorsa da una corrente  $I=70$  mA.

## Bibliografia

- Adler S.L.,  
*Photon splitting and photon dispersion in a strong magnetic field*, Ann. Phys. **67**, 599 (1971)
- Amaldi E., Bizzarri R. e Pizzella G.,  
*Fisica Generale*, (Zanichelli, Bologna, 1986)
- Born M. e E. Wolf,  
*Principles of Optics*, 3<sup>a</sup> ed. (Pergamon, New York, 1965)
- Bower J.L. e Schultheiss P.M.  
*Introduction to the design of servomechanisms*, (Wiley, New York, 1958)
- Cameron R., Cantatore G., Melissinos A.C., Semertzidis Y., Halama H.J., Lazarus D. M., Prodel A.G., Nezirick F., Rizzo C. e Zavattini E.,  
*Search for nearly massless, weakly coupled particles by optical techniques*, Phys. Rev. **D47**, 3707 (1993)
- Cantatore G.,  
*Apparato per la rivelazione della birifrangenza magnetica del vuoto. Cavità multipass*. Tesi di Laurea in Fisica, Università di Pisa (Anno accademico 1985-86)
- Carusotto S., Polacco E., Iacopini E., Stefanini G., Zavattini E. e Scuri F.,  
*The ellipticity introduced by interferential mirrors on a linearly polarized beam orthogonally reflected*, Appl. Phys. **B48**, 231 (1989)
- Euler H. e Heisenberg W.,  
Z. Phys. **98**, 718 (1938)
- Furry W.H.,  
Phys. Rev. **51**, 125 (1937)
- Iacopini E., Smith B., Stefanini G. e Zavattini E.,  
*On a sensitive ellipsometer to detect the vacuum polarization induced by a magnetic field*, Nuovo Cimento **61 B**, 21 (1981)

- Ingersoll L.R. e Liebenberg D.H.,  
*Faraday effect in gases and vapors.II*, J. Opt Soc. Am. **46**, 538 (1956)
- Ingersoll L.R. e Liebenberg D.H.,  
*Faraday effect in gases and vapors.III*, J. Opt Soc. Am. **48**, 339 (1958)
- Jackson J.D.,  
*Classical Elettrodinamics* , 2<sup>a</sup> ed. (Wiley, New York, 1975)
- Landsberg G.S.,  
*Ottica*, (Edizioni Mir, Mosca, 1979)
- Landau L.D. e Lifshits E.M.,  
*Fisica teorica vol 4: Teoria quantistica relativistica*, 2<sup>a</sup> ed. (Mir, Roma, 1991)
- Micossi P.,  
*Misura della birifrangenza introdotta nella riflessione di luce linearment e polarizzata da uno specchio interferenziale*, Tesi di Laurea in Fisica, Università di Trieste (Anno accademico 1991-92)
- Nilsson A.C., Gustafson E.K. e Byer R.L.,  
*Eigenpolarization theory of monolithic non-planar ring oscillators*, IEEE J. Quantum Elec. **25**, 767 (1989)
- Pound R.W., Hall J.L., Kowalski F.V., Hough J., Ford G.M., Munley A.J. e Ward H.,  
*Laser phase and frequency stabilization using an optical resonator*, Appl. Phys. **B 31**, 97 (1983)
- Ramaseshan S.,  
Proc. Indian. Acad. Sci. **24**, 426 (1946)
- Ruoso G.,  
*Realizzazione di una cavità risonante ottica ad alta finezza per la misura della birifrangenza magnetica del vuoto co tecniche ellissometriche*, Tesi di Dottorato in Fisica, Università di Padova (Anno accademico 1993-94)
- Schwinger J.,  
*On gauge invariance and vacuum polarization*, Phys. Rev. **82**, 664 (1951)
- Shoemaker D., Brilliet A., Nary Man C., Crègut O. e Kerr G.,  
*Frequency-stabilized laser-diode-pumped Nd:YAG laser*, Opt. Lett. **14**, 609 (1989)
- Svelto O.,  
*Principles of lasers*, 2<sup>a</sup> ed. (Plenum, New York, 1989)

Tobias I. e Kauzmann W.,

*Faraday effect in molecules*, J. Chem. Phys. **35**, 538 (1961)

Yariv A.,

*Optical electronics* 4<sup>a</sup> e. (Saunders, New York, 1991)